

Biomas e Sistema Costeiro-Marinho do Brasil compatível com a escala 1:250 000

Notas metodológicas n. 01/2025

Alterações nos limites dos Biomas

Primeira revisão

Presidente da República

Luiz Inácio Lula da Silva

Ministra do Planejamento e Orçamento

Simone Nassar Tebet

INSTITUTO BRASILEIRO DE GEOGRAFIA E ESTATÍSTICA - IBGE

Presidente

Marcio Pochmann

Diretor-Executivo

Flávia Vinhaes Santos

ÓRGÃOS ESPECÍFICOS SINGULARES

Diretoria de Pesquisas

Gustavo Junger da Silva

Diretoria de Geociências

Maria do Carmo Dias Bueno

Diretoria de Tecnologia da Informação

Marcos Vinícius Ferreira Mazoni

Centro de Documentação e Disseminação de Informações

José Daniel Castro da Silva

Escola Nacional de Ciências Estatísticas

Jorge Abrahão de Castro

UNIDADE RESPONSÁVEL

Diretoria de Geociências

Coordenação de Meio Ambiente

Maria Luisa da Fonseca Pimenta

Ministério do Planejamento e Orçamento Instituto Brasileiro de Geografia e Estatística - IBGE Diretoria de Geociências Coordenação de Meio Ambiente

Biomas e Sistema Costeiro-Marinho do Brasil compatível com a escala 1:250 000

Notas metodológicas n. 01/2025

Alterações nos limites dos Biomas

Primeira revisão

IBGERio de Janeiro
2025

Instituto Brasileiro de Geografia e Estatística - IBGE

Av. Franklin Roosevelt, 166 - Centro - 20021-120 - Rio de Janeiro, RJ - Brasil

ISBN: 978-85-240-4688-9

© IBGE. 2025

Sumário

Apresentação	4
Introdução	5
Base conceitual e referencial metodológico	7
Materiais e métodos	16
Localização e caracterização das áreas verificadas	19
Expedições de campo	20
Expedição 1	20
Expedição 2	27
Expedição 3	38
Expedição 4	43
Expedição 5	50
Relação entre florística e ambiente vegetacional	59
Resultados	61
Alterações nos limites	61
Mapa dos Biomas e Sistema Costeiro-Marinho do Brasil, compatível o	
Considerações	64
Referências	65
Apêndice	68
Anexo	88
Glossário	90

Apresentação

A delimitação e o conhecimento detalhado do Território Nacional constituem missão fundamental do Instituto Brasileiro de Geografia e Estatística (IBGE), alicerçada em excelência técnica e compromisso com a qualidade da informação geocientífica.

É no cumprimento dessa missão que temos a satisfação de apresentar esta publicação, que consolida os procedimentos, critérios e fundamentos técnicos que nortearam a revisão do limite entre os Biomas Mata Atlântica e Cerrado, em escala 1:250 000. Este trabalho é resultado de um esforço contínuo de pesquisa, análise e integração de informações geoespaciais, refletindo os avanços conceituais, metodológicos e tecnológicos que buscam oferecer à sociedade dados de referência atualizados e consistentes.

Aqui, são apresentadas as bases que guiaram este mapeamento, desde as expedições de campo em áreas específicas e limítrofes – ricamente documentadas com dados e imagens – até a discussão integrada de critérios com especialistas e instituições parceiras. O objetivo é tornar transparente e acessível a metodologia que fundamenta a representação cartográfica destes importantes domínios naturais.

Ao detalhar este processo, o IBGE reafirma seu compromisso com a transparência e com a oferta de insumos robustos para o planejamento territorial, a gestão ambiental e para o amplo debate sobre a conservação e o uso sustentável dos biomas brasileiros. Convidamos todos(as) – gestores(as), pesquisadores(as) e cidadãos(ãs) – a conhecerem e utilizarem estas informações, que representam um passo significativo no contínuo aprimoramento do conhecimento sobre a diversidade e a riqueza do nosso território.

Maria do Carmo Dias Bueno Diretora de Geociências

Introdução

Em outubro de 2019 foi publicado pelo Instituto Brasileiro de Geografia e Estatística - IBGE o produto Biomas e Sistema Costeiro-Marinho do Brasil: compatível com a escala 1:250 000 (IBGE, 2019). A publicação é composta por mapa, respectivo relatório metodológico e arquivos vetoriais. O relatório apresenta as bases teórico-conceituais, os referenciais metodológicos e os procedimentos específicos, para a definição do traçado de cada um dos limites entres os seis biomas existentes — Amazônia, Mata Atlântica, Cerrado, Caatinga, Pampa, Pantanal — e o Sistema Costeiro-Marinho.

Após esse lançamento, 20 vezes mais detalhado que a publicação de 2004 (Biomas do Brasil, primeira aproximação, escala 1:5 000 000), iniciou-se o processo de aperfeiçoamento do Mapa de Biomas e Sistema Costeiro-Marinho do Brasil, buscando atender sugestões, contribuições e demais manifestações, por parte de usuários, devido a levantamentos em maiores escalas cartográficas realizados por órgãos de governo, instituições de ensino e pesquisa, bem como pelo setor privado.

Assim, em 2025, o IBGE, assumindo o compromisso de atualização sistemática de seus produtos cartográficos, tendo em vista a incorporação de novos conhecimentos, dá continuidade ao aperfeiçoamento do produto com a primeira revisão, sendo essa direcionada a trechos do limite entre o Bioma Mata Atlântica e o Bioma Cerrado. Considerando tudo isso, apresentam-se na presente publicação alterações em locais específicos.

Para essa revisão foram realizadas cinco expedições de campo e, ao longo do processo de verificação, técnicos especializados em temas ambientais ativeram-se, em gabinete, à revisão bibliográfica e às discussões necessárias à elucidação de dúvidas remanescentes. Relatórios das alterações foram elaborados pela equipe multidisciplinar interna da Gerência de Mapeamento de Recursos Naturais da Coordenação de Meio Ambiente da Diretoria de Geociências do IBGE. Obteve-se, então, a atualização do limite dos Biomas: compatível com a escala 1:250 000, fruto de processos de investigação, revisão bibliográfica, contribuições a partir de contatos interinstitucionais, e verificação e consolidação por meio de expedições de campo, apresentados nesta publicação.

A presente publicação traz, então, as justificativas e considerações das alterações no limite entre aqueles Biomas, as observações e informações das expedições de campo e ilustrações relevantes. As áreas foco desta revisão abrangem parte dos Estados de São Paulo e de Minas Gerais, nas regiões conhecidas como: Nordeste Paulista, Triângulo Mineiro e a região da Serra do Espinhaço; os trechos percorreram municípios como: Sacramento (MG), Uberaba (MG), Fronteira (MG), Planura (MG), São Sebastião do Paraíso (MG), Franca (SP), Barretos (SP), São José do Rio Preto (SP), Ribeirão Preto (SP), Piracicaba (SP), Mococa (SP), Votuporanga (SP), Diamantina (MG), Conceição do Mato Dentro (MG), Belo Horizonte (MG), Florestal (MG), Juatuba (MG), entre outras.

Agradecimentos especiais

O IBGE agradece a todos e todas que participaram direta ou indiretamente das alterações nos limites dos Biomas, primeira revisão, em especial a:



Evandro Machado, Fabiane Costa e Anne Gonzaga (Universidade Federal dos Vales do Jequitinhonha e Mucuri - UFVJM); Gustavo Bediaga De Oliveira, Junio Augusto Dos Santos Silva, Nino Antonio Camini e Rafael Macedo Chaves (IBAMA, MMA); Henri Dubois Collet (Parque Estadual da Serra do Rola-Moça/MG); Henrique Sant'Ana Pereira (Parque Estadual de Vassununga/SP); Lilian Aline Machado e Ana Caroline Damasceno Souza de Sá (consultoras UNFPA, 2024/2025); Lucas Aguiar Carrara de Melo e Luciene Carrara Paula Faria (Reserva Particular do Patrimônio Natural Aves Gerais, MG); Luiz Fernando Guedes Pinto (SOS Mata Atlântica); Marcelo Freire Moro (Universidade Federal do Ceará - UFC); Marcos César Estretoza (Estação Experimental de Mogi-Guaçu/SP); Marcos Reis Rosa (Coordenador Técnico-MapBiomas / Diretor da ArcPlan); Natalia Ivanauskas, Ciro Koiti Matsukuma e Mônica Pavão (Instituto de Pesquisas Ambientais -IPA-SP); Renato Ramos da Silva (Instituto Tecnológico Vale - ITV); Romina Belloni da Silva e Edward Elias Junior do ICMBio - MMA (Parque Nacional da Serra do Cipó e APA Morro da Pedreira); Silvana Kampel (Instituto Nacional de Pesquisas Espaciais – INPE); Simone Nunes Fonseca, Tathiana Chaves de Souza, Jaqueline Sayonara Vieira, Marcio Lucca e Daniel Rios De Magalhaes Borges (ICMBio - MMA, Parna Sempre-Vivas) e Thomaz Corrêa e Castro da Costa (EMBRAPA, Sete Lagoas-MG).

Base conceitual e referencial metodológico

Segundo o IBGE, até 2019, os biomas eram majoritariamente delimitados em função dos traçados das feições do mapeamento oficial de Vegetação do País (IBGE, 2023). A distinção entre os biomas Mata Atlântica e Cerrado seguia, de maneira geral, os seguintes critérios: a) feições cartográficas de vegetação savânica, delimitavam o Cerrado; e b) vegetação florestal definia o Bioma Mata Atlântica. No caso dos Contatos (feições contendo os dois tipos de vegetação), a atribuição ao Cerrado ou à Mata Atlântica ocorria de acordo com a dominância fitofisionômica contida no mapeamento da vegetação brasileira. Quando o Contato ocorria em áreas alteradas antropicamente, fazia-se necessária uma pesquisa em outras fontes (dados e mapas históricos) para a atribuição a um ou outro Bioma.

Na presente publicação, os procedimentos de delimitação dos Biomas foram modificados, considerando a complexidade deste tipo de mapeamento. Os principais pressupostos para essa mudança metodológica foram os seguintes:

- 1) as espécies vegetais retratam os tipos de vegetação e a sua distribuição está associada aos fatores ambientais abióticos:
- 2) a vegetação é a resultante da interação de outros elementos da natureza, como clima, geologia, geomorfologia e pedologia;
- 3) a visão integrada dos meios físico, biótico e antrópico permite inferir com maior fidedignidade o Bioma predominante, principalmente em regiões com pouco ou nenhum remanescente de vegetação.

Assim, para esta revisão de partes do limite dos biomas Mata Atlântica e Cerrado, utilizou-se a integração do conhecimento de especialistas, tanto em campo, quanto no uso das bases temáticas disponíveis.

Destaca-se que o conceito de biomas permanece o mesmo daquele utilizado no Mapa de Biomas do Brasil: primeira aproximação (IBGE, 2004) e de Biomas e Sistema Costeiro-Marinho do Brasil, apresentado em IBGE (2019):

um conjunto de vida (vegetal e animal) constituído pelo agrupamento de tipos de vegetação contíguos e identificáveis em escala regional, com condições geoclimáticas similares e história compartilhada de mudanças, resultando em uma diversidade biológica própria.

As diretrizes para a delimitação dos biomas também permaneceram inalteradas, são elas: a) será tomado como referência o Mapa de Vegetação do Brasil, escala 1:250 000 do IBGE; b) cada bioma é um conjunto único e contínuo, não existindo áreas de transição entre biomas na representação cartográfica. Cada bioma abrange grandes áreas contínuas, observadas suas condições de mapeabilidade; c) áreas indicativas de determinado bioma, quando ocorrerem separadas do corpo principal deste, são consideradas como disjunções de vegetação inseridas em outro bioma, ao qual serão incorporadas; d) cada área de contato vegetacional será anexada a um dos biomas



confrontantes, tendo como critério a tipologia dominante; e) em função da escala do Mapa, os ambientes costeiros serão segmentados e anexados ao bioma adjacente mais próximo.

Geologia

O substrato geológico é um dos fatores fundamentais para o estabelecimento de diferentes tipos de vegetação. Este substrato é formado pelos mais diversos tipos de rocha (ígnea, metamórfica e sedimentar) e estruturas geológicas (fraturas, falhas e dobras).

Para se identificar as grandes áreas geológicas naturais, que possuem evolução específica (estratigráfica, magmática, tectônica e metamórfica), são reconhecidas as Províncias Estruturais (Almeida *et al.*, 1977). O IBGE (2019, 2020) identifica e individualiza as Províncias e Subprovíncias Estruturais por meio do reconhecimento dos diversos crátons, cinturões móveis e bacias sedimentares existentes no território brasileiro, no contexto da Plataforma Sul-Americana.

Na área de pesquisa deste trabalho encontram-se as províncias Paraná (uma bacia sedimentar), São Francisco (um cráton neoproterozoico) e Tocantins (um cinturão móvel neoproterozoico). Cada uma destas províncias contém subprovíncias com aspectos litoestruturais distintos.

O substrato geológico atua como uma base ou fonte para o estabelecimento de diferentes solos, através da pedogênese, e diferentes relevos, através dos processos erosivos e deposicionais. Cada província ou subprovíncia apresentará aspectos específicos de acordo com o contexto climático atual e passado. Assim, a mudança de uma subprovíncia, ou mesmo de uma formação rochosa, pode resultar em solos e tipos de relevo característicos, que conduzem ao estabelecimento de fitofisionomias específicas. Além disso, eventos erosivos e deposicionais podem deslocar sedimentos de uma área fonte para uma área de deposição, e esta poderá apresentar características geológicas da área fonte.

Geomorfologia

Tanto nas análises em gabinete quanto nas observações realizadas em campo, as relações do relevo com a vegetação (biomas e fitofisionomias) mostram elevada complexidade, sendo difícil verificar correspondências diretas, isto é, uma determinada fitofisionomia ou bioma correspondendo exatamente a uma determinada feição de relevo. Esta contextualização é importante, pois o modelo aqui proposto apresenta eventuais incompatibilidades no mundo real, mas, mesmo assim, acredita-se que há importantes tendências estabelecidas e contribuições para o entendimento da evolução do relevo e da vegetação nos trechos analisados.

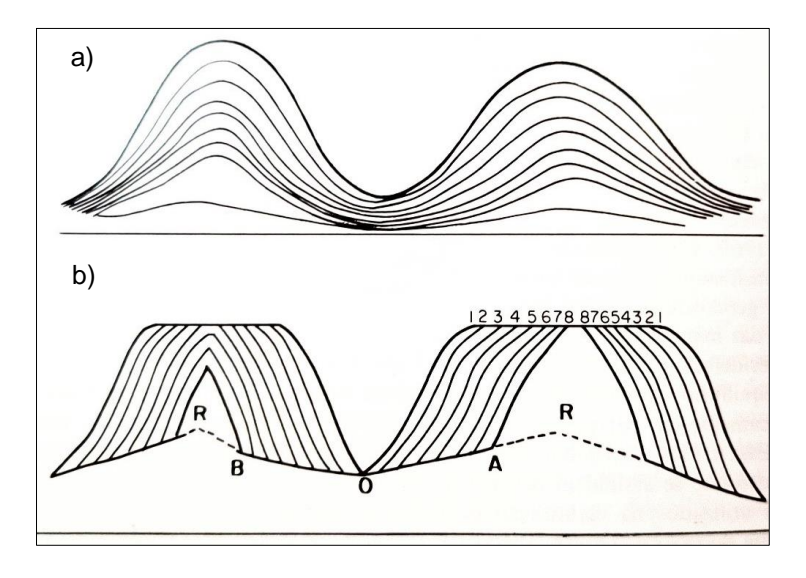
Dito isto, a relação relevo e vegetação foi tratada fundamentalmente através de teorias importantes de evolução do relevo e dos processos geomorfológicos. Em primeiro lugar, os modelados de aplanamento (pediplanos e pedimentos) e de dissecação da área de estudo sugerem uma relação com períodos de resistasia e biostasia, respectivamente, conforme teoria de Erhart (1956) *apud* Penteado (1983). Segundo esta teoria, a biostasia corresponde a um período de equilíbrio bioclimático de condições úmidas, que favorece a pedogênese (intemperismo químico e produção de sedimentos), que, no território



brasileiro, corresponderia a um aumento da área de floresta. Já a resistasia está relacionada aos períodos semiáridos ou áridos e favorece a morfogênese (intemperismo físico), que estaria ligada à diminuição das áreas de florestas e expansão das savanas (cerrado).

Em segundo lugar, do ponto de vista estritamente geomorfológico, nota-se que a biostasia apresenta alguma correspondência com a visão de evolução do relevo de Davis (1899), na qual há um rebaixamento vertical do relevo, ao longo do tempo, até a formação de uma (teórica) peneplanície. Por outro lado, a resistasia possui compatibilidade com as teorias de Walter Penck que foram aprimoradas por King (1956), que indicam o processo de recuo paralelo das vertentes, relacionado aos climas semiárido e árido. A Figura 1 ilustra esses dois processos teóricos de evolução do relevo.

Figura 1: Diferentes teorias de evolução do relevo. a) evolução das vertentes, com dissecação vertical, segundo Davis (1899), levando à peneplanização. b) evolução segundo Walter Penck, aprimorada por King (1956), com recuo paralelo das vertentes, conduzindo à pediplanação.



Fonte: Adaptado de Christofoletti (1980).

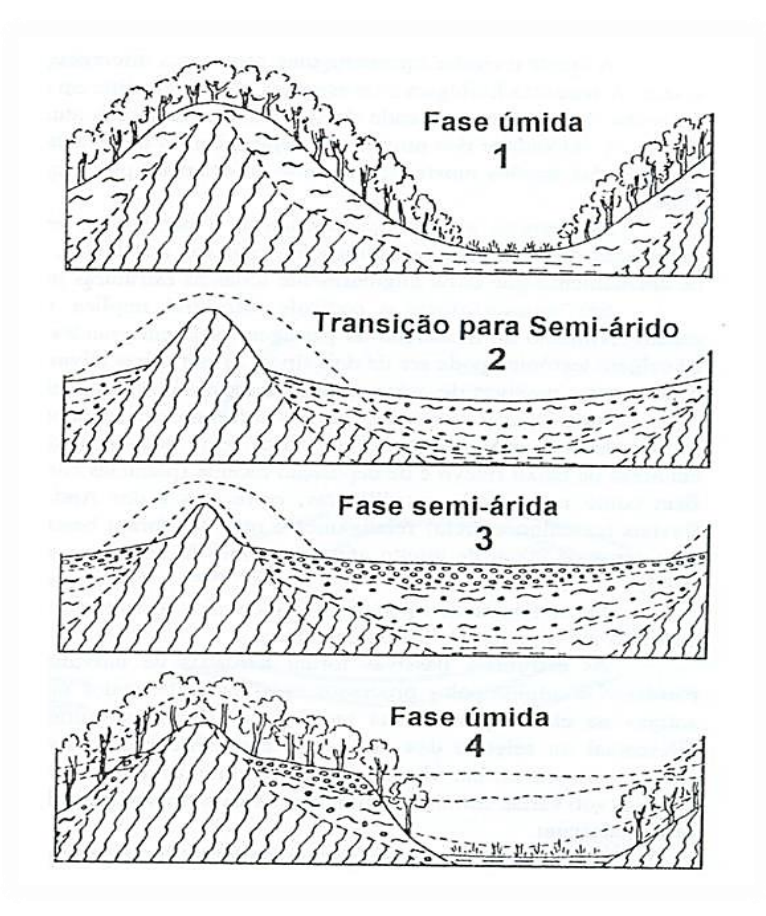
Outra importante premissa, para a compreensão da evolução do relevo das áreas analisadas, baseia-se nas reconhecidas flutuações climáticas cenozoicas, principalmente aquelas referentes ao período Quaternário. Sabe-se que o Quaternário, em áreas tropicais, é caracterizado por períodos glaciais, com rebaixamento do nível relativo do mar, correspondente ao clima semiárido (seco); e períodos interglaciais, com aumento do nível relativo do mar, que correspondem a um clima quente e úmido (Suguio, 2010).

Desta forma, o modelo de evolução apontado por Bigarella e Becker (1975) esquematiza a intercalação de períodos úmidos e semiáridos na paisagem brasileira, de caráter tropical (Figura 2).

Reconhecidos os pilares da evolução do relevo em ambiente tropical, tem-se posta a complexidade das feições geomorfológicas, solos e fitofisionomias. Desde o início do Cenozoico, algumas superfícies de aplanamento foram construídas, associadas a clima

semiárido (pediplanos), intercaladas por dissecação em intervalos úmidos, conforme o modelo da Figura 2.

Figura 2: Representação da evolução de relevo intercalando períodos úmidos e semiáridos no Membro Canhanduba. 1: modelado original dissecado desenvolvido em fase climática úmida. 2: período de transição para o semiárido. 3: aperfeiçoamento durante fase semiárida. 4: dissecação da superfície desenvolvida na fase anterior, em novo período úmido.



Fonte: Passos e Bigarella (1998) adaptado de Bigarella e Becker (1975).

As expedições de campo realizadas para a presente pesquisa nos estados de São Paulo e Minas Gerais (que serão posteriormente descritas na seção de Expedições de campo) mostraram diversas evidências de superfícies remanescentes destes antigos pediplanos. Estes, de provável idade paleogênica, são localizados nos topos aplanados de montanhas, morros e colinas. Segundo o Manual Técnico de Geomorfologia do IBGE (2009), estes topos são considerados Pediplanos Degradados Inumados (Pgi). São chamados de degradados em razão da forte dissecação que remodelou quase inteiramente esta superfície, enquanto o termo inumado se refere a uma cobertura deposicional deixada pelo processo de pedimentação. Assim, estas áreas pediplanadas estão associadas à expansão das savanas durante um período semiárido.

Por outro lado, as áreas mais dissecadas costumam estar relacionadas às fitofisionomias de floresta. Como dito anteriormente, trata-se de uma realidade complexa, não se esperando uma solução simples que correlacione linearmente classes de relevo e

vegetação. A associação de uma maior dissecação com área de floresta é apenas uma tendência observada e que possui embasamento teórico-conceitual.

É importante destacar que rupturas de relevo de destaque (escarpas erosivas, cuestas e ressaltos proeminentes), nas áreas transicionais entre os biomas Mata Atlântica e Cerrado, tendem a apresentar fitofisionomias de floresta e, em menor proporção, Contatos vegetacionais. Isto ocorre, muito provavelmente, em razão da umidade que esses ambientes declivosos apresentam, seja por efeitos de chuva orográfica ou presença predominante de rochas permeáveis, como os arenitos. Estas podem atuar como áreas de recarga de aquíferos, mas também de exfiltração de água. Ressalta-se que essas feições geomorfológicas tendem a não apresentar este padrão florestal quando se adentra à área core (núcleo) do bioma Cerrado, ou seja, em um contexto climático mais seco.

Entende-se que, ao longo do Quaternário, a porção interiorana do Brasil foi palco de avanços e recuos de ambientes florestais, em geral, mais ligados ao Bioma Mata Atlântica, e de ambientes savânicos, relacionados ao Bioma Cerrado. Segundo Ab'Saber (1977; 2003), o Bioma Cerrado, do ponto de vista paisagístico, é caracterizado por chapadões ou planaltos com interflúvios muito largos e vales simétricos, ausência de mamelonização (processos de convexização), baixa densidade de drenagem e drenagens perenes apenas nos cursos principais. Por outro lado, de acordo com o mesmo autor, o bioma Mata Atlântica estaria relacionado a um ambiente mais úmido, onde se constata o domínio de "mares de morros", com intensa dissecação na forma de mamelonização.

Em síntese, as seguintes premissas e hipóteses apresentam-se como orientadoras na relação da Geomorfologia com as formações vegetacionais e biomas na área avaliada:

- Feições pedimentadas (pedimentos e pediplanos) são relacionadas a períodos secos e podem corresponder à expansão de fitofisionomias savânicas;
- Feições dissecadas, em geral com densidade de drenagem maior e topos convexos, são relacionadas a períodos mais úmidos, propícios à expansão das florestas;
- Em áreas de transição entre biomas, uma vez que a floresta alcança as rupturas de relevo (escarpas erosivas, cuestas e ressaltos), ela tende a manter-se ali, independente dos recuos e avanços observados em outras situações de relevo;
- Quanto mais em direção à área *core* do Bioma em questão, maior a probabilidade de se encontrar um ambiente savânico, no caso do Cerrado, e florestal, no caso da Mata Atlântica, independente de outras condicionantes relacionadas ao relevo.

Ao reconhecer as áreas core de cada um destes biomas, entende-se o quão complexa é a realidade das áreas aqui analisadas, por estarem situadas justamente numa transição entre biomas. Ademais, a escassez de fragmentos de vegetação impõe uma imensa dificuldade à delimitação fidedigna dos biomas, o que significa que qualquer estimativa estará sujeita a erros. Contudo, acredita-se que o reconhecimento da tendência aqui relatada, mesmo que não linear, proporciona um melhor entendimento entre aspectos climáticos, geológicos, pedológicos e vegetacionais, sob uma ótica da geomorfologia, propiciando delimitações de biomas mais próximas da realidade.

Pedologia

As plantas dependem da luz do sol, da água e dos nutrientes do solo para seu desenvolvimento. Quando a água e os nutrientes são limitados ocorrem efeitos específicos nos mecanismos adaptativos que as plantas utilizam para suprir as deficiências e, portanto, no tipo, diversidade e funcionamento da comunidade vegetal. Boa parte do fornecimento desses recursos para as plantas ocorre no solo. Nesse sentido, o potencial edáfico (relação solo-planta) é preponderante para o desenvolvimento vegetal, pois influencia diretamente a capacidade de retenção de água e a reserva e fornecimento de nutrientes.

O estabelecimento de um tipo de vegetação em um ambiente está intimamente relacionado ao potencial edáfico, ao clima e ao relevo. Os fatores edáficos são elementos do solo que influenciam diretamente no desenvolvimento e na capacidade de sustentar um tipo de vida vegetal. Os principais fatores essenciais para o entendimento da dinâmica dos solos e como eles podem interferir no meio ambiente são: composição, tipo de solo, pH, fertilidade, matéria orgânica, atração magnética, textura, estrutura, densidade do solo, capacidade de retenção de água, drenagem do solo e a profundidade.

A identificação da relação pedoclimática de grandes ambientes regionais é essencial para o entendimento do tipo de vegetação e biodiversidade ali estabelecida.

Nas áreas de transição entre tipos de vegetação, os chamados Contatos vegetacionais ou tensão ecológica, observados em trechos do limite entre os biomas Mata Atlântica e Cerrado, ocorre antropização há séculos. Esta, somada à falta de mapeamentos dos recursos naturais em escala detalhada, dificulta o estabelecimento de padrões da relação solo-vegetação.

Queiroz Neto (1982) concluiu que a vegetação de cerrado constitui uma lenta adaptação a condições de empobrecimento progressivo dos solos. Furley e Ratter (1988) estabeleceram que a maioria dos solos sob Cerrado são ácidos, com baixa capacidade de troca catiônica, alta saturação por alumínio e médio teor de matéria orgânica.

Oliveira e Santos (2004), embora tenham detectado solos férteis (saturação por bases maior que 50%) no Cerrado, verificaram que estes sempre apresentam pelo menos uma forte limitação física ao desenvolvimento da vegetação, concluindo que a pobreza química não é o único fator determinante. Solos com caráter ácrico e acriférrico são comuns no Bioma Cerrado (Oliveira et al., 2017). Segundo esses autores, a maioria dos solos do Cerrado é distrófica e quando eutróficos apresentam fortes limitações ao desenvolvimento vegetal, sejam físicas ou ambientais.

Coelho et al. (2017) afirmam que nas áreas de tensão ecológica da Mata Atlântica-Cerrado em clima intermediário entre subúmido e úmido, os solos são, ao menos, parciais ou localmente responsáveis por sua ocorrência. No Bioma Mata Atlântica são esperados, mormente, solos bem desenvolvidos, profundos, com elevado grau de intemperismo pelas condições úmidas e quentes.

Diante do exposto, algumas ponderações podem ser feitas para contextualizar os fatores edáficos que se destacam nas áreas avaliadas para essa nota metodológica, a fim de subsidiar uma análise multidisciplinar que permita a melhor definição dos limites entre os biomas Mata Atlântica e Cerrado.

Na região que abrange desde o Noroeste Paulista e Triângulo Mineiro até o Centro-Sul do Estado de São Paulo (Região Imediata de São Carlos), no contexto da Bacia Sedimentar do Paraná, destacam-se: solos altamente intemperizados com caráter ácrico; solos com elevados teores de ferro e argila (originados dos basaltos da Formação Serra Geral, Grupo São Bento); e solos de textura arenosa, média e até argilosa, derivados de rochas do Grupo Bauru.

Superfícies antigas com moderada a baixa declividade, elevada pluviosidade na estação chuvosa e elevada temperatura, de maneira geral, propiciam intensa lixiviação de nutrientes e perda de sílica. Essas condições resultam em solos altamente intemperizados, oxídicos, com baixa capacidade de retenção de cátions, muitas vezes com caráter ácrico ou com elevada acidez. Normalmente, esses são muito profundos e com boa drenagem, com forte microagregação, resultante da cimentação de óxidos de ferro nas argilas silicatadas, gerando nos solos argilosos um comportamento hídrico, semelhante ao de solos de textura média, com elevada porosidade total e baixa capacidade de retenção de água.

Nessas áreas, com manto de alteração e solos espessos e estresse hídrico, com escassez sazonal de água, é comum encontrar vegetação com sistemas radiculares profundos, permitindo que muitas plantas mantenham suas folhas mesmo durante a estação seca. Entretanto, não é possível afirmar que tanto a presença de caráter ácrico como a ausência dele sejam fatores determinantes para indicar o domínio de vegetação de Savana ou de Floresta, em áreas de Contato vegetacional. Destacam-se nessas áreas, de tensão ecológica, os Latossolos Vermelhos Ácricos, os Latossolos Vermelhos Acriférricos, os Latossolos Vermelho-Amarelos Ácricos e os Latossolos Amarelos Ácricos.

Os solos desenvolvidos a partir dos basaltos da Formação Serra Geral ocorrem em grande extensão da Bacia Sedimentar do Paraná e apresentam elevados teores de ferro e argila. Os teores de Fe²O³, quando variam de 180 a 360 g kg⁻¹, caracterizam solos com caráter férrico, associado ao magnetismo do argilomineral maghemita, presente na fração argila, e magnetita na fração areia destes solos.

Este ambiente proporciona a pedogênese de solos argilosos a muito argilosos, com elevados teores de Fe²O³, com destaque para os Latossolos Vermelhos Eutroférricos, Latossolos Vermelhos Distroférricos e Latossolos Vermelhos Acriférricos. Em relevos mais declivosos ocorrem, em menor proporção, os Nitossolos Vermelhos Eutroférricos e os Neossolos Litólicos.

Em função do tipo de agregação destes solos, a microporosidade pode favorecer a retenção de água em regiões mais chuvosas, enquanto, em regiões com estação seca definida, pode dificultar a disponibilidade de água para as plantas em função da força matricial.

No Norte e Nordeste Paulista e no Triângulo Mineiro, Latossolos Vermelhos Eutroférricos e os Distroférricos, quando associados à rede de drenagem dos rios Paranaíba e Grande, apresentam domínio da vegetação florestal (Coelho *et al.*, 2017).

No entanto, os solos desenvolvidos de rochas sedimentares arenoargilosas, do Grupo Bauru, estão situados em declives suave ondulado e ondulado e relevo de colinas amplas e médias (Coelho *et al.*, 2017), podendo apresentar textura arenosa, média e até argilosa. Predominam nesses ambientes: Argissolos Vermelhos Eutróficos de textura

arenosa/média e média; Argissolos Vermelho-Amarelos Eutróficos de textura arenosa/média; Latossolos Vermelhos Distróficos de textura média; Argissolos Vermelhos Distróficos de textura arenosa/média e média/média-argilosa; e Neossolos Quartzarênicos Órticos de textura arenosa.

Resumindo, o potencial edáfico é um dos mais importantes componentes para condicionar a resposta da cobertura vegetal de uma área, porém não é o único fator determinante. Outros componentes importantes interagem com os solos, como o clima e o relevo, na determinação da cobertura vegetal.

Vegetação

A vegetação é a resultante da complexa interação entre os fatores abióticos (geologia, geomorfologia, pedologia e clima) e formas de uso da terra (Walter, 1986). A litologia e suas estruturas, as feições do relevo, o potencial edáfico, o clima e suas alterações climáticas e o histórico de uso local condicionam a cobertura vegetal atual. Esta cobertura nem sempre corresponde a vegetação pristina (Vasconcellos *et al.*, 2024), pois os remanescentes podem estar sob efeitos dessas alterações, dominância de formas de vida mais resilientes e mecanismos adaptativos. Isso demonstra a dificuldade de estabelecer relações diretas entre as diferentes fitofisionomias e os fatores que condicionam a sua existência.

Em razão da grandeza territorial dos Biomas, as relações entre a vegetação e os seus fatores abióticos condicionantes mostram-se ainda mais complexas (Coutinho, 2016). Ademais, é importante destacar que o limite entre um Bioma e outro, de maneira geral, não ocorre de forma abrupta, mas por meio de uma faixa de transição (Felfili *et al.*, 2011), que adiciona mais complexidade a relação entre vegetação e os fatores abióticos, climáticos e antrópicos (Sano *et al.*, 2008). As áreas levantadas e que serão apresentadas nesta Nota Metodológica, em que a delimitação dos Biomas foi revista, estão situadas em faixas transicionais entre o Cerrado e a Mata Atlântica na região Sudeste do Brasil.

Os limites redefinidos ocorrem nos ambientes em que se realizaram as primeiras colonizações de origem europeia (Felfili *et al.*, 2011). Assim, além das já citadas interações ambientais complexas, neste caso, os fatores antrópicos ganham destaque.

Diante deste cenário desafiador na definição do limite entre biomas, foram estabelecidas algumas premissas orientadoras para a identificação da vegetação:

- Os ambientes florestais e transicionais (ecotonais ou de encrave) estão mais relacionados a litologia basáltica, aos solos de textura média a argilosa, solos com moderada a forte atração magnética de suas partículas e aos modelados de dissecação;
- Os ambientes savânicos relacionam-se mais fortemente à litologia arenítica, aos solos arenosos, solos com fraca ou ausente atração magnética de suas partículas e aos modelados de aplanamento;
- A umidade orográfica, em que o ar se condensa formando chuva quando uma massa de ar úmida é forçada a subir ao encontrar uma elevação de relevo, está fortemente associada ao ambiente florestal.

Reconhecer os diferentes tipos de ambientes (florestais, transicionais e savânicos) é importante para a delimitação dos Biomas, mas em muitas situações não são determinantes dada a complexidade ambiental da área de estudo.

Materiais e métodos

Como principal fonte de dados para a revisão de trechos do limite entre os biomas Mata Atlântica e Cerrado, utilizaram-se as bases de dados geoespaciais temáticas contínuas presentes no Banco de Dados de Informações Ambientais - BDiA (Geologia, Pedologia, Geomorfologia, Vegetação e Biomas). Além disso, também foram consultados: o modelo digital de elevação do TOPODATA (INPE, 2008), dados climáticos provenientes do CHELSA (KARGER *et al.*, 2017), imagens Google e mapeamentos e dados preexistentes de outras instituições congêneres.

Os trechos revisados derivam de questionamentos prévios internos e externos e foram investigadas em expedições de campo por uma equipe técnica multidisciplinar.

As maiores dúvidas decorreram em locais onde o mapeamento oficial de vegetação do IBGE apresentava os Contatos vegetacionais em forma de encrave, modificados pela ação humana. Nessas situações, em que não foram possíveis a identificação da fitofisionomia predominante, as associações entre vegetação remanescente e elementos do meio físico se constituíram em importantes indicadores para a caraterização do limite. Devido à extensão da área analisada e à diversidade de condições observadas, foi necessário utilizar diferentes associações e integrações para a delimitação dos referidos Biomas.

Ao longo de três anos, entre 2022 e 2025, foram percorridos mais de 15.000 km. Uma síntese dos dados das expedições de campo pode ser vista na Tabela 1. Nesta, constam o número da expedição, as unidades técnicas organizacionais e o número de profissionais do IBGE envolvidos, a data de início da expedição, o número de dias e a distância percorrida.

Tabela 1: Informações gerais das expedições de campo realizadas para revisar o limite entre o Cerrado e a Mata Atlântica.

Expedição	Unidades envolvida	s Data do campo	N° de dias	Distância aproximada percorrida
	(n° técnicos)	(início)		(km)
	GMAG/SC (1)		42	3.500
1.	GMAP (5)	20/06/2022	12	3.599
	GMAP (4)		14	2.557
2.	GMAG/SC (2)	10/09/2023	14	2.557
	GMAG/DF (1)			
	GMAP (3)		12	2.368
3.	GMAG/SC (2)	13/05/2024	12	2.300
	GMAG/SC (2)		12	4.350
4.	GMAP (3)	09/09/2024		1.550
	GMAG/DF (1)			
	GMAP (4)			
	GMAG/SC (2)	24/04/2025	12	2.536
5.	GMAG/DF (1) Consultoras (2)			
Oha i OM	Consultoras (2)	de Desumes Netumia		Die de Jeneire (D.N. CMAC

Obs.: GMAP - Gerência de Mapeamento de Recursos Naturais sediada no Rio de Janeiro (RJ); GMAG -Gerências de Meio Ambiente e Geografia sediadas no Distrito Federal (DF) e em Santa Catarina (SC).

Ressalta-se que nas expedições 2, 4 e 5 (Tabela 1) foram identificadas espécies vegetais. Quando possível, foram feitas coletas e esse material botânico foi depositado no Herbário IBGE, localizado na Reserva Ecológica do IBGE, em Brasília, DF (Figura 3). Além disso, foram realizadas reuniões técnicas interinstitucionais durante todo o processo de consolidação dos limites avaliados.

HERBÁRIO IRGE

I B G E

FILADO, 11: - 16:41

FILADO

Figura 3: Exsicata depositada no Herbário IBGE n°88082, *Actinocephalus polyanthus* (Bong.) Sano, Serro-MG.

Fonte: IBGE, Superintendência Estadual do Distrito Federal (SES/DF), Gerência de Geografia e Meio Ambiente (GMAG).

Dados de Clima

Uma espacialização do total de meses secos por ano foi produzida como insumo de apoio para a interpretação regional, utilizando-se os dados do projeto CHELSA (KARGER et al., 2017), tratados para o estudo de classificação climática do Brasil desenvolvido por Novais e Machado (2023). O CHELSA consiste em um conjunto de dados matriciais de temperatura do ar e precipitação média mensal, entre outras variáveis, com resolução espacial de 1km². Esses dados foram obtidos a partir de produtos de reanálise atmosférica global, ERA-Interim, combinando resultados de modelagem e recuperação de informações coletadas sobre a superfície da Terra, disponíveis para download (Chelsa Climate – Climatologies at high resolution for the earth's land surface areas (chelsa-climate.org). Os dados do CHELSA foram validados por Novais (2019) e Novais e Galvani (2022), em 41 estações meteorológicas do Instituto Nacional de Meteorologia (INMET), com coeficiente de determinação linear de 0,9595.

O estudo de Novais e Machado (2023) utilizou dados mensais de temperatura média do ar e precipitação acumulada, de 1989 a 2018, para calcular a média mensal desses trinta anos, gerando uma normal climatológica desse período. Os dados da normal gerada para temperatura e precipitação foram utilizados para produzir o mapa de meses secos do Brasil. A equação de meses secos de Gaussen e Bagnouls (1962), segundo a qual, um mês seco é aquele em que o total da precipitação (mm) é igual ou menor que o dobro da temperatura média (graus Celsius) foi aplicada, gerando o número de meses secos. Em seguida, os pixels que atenderam a equação foram reclassificados com o valor 1 (um), representando os meses secos, e os demais com o valor 0 (zero), representando os meses úmidos. Ao final, os arquivos referentes a cada um dos meses do ano foram somados resultando no total de meses secos por ano e por pixel para o território nacional.

Reuniões técnicas com instituições congêneres

Como parte do método, visando averiguar as alterações feitas no limite do Bioma Mata Atlântica, foram realizadas reuniões técnicas com instituições com experiência em mapeamento e/ou, trabalho em campo na região em estudo. A expertise do IBGE em mapeamento temático é configurada em escalas exploratórias (médias e pequenas), sendo sua escala de maior detalhe a de 1:250 000, e o conhecimento local de instituições ambientais e de fiscalização auxiliaram na confirmação das alterações.

As reuniões técnicas foram feitas com as seguintes instituições:

- Instituto Brasileiro do Meio Ambiente e dos Recursos Naturais Renováveis (IBAMA);
- Instituto Chico Mendes de Conservação da Biodiversidade (ICMBio);
- Universidade Federal dos Vales do Jequitinhonha e Mucuri (UFVJM);
- Instituto de Pesquisas Ambientais de São Paulo (IPA/SP);
- Instituto Nacional de Pesquisas Espaciais (INPE) e
- Fundação SOS Mata Atlântica.

Localização e caracterização das áreas verificadas

As expedições de verificação em campo, para gerar informações de suporte à revisão e delimitação dos biomas, foram estabelecidas de acordo com as áreas que apresentaram maiores dúvidas em relação aos limites dos Biomas Mata Atlântica e Cerrado (IBGE, 2019). Na primeira área, que engloba parte do Estado de São Paulo e da região do Triângulo Mineiro (MG), foram realizadas três expedições, já na segunda área, na porção central do Estado de Minas Gerais, foram realizadas duas expedições, os trechos dos limites que foram verificados estão destacados em linhas vermelhas na Figura 4.

Solotion Sol

Figura 4: Limites verificados nas expedições de campo.

Nos itens a seguir são descritos os processos específicos de desenvolvimento de conhecimento para cada trecho revisado no limite entre os biomas Mata Atlântica e Cerrado, com as respectivas justificativas técnicas de decisão, consideradas caso a caso. Ao fim de cada uma das descrições, será apresentado o resultado do traçado, na forma de figuras.

Expedições de campo

Expedição 1

A expedição de campo 1 abrangeu parte dos Estados de São Paulo e de Minas Gerais, nas regiões conhecidas como Nordeste Paulista e Triângulo Mineiro. A área verificada pode ser observada pelos caminhos percorridos apontados na Figura 5.

Figura 5: Área e percurso da expedição de campo 1.

Nessa expedição, além das observações ao longo do percurso, levantou-se 53 pontos de caracterização (Figura 6) distribuídos, geralmente, em função da existência de fragmentos de vegetação nativa. Nesses pontos, registraram-se as informações provenientes das discussões entre os diversos profissionais especialistas nos temas ambientais (de geologia, geomorfologia, pedologia e vegetação) (Apêndice 1).

Figura 6: Distribuição dos pontos levantados na expedição de campo 1.

A partir das considerações e reflexões pontuais sobre as áreas naturais dessa porção do Triângulo Mineiro e do Nordeste Paulista, buscou-se estabelecer uma associação entre algumas características abióticas e o ambiente vegetacional com o intuito de avaliar a delimitação dos Biomas na escala de 1:250 000. A Tabela 2 apresenta um resumo da concebível associação entre as variáveis: modelados, atração magnética, textura dos solos, litologia e altitude, com relação ao ambiente vegetacional (se florestal, savânico, contato ou refúgio) em função daquelas.

Tabela 2: Frequência e percentual das características abióticas segundo o ambiente vegetacional identificado em campo, dos pontos em que foi possível essa caracterização na expedição 1.

Características abióticas	Ambiente vegetacional				Total
	Florestal	Savânico	Contato	Refúgio	
Modelado					
Aplanamento e baixa dissecação	8 (17%)	20 (43%)	3 (6%)	-	
Média a forte dissecação	9 (19%)	4 (9%)	3 (6%)	34	17
Planície	-	-	-	-	47
Rampa	21	2	_	-	
Atração magnética					
Fraca	1 (4%)	7 (30%)	-	-	22
Forte	7 (30%)	6 (26%)	2 (9%)	-	23
Textura					
Muito argilosa	11 (23%)	5 (11%)	1 (2%)	-	
Argilosa	2(4%)	7 (15%)	4 (9%)		
Média	4 (9%)	11 (23%)	-	-	47
Siltosa	21	=	_	_	
Arenosa	-	1 (2%)	1 (2%)	-	
Litologia					
Arenito	4 (29%)	=	-	-	4.4
Basalto	6 (43%)	2 (14%)	2 (14%)	-	14
Altitude (m)					
até 600	12 (26%)	12 (26%)	1 (2%)	-	
601 a 800	3 (6%)	3 (6%)	4 (9%)	-	47
801 a 1000	1 (2%)	9 (19%)	1 (2%)		47
1001 e mais	1 (2%)	-	-	-	

De maneira geral, o ambiente florestal está mais associado ao modelado de média a forte dissecação, sobre uma litologia basáltica, em que as partículas do solo têm forte atração magnética. Já as savanas costumam ocorrer em modelados de aplanamento e baixa dissecação, entre 500 m e 1000 m de altitude (Tabela 2), em que as partículas do solo têm fraca atração magnética. Ademais, as savanas também foram associadas à geologia composta por Cobertura Detrito Laterítica e à pedologia retratada pelos Plintossolos (Figura 7).

A associação das características abióticas com os ambientes florestais e savânicos auxiliam no aprimoramento da identificação e da caracterização dessas áreas naturais, mesmo nos casos em que a vegetação nativa não está presente. Entretanto, ambos os ambientes vegetacionais ocorrem tanto no Bioma Cerrado quanto no Bioma Mata Atlântica, o que torna complexo o uso dos critérios de associação para revisão dos limites.

De forma geral, as avaliações de campo e análises em gabinete permitiram inferir e estabelecer relações entre as características edáficas na distribuição da vegetação, com destaque para a Floresta Estacional Semidecidual. Observou-se que a ocorrência dessa fitofisionomia está associada a solos de textura argilosa, maior capacidade de retenção hídrica e fertilidade moderada a alta. Os Latossolos Vermelhos Distroférricos (LVdf) e os Latossolos Vermelhos Eutroférricos (LVef) foram as classes predominantes nas áreas dominadas por formações florestais, sugerindo que a disponibilidade de nutrientes e a capacidade de armazenamento de água são fatores importantes para a instalação e manutenção dessa vegetação natural.

Figura 7: Ambiente savânico sobre Plintossolo (5a, 5b e 5c), atualmente ocupada por pastagem, e Savana Florestada (10) anteriormente inserida no Bioma Mata Atlântica.



Outro fator relevante identificado foi a presença de solos com forte atração magnética, indicativa de elevados teores de ferro na fração mineral, associados à presença de vegetação florestal, neste caso, possivelmente em decorrência da maior estabilidade na composição dos agregados (estrutura dos solos) e maior potencial de retenção de umidade desses solos.

Entretanto, é importante destacar que as relações e associações estabelecidas nesta área não refletem outros ambientes devido a complexa interação entre fatores edáficos, geomorfológicos, geológicos, climáticos e hidrológicos, entre outros, que regulam a instalação e manutenção da vegetação.

Nessa expedição 1, a área de dúvidas corresponde a vegetação de Contato entre a Floresta e a Savana, dentro do Bioma Mata Atlântica. A Figura 8 ilustra essa área em tom cinza; nos tons laranja e verde estão os ambientes savânicos e florestais, respectivamente.

Socramento

Socramento

Planura

Planura

Socramento

Sacramento

Sacramento

Planura

Franca

Sacramento

Sacramento

Sacramento

Sacramento

Sacramento

Sacramento

Sacramento

Sacramento

Massa d'água

Figura 8: Vegetação florestal, savânica e de contatos, em área de transição entre os biomas Cerrado e Mata Atlântica.

Entre Sacramento (MG) e Planura (MG) observou-se um predomínio do ambiente savânico (Cerrado), estando as áreas de floresta restritas aos Latossolos Vermelhos Eutróficos, que ocorrem em terrenos mais dissecados (Figura 9 - área hachurada em vermelho). A predominância das savanas ocorreu em praticamente toda a área ao norte do Rio Grande, que também pode ser observado na mesma figura.

Minas Gerais

São Paulo

São Paulo

Latossolo Vermelho Eutroférrico

Bioma Mata Atlântica

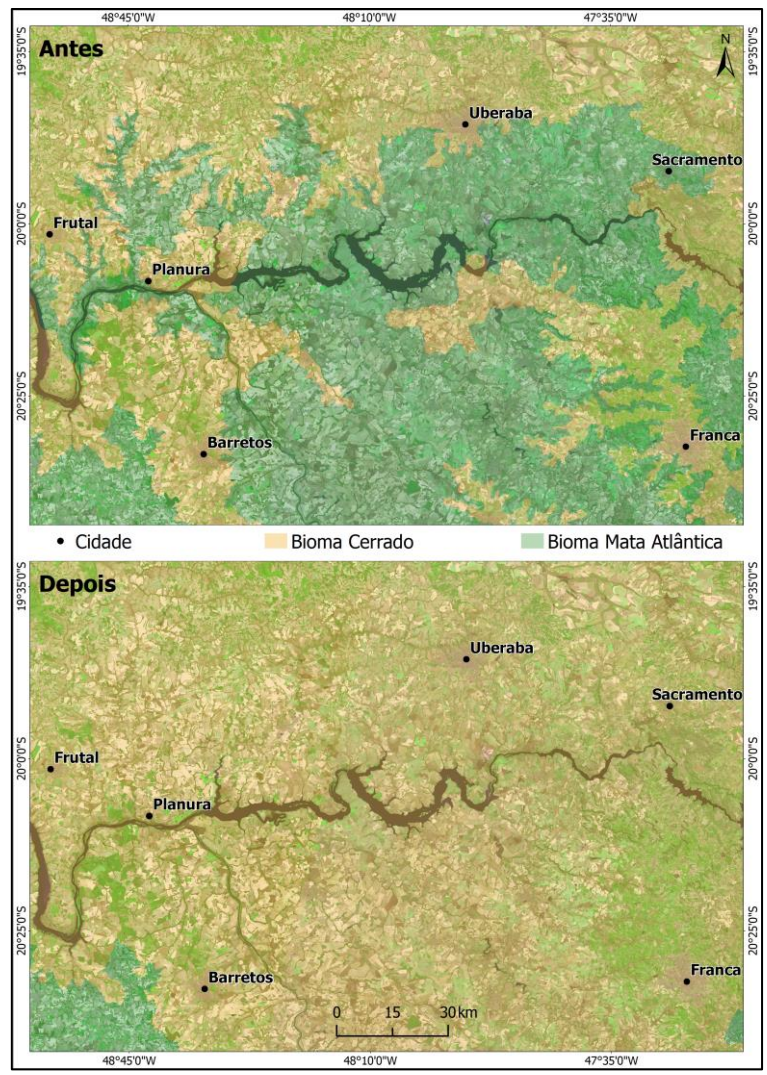
Bioma Cerrado

Figura 9: Latossolo Vermelho Eutroférrico, com textura muito argilosa/argilosa, em relevo mais dissecado, no contexto dos limites dos Biomas.

Nessa figura, o Rio Grande, que divide os Estados de Minas Gerais e São Paulo, configura-se como uma aparente barreira natural à expansão florestal. As florestas estão restritas as porções dissecadas com solos eutróficos. Esta é uma das principais razões, para toda a área em tom verde, em Minas Gerais, passar a ser incorporada ao Bioma Cerrado.

A Figura 10 mostra o comparativo entre os limites dos biomas Cerrado e Mata Atlântica em 2019 (antes da presente revisão) e em 2025 (depois das expedições de campo e interpretações em gabinete das áreas de dúvidas), na qual a cor esverdeada corresponde ao Bioma Mata Atlântica e a cor amarelada ao Bioma Cerrado, e bem elucida a mudança nos limites que está sendo expressa na presente publicação.

Figura 10: Limite entre os biomas Cerrado e Mata Atlântica na publicação do IBGE em 2019 (antes) e a modificação aqui apresentada em 2025 (depois).



Expedição 2

A expedição de campo 2 recobriu parcialmente os Estados de São Paulo (entorno de Ribeirão Preto) e Minas Gerais (entorno de São Sebastião do Paraíso). A área verificada pode ser observada pelo caminho percorrido apontado na Figura 11. Trata-se de uma continuação da expedição de campo 1.

46°40'0"W São Sebastião do Paraíso Ribeirão Preto Mococa □ Limite do Brasil Bioma Cerrado ☐Área de estudo Bioma Mata Atlântica Limite Estadual Cidade Caminho percorrido

Figura 11: Área e percurso da expedição de campo 2.

Foram levantados 64 pontos de caracterização (Figura 12) distribuídos em fragmentos alterados de vegetação nativa da região. As informações pontuais referem-se, além da vegetação, aos temas Geologia, Geomorfologia e Pedologia (Apêndice 1).

48°200'W 47°300'W 46°400'W

S0.5140Z 50.0km

48°200'W 47°300'W 46°400'W

48°200'W 47°300'W 46°400'W

Ponto de caracterização Bioma Cerrado Bioma Mata Atlântica

Figura 12: Distribuição dos pontos levantados na expedição de campo 2.

Essa expedição de campo ocorreu, dentre outras razões, por lacunas de conhecimento evidenciadas durante a expedição 1. Uma das questões centrais foi saber se o ambiente savânico também predominava na porção paulista, tal qual ocorreu no território mineiro. Basicamente foram percorridos contatos vegetacionais, entre formações savânicas e florestais, inseridos no Bioma Mata Atlântica (Figura 13).

Ribeirão Preto
São Sebastião do Paraíso

Ribeirão Preto

São Sebastião do Paraíso

Mococa

48°00°W

47°30°W

47°00°W

47°00°W

47°00°W

Massa d'água

Figura 13: Vegetação florestal, savânica e de contatos, em área de transição entre os biomas Cerrado e Mata Atlântica.

A partir das considerações e reflexões pontuais sobre as áreas naturais, buscou-se estabelecer uma associação entre algumas características abióticas e o ambiente vegetacional, no intuito de avaliar a delimitação entre os biomas na região. A Tabela 3 apresenta um resumo das potenciais associações entre as variáveis ambientais: modelados, atração magnética, textura dos solos, litologia e altitude, com relação ao ambiente vegetacional.

Tabela 3: Frequência e percentual das características abióticas segundo o ambiente vegetacional identificado em campo, dos pontos em que foi possível essa caracterização na expedição 2.

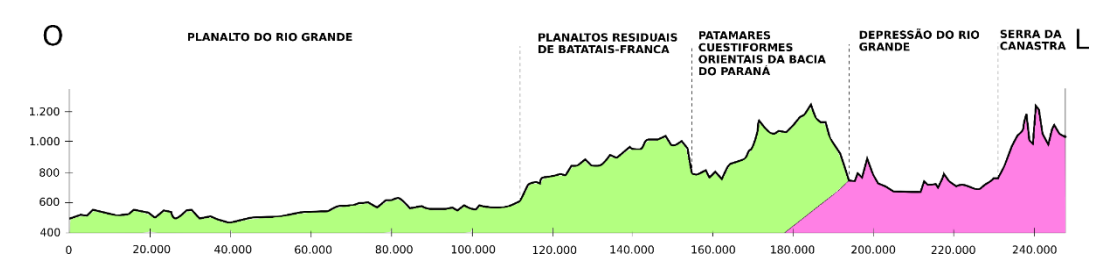
Características abióticas	Ambiente vegetacional				Total
	Florestal	Savânico	Contato	Refúgio	
Modelado					
Aplanamento e baixa dissecação	14 (22%)	13 (20%)	1 (2%)	-	
Média a forte dissecação	16 (25%)	16 (25%)	4 (6%)	-	64
Planície	-	-	-	-	04
Rampa			(7)	-	
Atração magnética					
Fraca	2 (6%)	5 (16%)	1 (3%)	-	22
Forte	19 (59%)	4 (13%)	1 (3%)	-	32
Textura					
Muito argilosa	12 (19%)	3 (5%)	2 (3%)	1-	
Argilosa	13 (20%)	8 (13%)	1 (2%)	-	
Média	5 (8%)	13 (20%)	2 (3%)	-	64
Siltosa	_	-	-	-	
Arenosa	-	5 (8%)	-	-	
Litologia					
Arenito	1 (33%)	1 (33%)	-	-	0
Basalto	1 (33%)	-	-	-	3
Altitude (m)					
até 600	7 (11%)	7 (11%)	_	-	
601 a 800	11 (17%)	12 (19%)	2 (3%)	-	C 4
801 a 1000	7 (11%)	5 (8%)	3 (5%)	-	64
1001 e mais	5 (8%)	5 (8%)	-	-	

Nessa região, o ambiente florestal está mais associado a textura argilosa e muito argilosa e forte atração magnética. Já as savanas foram mais observadas onde as partículas do solo têm fraca atração magnética e textura média. Em relação ao modelado e a altitude não foram observadas diferenças entre os ambientes savânico e florestal.

A Figura 14 sintetiza o relevo da área de estudo através de um perfil topográfico transversal esquemático. Observa-se, a partir de oeste, uma área rebaixada (Planalto do Rio Grande), passando para terrenos mais altos, residuais, em forma de *cuestas* (Planaltos Residuais de Batatais-Franca e Patamares Cuestiformes Orientais da Bacia do Paraná) até o limite oriental da Bacia Sedimentar do Paraná. Em seguida, encontra-se uma superfície rebaixada (Depressão do Rio Grande) seguida de uma área montanhosa (serras alinhadas da Serra da Canastra). De maneira geral, neste trecho da Bacia Sedimentar do Paraná, predomina a Formação Serra Geral, sendo que nas *cuestas* é comum o aparecimento de formações com arenito. O perfil foi traçado na linha imaginária O-L que corta as cidades de Ipuã (no Planalto do Rio Grande) e Ibiraci (patamar alto nos Patamares Cuestiformes Orientais da Bacia do Paraná).

Na área de estudo há diversas evidências de superfícies remanescentes de antigos pediplanos de provável idade paleogênica, localizados nos topos aplanados dos morros e colinas e que, segundo a metodologia do IBGE (2009), são considerados Pediplanos Degradados Inumados (Pgi). Estes tipos de pediplanos são encontrados nas situações de topo de relevos mais altos, no caso, nos planaltos residuais encontrados na região.

Figura 14: Perfil topográfico transversal da porção norte da área de estudo, que sintetiza o relevo tipicamente encontrado na região. Em verde, a Bacia Sedimentar do Paraná. Em rosa, o embasamento cristalino. Eixos X e Y em metros.



Os pediplanos, quando situados em posições rebaixadas no relevo (nas depressões), tendem a ser mais jovens (pleistocênicos) e mais preservados. Nestes casos, recebem o nome de Pediplanos Retocados Inumados (Pri). Estas antigas superfícies relacionadas podem apresentar cobertura detrito laterítica (paleogênica ou pleistocênica) com ocorrência de petroplintitas (Foto 1). Em todos estes casos (pontos 76, 84 e 108 conforme Apêndice 1) também foram identificadas fitofisionomias relacionadas às Savanas.

Foto 1: Savana em Pediplano Retocado Inumado no Ponto 84, no município de São Joaquim da Barra, SP. No nível do chão identifica-se cobertura detrito-laterítica neopleistocênica com presença de petroplintita.

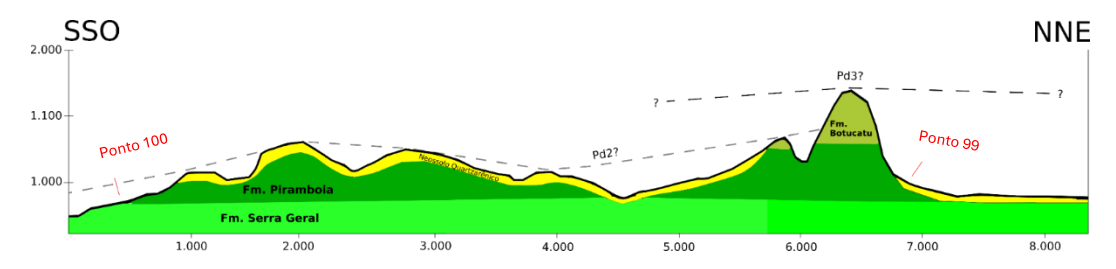


Foto: André Souza Pelech, 2023.

Na região, é comum a identificação de Neossolos Quartzarênicos Órticos sobre os antigos pediplanos (como produtos do próprio processo de pediplanação), preservados ou não. A Figura 15 ilustra uma situação, próxima a morros testemunhos sustentados pelos

arenitos da Formação Botucatu, na qual são verificados Neossolos Quartzarênicos Órticos, que provavelmente estão ligados aos sedimentos arenosos da erosão das antigas escarpas e vertentes desta formação e relacionados com as formações savânicas. Verifica-se que o morro testemunho sofreu recuo erosivo paralelo de suas vertentes, possivelmente no período de elaboração do que se chamou de Pd2 (Passos e Bigarella, 1998, adaptado de Bigarella e Becker, 1975) (Pontos 59, 60 e 101; ver Apêndice 1).

Figura 15: Perfil localizado na unidade geomorfológica dos Patamares Cuestiformes Orientais da Bacia do Paraná (com exceção do morro testemunho, pertencente aos Planaltos Residuais de Batatais-França). Eixos X e Y em metros.



Fonte: IBGE, Diretoria de Geociências, Coordenação de Meio Ambiente, Gerência de Mapeamento de Recursos Naturais.

A figura mostra as antigas superfícies de aplanamento (pediplanos) nas imediações dos pontos 99 (em Cassia dos Coqueiros, SP) e 100 (em Cajuru, SP) da Expedição de Campo 2 (mais detalhes no Apêndice 1). Nota-se o recuo paralelo da escarpa do morro testemunho sustentado pela Formação Botucatu, durante a construção do Pd2, assim como a dissecação provocada pela fase úmida posterior. O Neossolo Quartzarênico Órtico pode ser considerado a cobertura deposicional deste antigo pediplano (que foi retrabalhado em fases posteriores).

Essa relação entre relevo, solo e vegetação nem sempre é linear e superfícies de aplanamento (pedimentos e pediplanos) podem apresentar outros tipos de solos e vegetação. No entanto, é interessante observar que pedimentos provavelmente mais recentes, de provável idade quaternária, também podem apresentar fitofisionomias de savana, mesmo em Latossolos (Foto 2).

Foto 2: Savana florestada, observada em pedimento (superfície aplainada descampada) localizado em uma ombreira de morro no Ponto 55, no município de Batatais (SP).



Foto: André Souza Pelech, 2023.

Por outro lado, as áreas mais dissecadas apresentaram tendência de relacionamento com as fisionomias florestais. Destaca-se também que os pontos situados nas rupturas de relevo de destaque (escarpas erosivas, *cuestas* e ressaltos proeminentes) apresentam, predominantemente, fisionomias de floresta e, em menor proporção, de contatos. Isto ocorre provavelmente em razão da umidade que esses ambientes declivosos apresentam, seja em razão de efeitos de chuva orográfica ou da presença de arenitos nessas situações, que podem atuar como áreas de recarga de aquíferos, mas também de exfiltração de água (Foto 3).

Nesta área da Foto 3 foi identificado o domínio de Floresta Estacional Semideciual Montana em modelado geomorfológico de alta densidade de drenagem, sugerindo alto grau de dissecação do antigo pedimento e na escarpa arenítica. A única exceção se deu em escarpa no ambiente da Serra da Canastra (Ponto 15, ver Apêndice 1), onde há domínio das formações savânicas, em contexto climático mais seco e mais próximo a área core do bioma Cerrado.

Foto 3: Vale com rampas de alúvio-colúvio (pedimentos) reafeiçoadas pelas drenagens (dissecações) e escarpa em arenito, no Ponto 89, no município de Patrocínio Paulista (SP).



Foto: André Souza Pelech, 2023.

De maneira geral, observa-se que a região geomorfológica dos Planaltos Residuais Cuestiformes da Bacia do Paraná, no trecho localizado entre Franca e Botucatu, é uma área importante para a definição dos limites de biomas. As condições ambientais climáticas, pretéritas e atuais, mostram que os períodos secos favoreceram a expansão do Cerrado e os períodos úmidos, da Mata Atlântica. Deste modo, verifica-se que os pediplanos situados nos topos destes planaltos residuais funcionaram como um corredor que permitiu a expansão do Cerrado para sul. Por outro lado, as *cuestas* associadas a estes planaltos serviram de barreira para a expansão da Mata Atlântica para oeste.

Em relação aos solos, as áreas de Contato vegetacional entre os biomas Cerrado e Mata Atlântica, segundo o mapeamento disponível no BDiA (IBGE, 2023), estão sobre os seguintes solos: Latossolos Vermelhos Acriférricos – LVwf (muito argiloso e argiloso), Latossolos Vermelhos Distroférricos – LVdf (muito argiloso e argiloso), Latossolos Vermelhos Eutroférricos – LVef (muito argiloso e argiloso), Latossolos Vermelhos Distróficos – LVd (argiloso e textura média), Latossolos Vermelho-Amarelos Distróficos – LVAd (textura média), Latossolos Vermelho-Amarelos Ácricos – LVAw (textura média) e Neossolos Quartzarênicos Órticos - RQo (arenoso). Nessa expedição, o domínio florestal ocorreu sobre solos argilosos, muito argilosos e eutróficos (mais férteis).

As classes de solos se originam de processos sobre a rocha e suas características dependem da litologia, através da composição mineralógica, que se expressam sobretudo na composição química, física e granulométrica dos solos. A Figura 16 apresenta o mapa da região com agrupamentos de classes texturais, os quais refletem em características físico-hídricas dos solos, tais como capacidade de percolação, infiltração e armazenamento da água, água disponível (AD), além de atributos químicos como a

capacidade de adsorção de nutrientes (CTC e CTA), reserva mineral e consequente fertilidade natural.

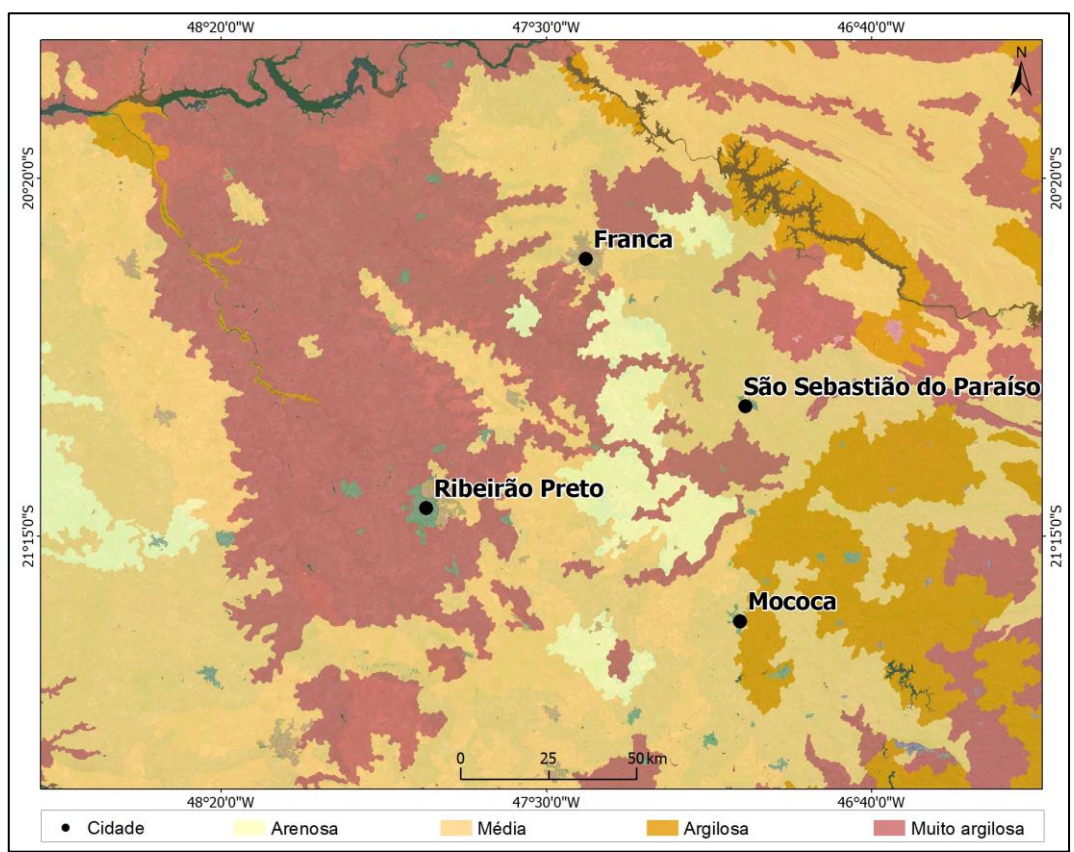


Figura 16. Classes texturais do solo (arenosa, média, argilosa e muito argilosa) na área da expedição de campo 2.

Fonte: IBGE, Diretoria de Geociências, Coordenação de Meio Ambiente, Gerência de Mapeamento de Recursos Naturais.

Nessa figura, observa-se que as classes muito argilosa e argilosa estão disjuntas, separadas por áreas de solos com textura média e arenosa, os quais mostraram, de forma geral, domínio savânico. As análises dos fatores edáficos - composição, tipo, pH, textura, estrutura, densidade, capacidade de retenção de água e drenagem - demonstram a complexidade de se estabelecer um padrão na relação entre solo e vegetação, pois a alteração em um deles pode refletir no domínio da fisionomia vegetal.

Alguns fatores foram checados em campo, como a determinação do grupamento textural e atração magnética, além da realização de tradagem (Figura 17). Em alguns casos houve coleta de amostras para análises laboratoriais de atributos químicos e físicos (descritas no Anexo 1).

Nesta região de estudo, concluiu-se que quanto maior a atração magnética (teor de ferro), teor de argila, fertilidade, CAD dos solos, maior é a tendência de estabelecimento de Floresta. Além disso, algumas unidades do mapeamento de solos apresentaram a ocorrência de uma única vegetação, sugerindo o uso destas como possíveis limites de Bioma. As unidades da Folha SF23 RQo, LVAd (LVAd28), LVAw (LVAw7) apresentaram, de forma geral, o domínio da Savana.

Figura 17: Sequência de tradagem em fragmento florestal próximo a Pedregulho (SP), na unidade de mapeamento SF23-LVdf8* (a, b e c) e determinação de campo do grupamento textural do solo (d). Determinação da suscetibilidade de atração magnética do solo com ímã (e), na unidade de mapeamento SF23-LVwf6 em Ituverava (SP).



*Classe de solo com componentes e inclusões do recorte da Carta Internacional ao Milionésimo SF23. Fonte: IBGE, SES/SC, Gerência de Geografia e Meio Ambiente.

Em síntese, houve uma expressiva alteração nos limites dos Biomas Cerrado e Mata Atlântica na presente área (Figura 18). Aparentemente há um "corredor savânico" no sentido norte-sul compatível com: 1) planaltos residuais; 2) solos de textura arenosa provenientes de uma litologia arenítica e; 3) clima pretérito árido ou semiárido. Embora regionalmente predomine o ambiente vegetacional de Contato, as florestas parecem estar restritas às maiores dissecações do relevo e aos solos mais argilosos.

A ocorrência das Florestas Estacionais, de forma disjunta e consequentemente isolada, não parece fundamentar a presença do Bioma Mata Atlântica nesta região. A análise combinada da litologia, do solo, do relevo e da vegetação – que remetem ao clima pretérito mais seco que o atual – embasou a nova delimitação aqui apresentada com extensão do Bioma Cerrado no Nordeste Paulista.

Na Figura 18 consta o comparativo com as diferenças espacialmente explícitas entre os limites dos biomas Cerrado e Mata Atlântica na edição do Mapa do IBGE (2019) e o ora apresentado nesta publicação (2025).

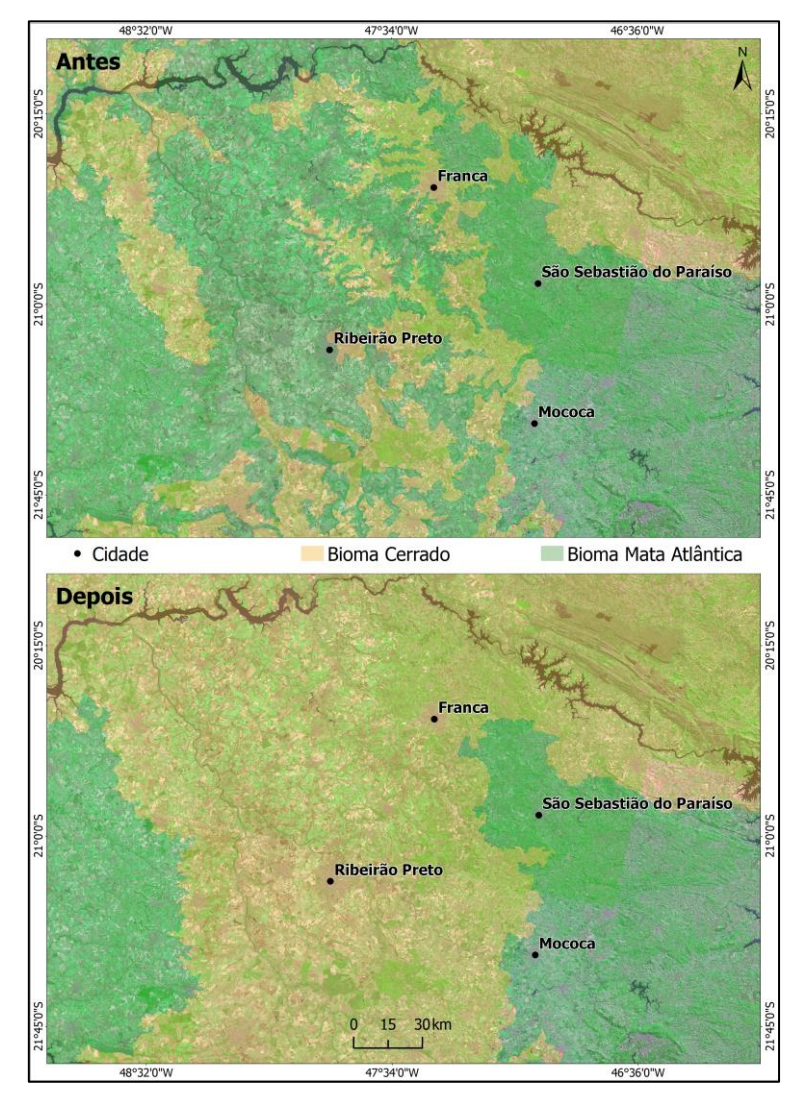


Figura 18: Limite entre os Biomas Cerrado e Mata Atlântica em 2019 (Antes) e 2025 (Depois).

Expedição 3

A expedição de campo 3 abrangeu o centro-leste do Estado de Minas Gerais, na região da Serra do Espinhaço, e entorno. A área verificada pode ser observada pelo caminho percorrido apontado na Figura 19.

A Serra do Espinhaço é dominada pela ocorrência de refúgio ecológico. Uma das motivações para a expedição foi a averiguação do tipo de vegetação dominante nas seguintes unidades de conservação: Área de Proteção Ambiental (APA) Morro da Pedreira (à nordeste da cidade de Belo Horizonte) e Parque Nacional (PARNA) das Sempre-Vivas (à noroeste da cidade de Diamantina). Ao todo, foram levantados 36 pontos (Figura 20). A descrição de cada um desses pontos consta no Apêndice 1.

Suppose

Sup

Figura 19: Área e caminho percorrido na expedição de campo 3.

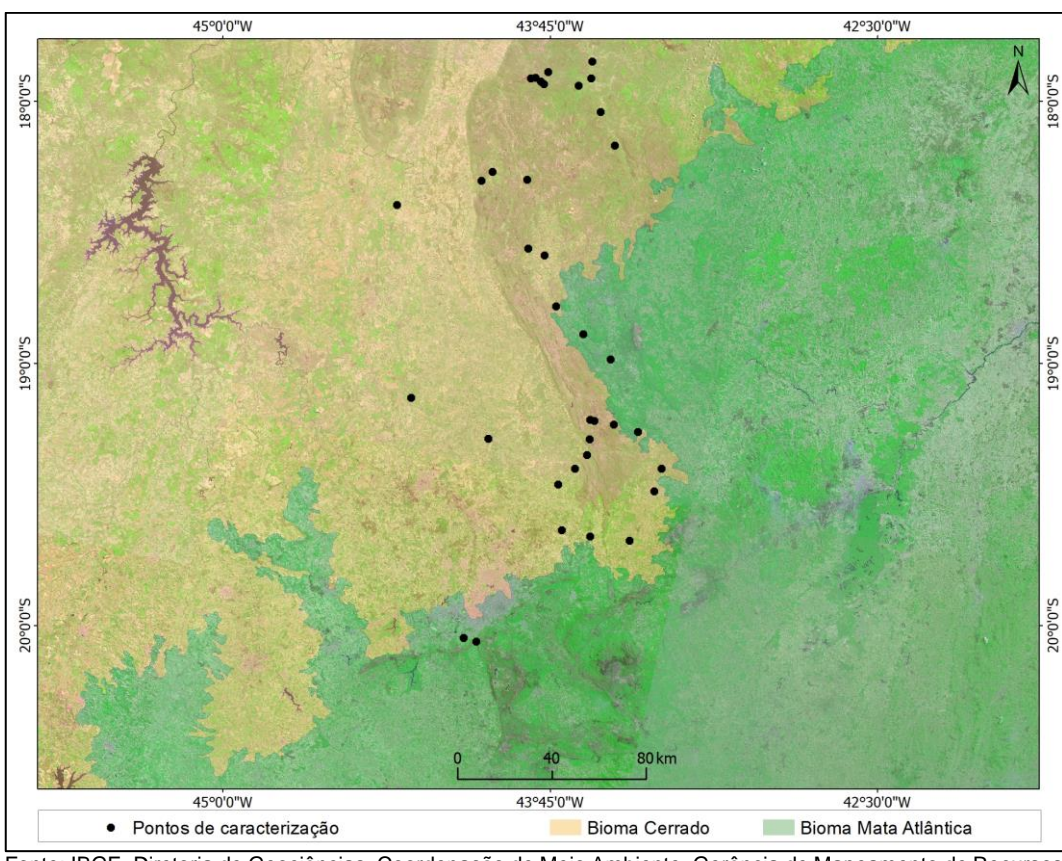


Figura 20: Distribuição dos pontos levantados na expedição de campo 3.

Fonte: IBGE, Diretoria de Geociências, Coordenação de Meio Ambiente, Gerência de Mapeamento de Recursos Naturais.

A partir das considerações e reflexões sobre as áreas naturais dessa região, buscou-se estabelecer uma associação entre algumas características abióticas e o ambiente vegetacional, com o intuito de verificar a delimitação dos Biomas na escala de 1:250 000. A Tabela 4 apresenta um resumo da potencial associação entre as variáveis: modelados, atração magnética e textura dos solos e altitude, com relação ao ambiente vegetacional.

Tabela 4: Frequência e percentual das características abióticas segundo o ambiente vegetacional identificado em campo, dos pontos em que foi possível essa caracterização na expedição 3.

Características abióticas	Ambiente vegetacional					
	Florestal	Savânico	Contato	Refúgio		
Modelado						
Aplanamento e baixa dissecação	1 (3%)	4 (11%)	1 (3%)	6 (17%)		
Média a forte dissecação	8 (22%)	7 (19%)	1 (3%)	4 (11%)	26	
Planície	-	-	1 (3%)	1-	36	
Rampa	-	1 (3%)	1 (3%)	1 (3%)		
Atração magnética						
Fraca		-	-	-		
Forte	-	-	-		-	
Textura						
Muito argilosa	-	-	-	-		
Argilosa	1 (4%)	2 (7%)	1 (4%)	1 (4%)		
Média	7 (25%)	6 (21%)	1 (4%)	3 (11%)	28	
Siltosa	-	-	-	-		
Arenosa	-1	1 (4%)	1 (4%)	5 (18%)		
Litologia						
Arenito	2 (7%)	7 (26%)	3 (11%)	7 (26%)	27	
Basalto	5 (19%)	3 (11%)	-	-	27	
Altitude (m)						
Até 800	6 (17%)	6 (17%)	1 (3%)	-		
801 a 1000	3 (8%)	2 (6%)	2 (6%)	2 (6%)	00	
1001 a 1200	-	3 (8%)	1 (3%)	1 (3%)	36	
1201 e mais	-	1 (3%)	-	8 (22%)		

Fonte: IBGE, Diretoria de Geociências, Coordenação de Meio Ambiente, Gerência de Mapeamento de Recursos Naturais.

De maneira geral, o ambiente florestal está associado às áreas mais dissecadas, sobre uma litologia basáltica, porém a textura dos solos predominantes é a média. Essa região recebe grande umidade até a Serra do Espinhaço, que atua como uma barreira orográfica. Sendo uma área com relevo bastante movimentado, as savanas observadas também foram verificadas em áreas dissecadas. Os refúgios, em sua maioria, foram encontrados em áreas acima de 800 metros de altitude.

A área de Contato vegetacional, situada a partir do limite sul da Serra do Espinhaço, foi reinterpretada nesta pesquisa como pertencente ao bioma Mata Atlântica, pois se observou domínio da floresta. Esta área inclui porções dos municípios mineiros de Taquaraçu de Minas, Nova União, Caeté, Bom Jesus do Amparo, Barão de Cocais, São Gonçalo do Rio Abaixo, Itabira, Itambé do Mato Dentro, Santa Maria de Itabira, São Sebastião do Rio Preto e Morro do Pilar.

Trata-se de terrenos com características geomorfológicas associadas a um ambiente florestal. Nota-se que a Serra do Espinhaço – feição montanhosa de relevo com

altitudes superiores a 1400m neste trecho – atua como uma barreira orográfica para a umidade proveniente do litoral, sendo reconhecido um padrão climático mais úmido do lado leste da serra, quando comparado ao seu lado oeste (na região geomorfológica da Depressão do Alto-Médio Rio São Francisco), com padrão mais seco.

O lado mais úmido, localizado na unidade geomorfológica Planalto da Zona Metalúrgica Mineira e nas bordas da unidade Serras do Espinhaço Meridional, apresenta um padrão de forma de relevo associado aos "mares de morros", isto é, feições de relevo não muito proeminentes, composta por morros e colinas de topos convexos bem dissecados, com forte densidade de drenagem (Foto 4).

Foto 4: Relevo colinoso em modelado de dissecação de topo convexo (Dc52), onde se observa aspecto de "mar de morros" com topos florestados em Itabira (MG) (Ponto 129).



Foto: André Souza Pelech, 2024.

Este relevo homogêneo de "mares de morros" estabelece-se predominantemente sobre o Complexo Belo Horizonte (a Formação Belo Horizonte), que é constituído por ortognaisses, migmatitos e granitoides. Os altos índices pluviométricos das bordas das Serras do Espinhaço Meridional favorecem um intemperismo químico intenso destas rochas, resultando, em geral, em solos mais profundos.

Nessa região destacam-se os Argissolos Vermelho-Amarelos (PVAd) de textura média/argilosa, Argissolos Vermelhos (PVe) de textura média/argilosa e argilosa, Cambissolos Háplicos (CXbd) de textura média e argilosa. Nas áreas de relevo montanhoso ocorrem Neossolos Litólicos (RLe) siltosos e de textura média. Já em superfícies menos dissecadas e de maior altitude, no sopé da Serra do Espinhaço, ocorrem solos muito profundos como os Latossolos Vermelhos (LVd) argilosos associados a solos menos profundos como os Cambissolos Háplicos (CXbd) e Argissolos Vermelhos (PVe), também argilosos.

A combinação de fatores do meio físico, como solos predominantemente argilosos com alta capacidade de armazenamento de água e a constante umidade promovida pela variação do relevo, propicia condições favoráveis para o estabelecimento de vegetação florestal ao sul e a leste da borda da Serra do Espinhaço Meridional.

Há um destaque nesta região para a APA Morro da Pedreira, local representativo dos limites sul e leste da Serra do Espinhaço Meridional. Esta APA é uma unidade de

conservação federal com muitos fragmentos de vegetação nativa preservados. Há florestas, savanas e refúgios ecológicos, além da mistura florística entre estas fitofisionomias. Neste ambiente diverso e heterogêneo, na presente publicação estão sendo apresentadas alterações consideráveis nos limites dos Biomas. A Mata Atlântica passou a ocupar as bordas leste, sudeste e sul da APA Morro da Pedreira (Figura 21).

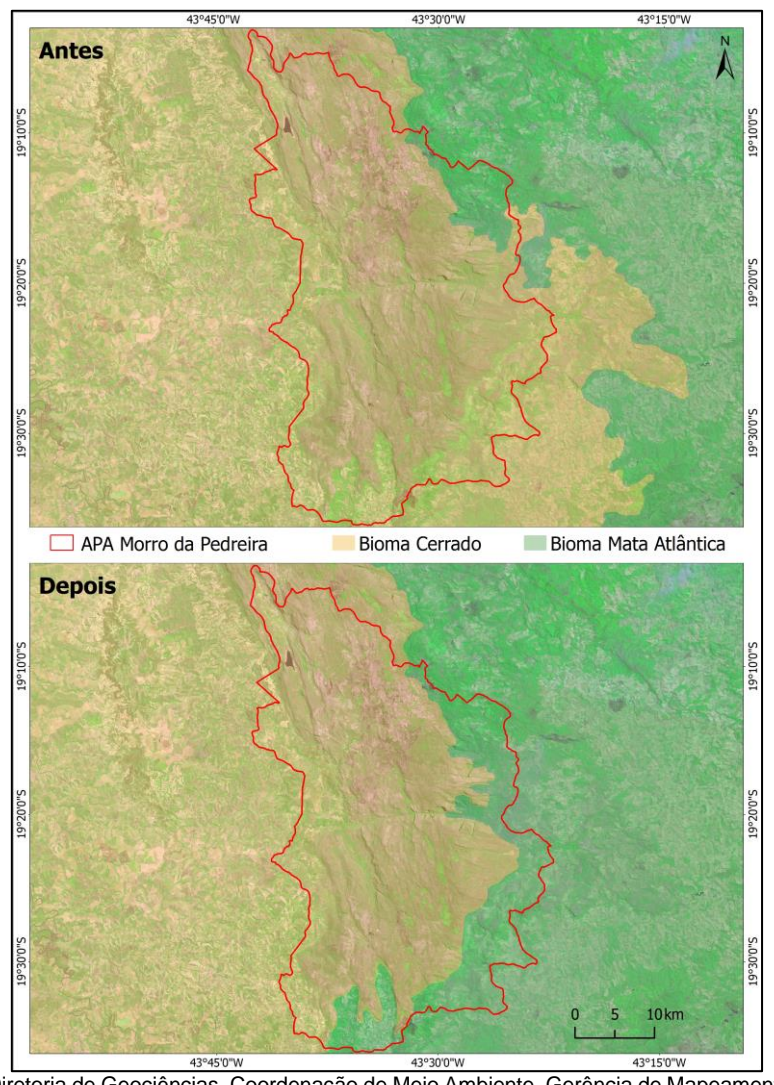


Figura 21: Área de Proteção Ambiental (APA) Morro da Pedreira, no contexto dos limites dos Biomas em 2019 (antes) e 2025 (depois).

Fonte: IBGE, Diretoria de Geociências, Coordenação de Meio Ambiente, Gerência de Mapeamento de Recursos Naturais.

A outra Unidade de Conservação visitada em campo nesta expedição foi o Parque Nacional das Sempre-Vivas, que teve alterações na interpretação de fitofisionomias do mapeamento temático de Vegetação do IBGE, porém permaneceu totalmente inserido no Bioma Cerrado.

Essas áreas do PARNA das Sempre Vivas, e outras situações de topo de montanhas, foram interpretadas como domínios do Sistema dos Refúgios Vegetacionais

(Comunidades Relíquias). Constituem ambientes distintos, de vegetação diferenciada nos aspectos florístico e fisionômico-ecológico da flora dominante na região, compondo uma "vegetação relíquia", com espécies endêmicas, que persiste em situações especialíssimas, sendo condicionada por parâmetros ambientais muito específicos, e apresenta, geralmente, alta sensibilidade a qualquer tipo de intervenção (IBGE, 2012).

Na Serra do Espinhaço, esse sistema foi observado em altitudes superiores a 1000m, sobre solos litólicos e com fisionomia campestre (Foto 5). Mesmo com diferente da vegetação do seu entorno, essas comunidades, de acordo com as premissas e critérios dos Biomas de representatividade, de mapeabilidade e de continuidade, conforme descritos por IBGE (2019), foram consideradas pertencente ao Bioma Cerrado.

Foto 5: Refúgio montano herbáceo situado sobre morros quartzítcos e rampas suaves arenosas, no Parque Nacional das Sempre Vivas, em Bocaiúva, MG (Ponto 147).



Foto: André Souza Pelech, 2024.

Expedição 4

Na expedição de campo 4, percorreu-se o centro-leste do Estado de São Paulo, especificamente na região conhecida como Noroeste Paulista. A área verificada pode ser observada pelo caminho percorrido apontado na Figura 22.

Foram caracterizados 50 pontos de campo (Figura 23), quanto aos aspectos vegetacionais, geológicos, geomorfológicos e pedológicos. A breve descrição de cada um desses pontos consta no Apêndice 1.

São José do Rio Preto

São José do Rio Preto

Ribeirão Preto

São José do Rio Preto

Ribeirão Preto

São José do Rio Preto

São José do R

Figura 22: Área e caminho percorrido na expedição de campo 4.

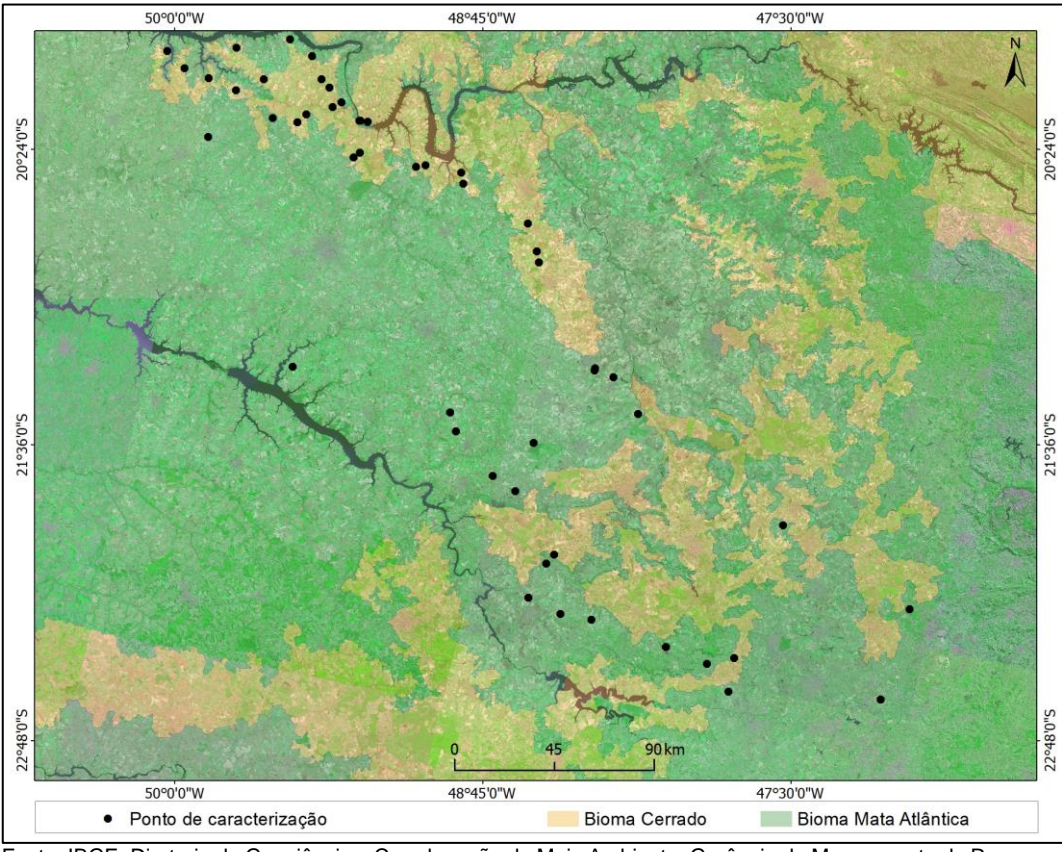


Figura 23: Distribuição dos pontos levantados na expedição de campo 4.

Fonte: IBGE, Diretoria de Geociências, Coordenação de Meio Ambiente, Gerência de Mapeamento de Recursos Naturais.

A partir das considerações e reflexões sobre as áreas naturais desta região, buscouse estabelecer uma associação entre algumas características abióticas e o ambiente vegetacional com o intuito de avaliar a delimitação dos Biomas na escala de 1:250 000. A Tabela 5 apresenta um resumo da potencial associação entre as variáveis: modelados, atração magnética, textura dos solos, litologia e altitude, com relação ao ambiente vegetacional.

Tabela 5: Frequência e percentual das características abióticas segundo o ambiente vegetacional identificado em campo, dos pontos em que foi possível essa caracterização na expedição 4.

Características abióticas	Ambiente vegetacional					
	Florestal	Savânico	Contato	Refúgio		
Modelado						
Aplanamento e baixa dissecação	11 (22%)	10 (20%)	3 (6%)	-		
Média a forte dissecação	12 (24%)	6 (12%)	6 (12%)	-	EO	
Planície	2 (4%)	-	-		50	
Rampa	-	-	-	-		
Atração magnética						
Fraca	1 (17%)	1 (17%)	-	-	0	
Forte	3 (50%)	1 (17%)	-	-	6	
Textura						
Muito argilosa	1 (2%)	-	-	-		
Argilosa	5 (10%)	2 (4%)	(8)			
Média	15 (30%)	13 (26%)	6 (12%)	-	50	
Siltosa	-	2	-	-		
Arenosa	4 (8%)	1 (2%)	3 (6%)	-		
Litologia						
Arenito	1 (33%)	4	2 (66%)	-	0	
Basalto	-	-	-	-	3	
Altitude (m)						
até 600	21 (42%)	13 (26%)	5 (10%)	-		
601 a 800	3 (6%)	3 (6%)	4 (8%)	-	50	
801 e mais	1 (2%)	-	170	-		

Fonte: IBGE, Diretoria de Geociências, Coordenação de Meio Ambiente, Gerência de Mapeamento de Recursos Naturais.

As Savanas foram mais observadas nos pontos que estavam em modelados de aplanamento e baixa dissecação, em solos com textura média e em altitudes inferiores a 600 metros. Já as florestas apresentaram ocorrência em modelados mais dissecados e em solos com forte atração magnética.

As observações dos pontos visitados demonstraram a complexidade quanto a dominância de um ou outro tipo de vegetação. De forma geral, a área tem um domínio do porte arbóreo, mesmo nas áreas savânicas. A fisionomia predominante encontrada foi a Savana Florestada (semelhante, fisionomicamente, a Florestas Estacionais, apenas diferindo destas na sua composição florística).

Do ponto de vista geomorfológico, a área percorrida nesta expedição abrange três diferentes regiões geomorfológicas, de leste a oeste, nesta ordem: a Depressão Periférica Paulista; os Planaltos Residuais Cuestiformes da Bacia do Rio Paraná; e o Planalto do Rio Paraná. Como visto na Expedição de campo 2, os Planaltos Residuais Cuestiformes da Bacia do Rio Paraná atuaram e atuam como uma espécie de corredor para a expansão de fitofisionomias savânicas, o que é confirmado também nesta expedição, nas imediações dos municípios paulistas de São Carlos e Dois Córregos.

Foi possível verificar o limite oeste deste corredor do Cerrado, já na região do Planalto do Rio Paraná. O término do domínio do Cerrado e o início do domínio florestal responde, de maneira geral, ao aumento da dissecação do relevo (modelados de média e alta dissecação). Próximo ao rio Grande, nas imediações das cidades paulistas de Orindiúva, Pontes Gestal, Riolândia e Mira Estrela, observa-se que os novos limites dos biomas consideram uma área com maior dissecação de Pontes Gestal para oeste, e menor dissecação desta cidade para leste (Figura 24).

50°0'0"W 49°40'0"W 49°20'0"W Dc2 Pedranopolis 20°20'0"S Meridiano 1 Cidade Ponto de caracterização Limite de biomas ormas Lineares borda de estrutura circula ressalto vale ou sulco estrutura Unidades Geomorfológ Planícies e Terraços Fluviais Superficie Interdenudacional Centra Vales e Pedimentos dos Baixos Cursos das Sub-bacias do Paranaíba - Grande Planalto Rebaixado do Rio Tieti 25 km 12,5 Corpo d'água continental 49°40'0"W 49°20'0"W

Figura 24: Mapeamento Geomorfológico do IBGE e novo limite entre os biomas Mata Atlântica e Cerrado nos arredores de Pontes Gestal (SP).

Fonte: IBGE, Diretoria de Geociências, Coordenação de Meio Ambiente, Gerência de Mapeamento de Recursos Naturais.

Nos arredores das cidades paulistas de Taquaritinga e Matão, estas relações são ainda mais evidentes. O limite entre biomas segue quase coincidentemente as linhas de escarpas erosivas e ressaltos que dividem a unidade geomorfológica do Planalto Rebaixado do Rio Tietê, a oeste, onde há predomínio de relevo dissecado (com domínio florestal), e as unidades Planalto Residual de São Carlos e Planalto do Rio Grande, a leste, onde localmente se verifica relevo menos dissecado, com domínio da savana (Figura 25).

Quanto a relação entre solos e vegetação, as observações de campo indicaram que a Floresta Estacional Semidecidual ocorre preferencialmente em Argissolos Vermelhos Eutróficos (PVe) e Latossolos Vermelhos Eutroférricos (LVef) (Foto 6). Por outro lado, solos de textura média e superficialmente arenosa, como os Latossolos Vermelho-Amarelos Distróficos (LVAd), os Argissolos Vermelho-Amarelos Distróficos (PVAd) e os

Latossolos com caráter ácrico (LVw e LVWf) presentes na área, demonstraram maior associação com vegetação de contato e formações savânicas, reforçando a relação entre baixa fertilidade natural e a predominância de espécies adaptadas a condições edáficas mais limitantes.

Destaca-se, nas proximidades da cidade de Fronteira (MG), uma associação direta entre as savanas e os Latossolos Vermelhos distróficos de textura média (Foto 7; Figura 26 - área hachurada em vermelho). Neste caso, as savanas não parecem avançar para as formas geomorfológicas mais dissecadas.

49°0'0"W 48°40'0"W 48°20'0"W 48°0'0"W Jaboticabal Ponto de caracterização Limite de biomas escarpa erosi Américo Brasiliens ressalto vale ou sulco estrutural Unidades Geomorfológicas Planicies e Terraços Flu Planalto Residual de Brotas-Itirapi Planalto do Rio Grande Planalto Residual de Ribeirão Preto Planalto Residual de São Carlos Planalto Rebaixado do Rio Tiete 12.5 25 km Corpo d'àgua continental 9431

Figura 25: Mapeamento Geomorfológico do IBGE e novo limite entre os biomas Mata Atlântica e Cerrado nos arredores de Matão, SP.

Fontes: IBGE, 2023. Banco de Dados de Informações Ambientais; IBGE, Diretoria de Geociências, Coordenação de Meio Ambiente, Gerência de Mapeamento de Recursos Naturais.

Foto 6: Fragmento de Floresta Estacional Semidecidual em Argissolo Vermelho Eutrófico, situado em modelado de dissecação de média densidade de drenagem (Dc31), em Matão (SP) (Ponto 165).



Foto: André Souza Pelech, 2024.

Foto 7: Fragmento de Savana Florestada ("Cerradão") em Latossolo Vermelho Distrófico, situado em modelado de dissecação de topo tabular e densidade de drenagem muito baixa (Dt11), em Barretos (SP) (Ponto 192).



Foto: André Souza Pelech, 2024.

Sonorw

49°360°W

49°360°W

49°120°W

Pontes Gestal

Pronteira

Sao Paulo

Votuporanga

10 20 km

49°120°W

49°120°W

49°120°W

49°120°W

50°00°W

49°120°W

49°120°W

50°00°W

49°120°W

50°00°W

49°120°W

50°00°W

49°120°W

50°00°W

50°W

5

Figura 26: Latossolo Vermelho Distrófico, com textura média, em relevo aplanado, no contexto dos limites dos Biomas.

Ressalta-se o porte florestal da vegetação na região, percebido mesmo em ambiente savânico. Para exemplificar, dos 50 pontos levantados, 54% eram de Floresta Estacionais e 40% eram Savanas Florestadas. Neste caso, além dos pontos de caracterização, as observações ao longo do percurso também contribuíram para a alteração ora apresentada dos limites entre os Biomas Cerrado e Mata Atlântica (Figura 27).

SOURCE

Figura 27: Comparação entre o limite entre os Biomas Cerrado e Mata Atlântica em IBGE, 2019 (antes) e aqui elucidada (depois).

Expedição 5

A expedição de campo 5 abrangeu o centro-leste do Estado de Minas Gerais, em áreas do Quadrilátero Ferrífero, da Serra do Espinhaço e da Depressão do São Francisco. A área verificada pode ser observada pelo caminho percorrido apontado na Figura 26.

Songest

Son

Figura 28: Área e caminho percorrido na expedição de campo 5.

Foram caracterizados 27 pontos de campo (Figura 29), quanto aos aspectos vegetacionais, geológicos, geomorfológicos e pedológicos. A descrição suscinta de cada um desses pontos consta no Apêndice 1.

45°00°W 43°45′0°W 42°30°W

S0.05681

S0.0568

Figura 29: Distribuição dos pontos levantados na expedição de campo 5.

A partir das considerações e reflexões sobre as áreas naturais, buscou-se estabelecer uma associação entre algumas características abióticas e o ambiente vegetacional com o intuito de verificar a delimitação dos Biomas na escala de 1:250 000. A Tabela 6 apresenta um resumo da possível associação entre as variáveis: modelados, atração magnética, textura dos solos, litologia e altitude, com relação ao ambiente vegetacional.

Tabela 6: Frequência e percentual das características abióticas segundo o ambiente vegetacional identificado em campo, dos pontos em que foi possível essa caracterização na expedição 5.

Características abióticas	Ambiente vegetacional				
	Florestal	Savânico	Contato	Refúgio	
Modelado					
Aplanamento e baixa dissecação	1 (4%)	4 (15%)	1 (4%)	2 (7%)	
Média a forte dissecação	7 (26%)	5 (19%)	1 (4%)	3 (11%)	27
Planície	1 (4%)	-	-	-	27
Rampa	_	2 (7%)	_	-	
Atração magnética					
Fraca	5	=	-	-	2
Forte	2 (100%)	<u>=</u>	_	-	2
Textura					
Muito argilosa	-	2	1 (5%)	Н	
Argilosa	4 (18%)	1 (5%)	-	-	
Média	4 (18%)	6 (27%)	1 (5%)	2 (9%)	22
Siltosa	21	1 (5%)	_	-	
Arenosa	1 (5%)	1 (5%)	(10)	-	
Litologia					
Arenito	1 (17%)	4 (67%)	_	-	C
Basalto	1 (17%)	-	-	-	6
Altitude (m)					
até 600	3 (11%)	4 (15%)	1 (4%)	-	
601 a 800	4 (15%)	1 (4%)	-	-	27
801 a 1000	2 (7%)	3 (11%)	1 (4%)	2 (7%)	27
1001 e mais	-	3 (11%)	-	3 (11%)	

De maneira geral, constatou-se que as florestas ocupam as áreas mais dissecadas e menos elevadas, enquanto os Refúgios Vegetacionais se concentram nas altitudes mais elevadas da paisagem (notadamente acima dos 1000 metros). Além disso, os refúgios parecem estar associados aos Neossolos Litólicos (Foto 8).

Foto 8: Área de Savana Gramíneo-Lenhosa e Refúgio Montano Arbustivo em neossolos litólicos e afloramentos de quartzito, situado no relevo montanhoso da Serra do Espinhaço Meridional, no Parque Estadual do Biribiri, em Diamantina, MG (Ponto 219)



Foto: André Souza Pelech, 2025.

Entre as cidades mineiras de Serro e Gouveia, a ocorrência do Neossolo Litólico Distrófico coincidiu com as áreas ocupadas pelos Refúgios Vegetacionais (Figura 30 - área hachura em vermelho). Nessa região, da Serra do Espinhaço, o domínio dos Refúgios Vegetacionais estava preferencialmente sobre os Neossolos Litólicos ou sobre os afloramentos rochosos. Essa constatação embasou a alteração dos limites dos biomas nesta região. Neste caso, os refúgios foram incorporados ao Bioma Cerrado.

Sanges Serro

Science Serro

Science

Figura 30: Neossolo Litólico Distrófico no contexto dos limites dos Biomas.

No entorno da Região Metropolitan de Belo Horizonte, muitos fatores abióticos auxiliaram na delimitação dos Biomas Cerrado e Mata Atlântica. O exemplo em destaque (Figura 31 - área hachurada em vermelho) é o compartimento do relevo. Neste caso, foram os Patamares de Belo Horizonte que subsidiaram a expansão do Bioma Mata Atlântica para o noroeste da capital do Estado de Minas Gerais (Belo Horizonte).

O Patamar de Belo Horizonte, que está entre o Planalto e a Depressão, recebe umidade predominantemente do sentido sudeste-noroeste. Embora haja um impedimento físico, causado pela Serra do Curral, nas proximidades de Belo Horizonte, a precipitação pluviométrica média anual não é irrelevante. Ela varia entre 1400 e 1600mm, sendo consideravelmente superior à precipitação pluviométrica da Depressão (em torno de 1300mm).

Soccess

Ribeirão das Neves

Pequi

Florestal

Belo Horizonte

44°35'0'W

44°35'0'W

Cidade Patamares de Belo Horizonte

Rio Parapoeba

Bioma Mata Atlântica

Bioma Cerrado

Figura 31: Patamares de Belo Horizonte no contexto dos limites dos Biomas.

Existe uma diferença na quantidade de chuvas do Patamar em relação à Depressão, refletindo em duas áreas distintas de distribuição pluviométrica ao longo do ano. No Patamar de Belo Horizonte, a quantidade de meses secos geralmente não ultrapassa cinco e, em boa parte deste, não passa de quatro meses. Por outro lado, na Depressão, esse valor sobe para seis meses secos (Figura 32).

Ribeirão das Neves

Florestal

Belo Horizonte

43°45'0"W

43°45'0"W

43°45'0"W

43°45'0"W

43°45'0"W

A3°45'0"W

A3°45'0"W

Belo Horizonte

Bioma Mata Atlântica

Bioma Cerrado

Figura 32: Patamares de Belo Horizonte e número de meses secos (linha branca) no contexto dos limites dos Biomas.

De maneira geral, a maior umidade do Patamar de Belo Horizonte, em relação à depressão, refletiu ali um domínio florestal regional. Embora esse domínio esteja em ambiente de mistura florística (Contato), a maior umidade e o porte predominantemente arbóreo foram os principais critérios que subsidiaram a mudança nos limites dos biomas nessa área (Foto 9). Conforme afirmado, a Mata Atlântica estendeu-se para o noroeste de Belo Horizonte (MG), orientada pela área de até quatro meses secos. Neste caso, seu novo alcance foi traçado da seguinte maneira: 1) o limite da Mata Atlântica foi orientado pela configuração do Patamar de Belo Horizonte e; 2) realizou-se uma convergência destes limites à noroeste e à leste do Patamar, através dos limites dos quatro meses secos (Figura 32).

Assim, constatou-se que o vale do rio Paraopeba, que flui para noroeste, representa um patamar inferior (rebaixado), com altitudes, em geral, menores que 800 m, atuando como um corredor de clima mais seco. A oeste (entre as cidades mineiras de Florestal e Pequi) e a leste (imediações das cidades de Ribeirão das Neves e Capim Branco) do vale do rio Paraopeba, há patamares superiores (em geral, acima dos 800 m) onde predomina um clima de caráter mais úmido.

Infere-se que o vale do rio Paraopeba (um patamar rebaixado) conecta-se com as áreas da unidade Depressão do Alto São Francisco, a norte, sem significativas rupturas de relevo. Isto permitiu que, nos períodos de clima seco (das glaciações quaternárias), a savana tenha se expandido com mais facilidade neste vale. Assim, as bordas do vale do

rio Paraopeba – que fazem limite com os patamares superiores desta unidade geomorfológica – são vertentes de caráter íngreme que, muito provavelmente, recuam paralelamente nesses períodos de climas seco.

Foto 9: Área de Contato com domínio florestal em latossolos vermelhos, na unidade geomorfológica Patamar de Belo Horizonte, em Esmeraldas (MG) (Ponto 227).



Foto: André Souza Pelech, 2025.

Assim, tendo por orientação o Patamar de Belo Horizonte e os meses secos, o limite entre os biomas Mata Atlântica e Cerrado nessa região foi revisado por reinterpretação, com maior detalhe, pelos critérios geomorfológicos. A Serra de Santa Helena, que está sob domínio da Floresta Estacional Semidecidual, por continuidade, também passa a fazer parte desse novo limite. A Figura 33 apresenta o mapeamento do IBGE de 2019 (indicado por 'antes') e de como foram delineados na presente revisão de 2025 (indicado por 'depois'). Ressalta-se que a área alterada na Expedição de campo 3 também está contemplada nessa figura.

44°0'0"W 45°25'0"W Antes Três Marias •Diamantina Governador Valadares Belo Horizonte Ouro Preto Cidade Bioma Cerrado Bioma Mata Atlântica **Depois** Três Marias Diamantina •Belo Horizonte Ouro Preto

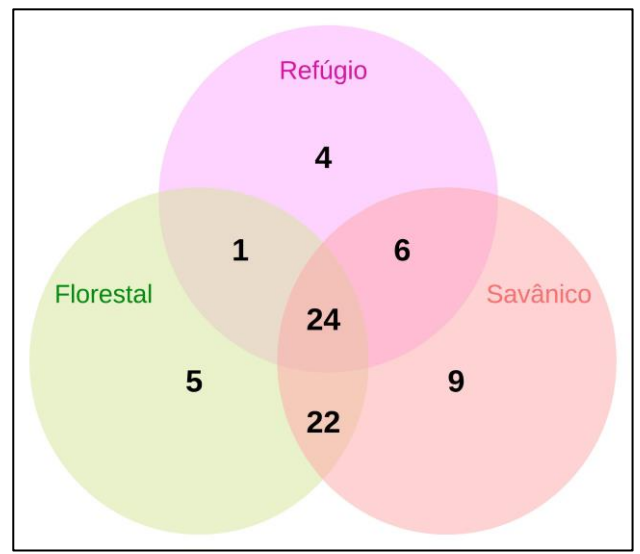
Figura 33: Limite entre os Biomas Cerrado e Mata Atlântica em IBGE, 2019 (antes) e 2025 (depois).

Relação entre florística e ambiente vegetacional

Nas expedições de campo 2, 4 e 5 houve coletas de material botânico, com o intuito de auxiliar na caracterização do tipo de vegetação. Foram identificadas 289 espécies vegetais pertencentes à 71 famílias botânicas. A distribuição de toda essa florística correlaciona-se com os ambientes vegetacionais avaliados, quais sejam: florestal, savânico, refúgio e contato (em que há uma mistura entre os demais ambientes). Na Figura 34, é possível visualizar a referida associação em nível de famílias botânicas.

Como visto na Figura 34, mais de três quartos das famílias botânicas ocorrem em mais de um ambiente. São os chamados contatos vegetacionais, em que há um compartilhamento florístico entre diferentes ambientes. Esse achado, de certa maneira, evidencia a transição entre os biomas Cerrado e Mata Atlântica e demonstra a importância dos refúgios vegetacionais para o mapeamento temático e para a conservação ambiental como um todo.

Figura 34: Número de famílias botânicas por ambiente vegetacional.



Embora a predominância transicional seja uma característica de todas as áreas avaliadas, identificaram-se 18 famílias botânicas restritas aos ambientes florestal, savânico e refúgio. São basicamente 5 famílias categorizadas como florestais, 9 como savânicas e 4 como de refúgio.

No ambiente florestal, as espécies mais frequentes foram: Cariniana legalis (Mart.) Kuntze; Cedrela fissilis Vell.; Guarea guidonia (L.) Sleumer e Trema micranthum (L.) Blume. Nas savanas, ocorreram maiormente: Cordia sellowiana Cham.; Curatella americana L.; Erythroxylum tortuosum Mart.; Ouratea castaneifolia (DC.) Engl. e Pouteria ramiflora (Mart.) Radlk. Já nos refúgios vegetacionais, com uma ocorrência mais restrita, destacou-se a seguinte espécie endêmica: Physocalyx major Mart.

As informações florísticas catalogadas, com a identificação de um relativo endemismo ambiental, colaboraram na caracterização dos limites dos biomas em averiguação na presente publicação. Essas informações, quando associadas aos fatores abióticos levantados (geologia, geomorfologia, pedologia e clima), atribuem maior fidedignidade ao novo mapeamento ora produzido.

Resultados

Alterações nos limites

Conforme detalhado na sessão anterior da presente publicação, nas expedições de campo, os limites entre os Biomas Cerrado e Mata Atlântica foram alterados entre os Estados de Minas Gerais e São Paulo. A maior parte dessas alterações ocorreu em áreas de Contato vegetacional entre as Florestas Estacionais e as Savanas.

No contexto nacional, as mudanças não foram expressivas em termos de área total alterada dos biomas em questão. Entre as edições do Mapa de Biomas apresentado pelo IBGE em 2019 e agora em 2025, houve um acréscimo de 1,8% no Bioma Cerrado e uma redução de 1,0% no Bioma Mata Atlântica. Na Figura 35, consta a diferença relativa entre as áreas nos referidos Biomas.

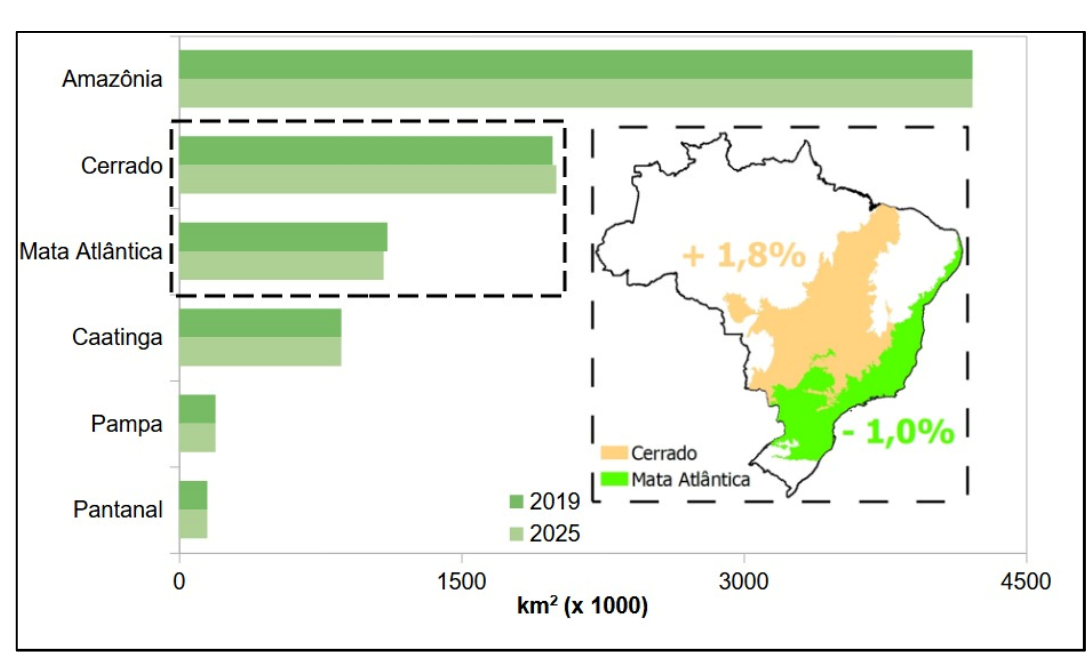


Figura 35: Área dos Biomas do Brasil, destacando variações percentuais do Cerrado e da Mata Atlântica.

Fonte: IBGE, Diretoria de Geociências, Coordenação de Meio Ambiente, Gerência de Mapeamento de Recursos Naturais.

A área em que houve alteração dos limites representou aproximadamente 19.869 km² do território brasileiro (Tabela 7). Neste caso, destacam-se as variações ocorridas nos Biomas em estudo, quais sejam: Cerrado e Mata Atlântica. Entre 2019 e 2025, a Amazônia, a Caatinga, o Pampa e o Pantanal permaneceram com a mesma área. Isso ocorreu, exclusivamente, em função de não estarem no escopo analítico da presente publicação.

Tabela 7: Área dos biomas brasileiros e as suas variações segundo os limites publicados no ano de 2019 e a presente revisão de 2025.

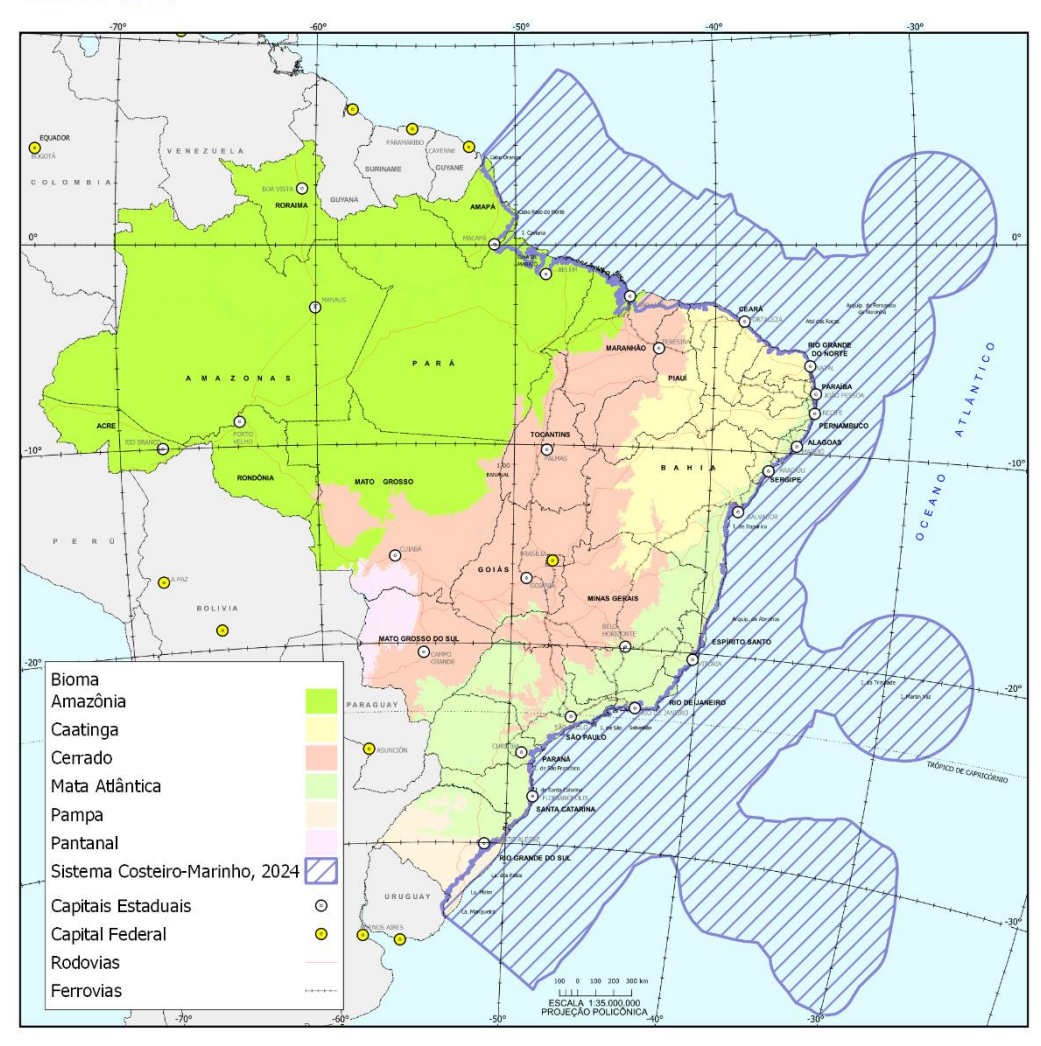
Bioma -	2019	2019 2025	
		Área (km²)	
Amazônia	4215433	4215433	0
Caatinga	862640	862640	0
Cerrado	1984554	2004423	19869
Mata Atlântica	1106846	1086977	-19869
Pampa	193947	193947	0
Pantanal	150961	150961	0

Mapa dos Biomas e Sistema Costeiro-Marinho do Brasil, compatível com a escala 1:250 000, primeira revisão

O resultado da presente revisão é oriundo de: a) análise integrada de especialistas em clima, geologia, geomorfologia, pedologia e vegetação, e; b) expedições de campo em áreas especificamente demandadas/questionadas por organizações da sociedade civil brasileira e por instituições de governo da esfera ambiental. A partir de fundamentos teóricos e práticos, detalhadamente explicitados ao longo desta nota metodológica, delimitou-se um novo limite dos Biomas com as revisões em trechos entre o Cerrado e a Mata Atlântica (Figura 36).

Figura 36: Biomas e Sistema-Marinho do Brasil, compatível com a escala 1:250 000, com alterações nos limites dos Biomas.





Considerações finais

A análise conjunta dos fatores ambientais (bióticos e abióticos) foi fundamental para a delimitação mais fidedigna dos Biomas Cerrado e Mata Atlântica. Esta constatação foi evidenciada nas áreas em que o processo de antropização é um dos mais antigos do Brasil, restando pouquíssimos remanescentes vegetais preservados. Assim, é premente o fortalecimento da integração entre as diferentes equipes técnicas do IBGE na elaboração de informações como as contidas na presente publicação.

Ao longo de três anos, além da pesquisa em escritório, foram realizadas cinco expedições de campo nos Estados de Minas Gerais e de São Paulo, tendo sido percorridos mais de 15 mil quilômetros. Informações sobre Geologia, Geomorfologia, Pedologia e Vegetação estão reunidas em 230 pontos de campo. Além disso, foram identificadas 71 famílias botânicas, representadas por 289 espécies, algumas delas coletadas e incorporadas ao Herbário IBGE, em Brasília. Trata-se de grande esforço institucional visando a delimitação dos biomas brasileiros.

As alterações incorporadas no limite entre os Biomas Cerrado e Mata Atlântica referem-se à primeira revisão da publicação intitulada: "Biomas e Sistema Costeiro-Marinho do Brasil: compatível com a escala 1:250 000" (IBGE, 2019). Outras revisões poderão ser realizadas, à medida em que se amplie o conhecimento sobre porções do território ou que haja evolução metodológica significativa que proporcione um aprimoramento do mapeamento de biomas. Em outras palavras, é um trabalho contínuo do IBGE em sua missão institucional de: "Retratar o Brasil com informações necessárias ao conhecimento de sua realidade e ao exercício da cidadania".

A presente publicação faz parte de uma série de revisões visando disponibilizar ao público informações cada vez mais confiáveis dos recursos naturais do País. Nesse processo de aperfeiçoamento do Mapa de Biomas e Sistema Costeiro-Marinho do Brasil, sugestões e comentários úteis ao aprimoramento das próximas versões serão bemvindas, como já é tradição nos produtos lançados pelo IBGE.

Referências

AB'SABER, A. Potencialidades Paisagísticas Brasileiras. In: IBGE. **Recurso Naturais, Meio Ambiente e Poluição**, Rio de Janeiro: IBGE/Supren, 1977.

AB'SABER, A. N. **Domínios de natureza do Brasil: potencialidades paisagísticas**. São Paulo. Ateliê Editorial, 2003. 152p.

AEB. Áreas Territoriais. **Anuário Estatístico do Brasil**, v. 82, 2022. Disponível em: https://biblioteca.ibge.gov.br/visualizacao/periodicos/20/aeb_2022.pdf. Acesso em: 30 jan. 2024

ALMEIDA, F.F.M.; HASUI, Y.; NEVES, B.B.B.; FUCK, R.A. 1977. Províncias estruturais brasileiras. *In:* **Simp. Geol. Nordeste**, 8, Campina Grande, 1977. Atas...Campina Grande, SBG, p. 363-391.

BIGARELLA, J. J.; BECKER, R. D. International Symposium on the Quaternary. **Boletim Paranaense de Geociências**. Curitiba, v.33, p. 1-370, 1975.

CHRISTOFOLETTI, A. **Análise de Sistemas em Geografia**. São Paulo: Editora Hucitec,

CHRISTOFOLETTI, A. **Geomorfologia**. Segunda edição. São Paulo: Edgard Blücher, 1980. 188 p.

COELHO, R. M.; ROSSI, M.; MATTO, I. F. A. Solos do Bioma Mata Atlântica. *In*: Curi *et al.* (ed.). **Pedologia: solos dos biomas brasileiros**. Viçosa, MG: Sociedade Brasileira de Ciência do Solo, 261-3012, 2017.

COUTINHO, L. M. Biomas brasileiros - São Paulo: Oficina de textos, 2016. 128 p.

DAVIS, W. M. The Geographical Cycle. **The Geographical Journal,** v. 14, n. 5, p. 481-504, 1899.

DICIONARIO Priberam da Língua Portuguesa, 2008-2025. Disponível em: https://dicionario.priberam.org/interfl%C3%BAvio. Acesso em: 15 set. 2025.

ERHART, H. - La Theorie bio-rexistasique et les problemes biogeographiques paleobiologiques. **C. R. Soe. Biogeogr.** France. 1956.

EMBRAPA SOLOS. **Sistema Brasileiro de Classificação de Solos**. 5. ed. rev. e ampl. Brasília, DF: Empresa Brasileira de Pesquisa Agropecuária - Embrapa; Rio de Janeiro: Embrapa Solos, 2018. 356 p.

FELFILI, J. M.; EISENLOHR, P. V.; MELO, M. M. R. F.; ANDRADE, L. A.; MEIRA NETO, J. A. A. **Fitossociologia no Brasil: métodos e estudos de casos** - Viçosa: UFV, 2011. 556 p.

GAUSSEN, H.; BAGNOULS, F. Estação seca e índice xerotérmico. **Boletim geográfico**, ano XX, n. 169: 37.696, 1962. (tradução de Ruth Simões Bezerra dos Santos).

GEOGRAFIA. **Geografia: ensino fundamental e ensino médio: o mar no espaço geográfico brasileiro** / coordenação Carlos Frederico Simões Serafim, organização Paulo de Tarso Chaves. – Brasília: Ministério da Educação, Secretaria de Educação Básica, 2005. 304p.



- IBGE. 1º Workshop sobre representação de biomas compatível com a escala 1:250 000: diretrizes para definição de limites: [relatório técnico]. Rio de Janeiro, 2018. 56 p. Disponível em: https://www.ibge.gov.br/geociencias/informacoes-ambientais/estudos-ambientais/15842-biomas.html?=&t=publicacoes. Acesso em: 15 set. 2025.
- IBGE. BDiA: Banco de Dados e Informações Ambientais. Versão 3.0.0. Rio de Janeiro> IBGE, 2023. Disponível em: https://bdiaweb.ibge.gov.br. Acesso em: 17 set. 2025.
- IBGE. Biomas e sistema costeiro-marinho do Brasil: compatível com a escala 1:250 000 / IBGE, Coordenação de Recursos Naturais e Estudos Ambientais. (Relatórios metodológicos, ISSN 0101-2843; v. 45). Rio de Janeiro: IBGE, 2019. 168 p. Disponível em: https://biblioteca.ibge.gov.br/visualizacao/livros/liv101676.pdf. Acesso em: 22 set. 2025.
- IBGE. **Manual técnico de geomorfologia**. 2ª edição. Rio de Janeiro, RJ Brasil. Manuais técnicos em geociências. IBGE, 2009. 178p. Disponível em: https://biblioteca.ibge.gov.br/visualizacao/livros/liv66620.pdf. Acesso em: 15 out. 2025.
- IBGE. **Manual técnico da vegetação brasileira**. 2ª edição. Rio de Janeiro, RJ Brasil. Manuais técnicos em geociências. IBGE. 2012. 272p. Disponível em: https://biblioteca.ibge.gov.br/visualizacao/livros/liv63011.pdf. Acesso em: 15 out. 2025.
- IBGE. **Mapa de biomas do Brasil: primeira aproximação**. Rio de Janeiro: IBGE, 2004.1 mapa. Escala 1:5 000 000. Projeção policônica. Disponível em: https://www.ibge.gov.br/geociencias/cartas-e-mapas/informacoes-ambientais/15842-biomas.html?edicao=16060&t=downloads. Acesso em: 10 jun. 2025.
- IBGE. Subprovíncias estruturais (1:250 000). In: IBGE. **Macrocaracterização dos Recursos Naturais do Brasil**. Rio de Janeiro, 2020. Disponível em: https://biblioteca.ibge.gov.br/index.php/biblioteca-catalogo?view=detalhes&id=2101702. Acesso em: 17 mar.2025.
- INPE Instituto Nacional de Pesquisas Espaciais. **Topodata Banco de Dados Geomorfométricos do Brasil**. 2008. Disponível em:
- http://www.dsr.inpe.br/topodata/index.php. Acesso em: 01 jun. 2022.
- KARGER, D. *et al.* Climatologies at high resolution for the earth's land surface areas. **Sci Data** 4, 170122 (2017). https://doi.org/10.1038/sdata.2017.122
- KING, L.C. A geomorfologia do Brasil Oriental. **Rev. Bras. Geogr.**, Rio de Janeiro. 18(2): 147-266, 1956.
- NOVAIS, G. T.; MACHADO, L. A. Os Climas do Brasil: segundo a classificação climática de Novais. **Revista Brasileira de Climatologia**, v. 32, p. 1-39, 2023. Disponível em https://doi.org/10.55761/abclima.v32i19.16163. Acesso em: 15 set. 2025.
- NOVAIS, G.T. Classificação climática aplicada ao Bioma Cerrado. Tese de doutorado apresentada ao Instituto de Geografia da Universidade Federal de Uberlândia. 2019. https://dx.doi.org/10.14393/ufu.te.2019.2199
- NOVAIS, G.T.; GALVANI, E. Uma tipologia de classificação climática aplicada ao estado de São Paulo. **Revista do Departamento de Geografia**, 42, e184630. 2022. https://doi.org/10.11606/eISSN.2236-2878.rdg.2022.184630



OLIVEIRA, V. A.; JACOMINE, P. K. T.; COUTO, E. G. Solos do Bioma Cerrado. In: Curi et al. (ed.). Pedologia: solos dos biomas brasileiros. Viçosa, MG: Sociedade Brasileira de Ciência do Solo, 177-226, 2017.

OLIVEIRA, V. A.; SANTOS, H.G. Reunião de Correlação, Classificação e Aplicação de Levantamento de Solos da Região Centro-Oeste. RCC GO/MT. Rio de Janeiro: Embrapa Solos, 2004 (Boletim de Pesquisa e Desenvolvimento, 55).

PASSOS, E.; BIGARELLA, J. J. Superfícies de Erosão. In: CUNHA, S. B.; GUERRA, A. J. T. (orgs.) **Geomorfologia do Brasil**. 1998. 4ª edição, 2006. p. 107-141. 392p.

PENTEADO, M. M. Fundamentos de Geomorfologia. 3ª edição. Rio de Janeiro: IBGE,

QUEIROZ NETO, J. P. Solos da região dos cerrados e suas interpretações. Revista Brasileira de Ciência do Solo. 6:1-12, 1982

SANO, S. M., ALMEIDA, S. P. e RIBEIRO, J. F.. Cerrado: ecologia e flora. Brasília: Embrapa Informação tecnológica, 2008. 406 p.

SANTOS, R. D.; SANTOS, H. G.; KER, J. C.; ANJOS, L. H. C.; SHIMIZU, S. H. Manual de descrição e coleta de solo no campo. 7. ed. rev. ampl. - Viçosa, MG: 110 p.

SUGUIO, K. Geologia do Quaternário e mudanças ambientais. São Paulo: Oficina de Textos, 2010. 408 p.

VASCONCELLOS, M. M.; VARELA, S.; REGINALDO, M.; GEHARA, M.; CARNAVAL, A. C.; MICHELANGELI, F. A. (2024). Evaluating the impact of historical climate and early human groups in the Araucaria Forest of eastern South America. Ecography, 2024: e06756. https://doi.org/10.1111/ecog.06756.

WALTER, H. Vegetação e zonas climáticas: tratado de ecologia global. Tradutoras: Anna Terzi Giova e Hildegard T. Buckup. Revisão técnica e notas Antonio Lamberti - São Paulo: EPU, 1986. 325 p.

Apêndices



Apêndice 1

Pontos de caracterização, registrados durante as expedições de campo, contendo informações sobre numeração do ponto (Np), da expedição (Ne), localização (X e Y), forma de relevo, intensidade da atração magnética das partículas do solo, classes de textura do solo, litologia, altitude e ambiente vegetacional.

Np	Ne	х	Υ	Forma de re- levo	Atração magnética	Textura	Litologia	Altitude (m)	Ambiente
1	1	-47,60	-21,73	Aplanamento ou baixa disse-cação	-	Argilosa e Muito argi- Iosa	-	598	Florestal
2	1	-47,88	-20,61	Média a forte dissecação	-	Muito argi- losa	Basalto	664	Contato
3	1	-47,75	-20,21	Aplanamento ou baixa disse- cação	Fraca	Argilosa	-	801	Savânico
4	1	-47,46	-19,79	Média a forte dissecação	-	Média/Argi- Iosa	Arenito	1017	Florestal
5	1	-47,47	-19,80	Aplanamento ou baixa disse- cação	-	Média/Argi- losa	-	980	Savânico
6	1	-47,50	-19,76	Aplanamento ou baixa disse- cação	-	Média/Argi- losa	-	990	Savânico
7	1	-47,64	-19,73	Aplanamento ou baixa disse- cação	-	Argilosa	-	836	Contato
8	1	-47,62	-19,79	Aplanamento ou baixa disse-cação	-	Argilosa e Muito argi- Iosa	Basalto	786	Florestal
9	1	-47,59	-19,82	Aplanamento ou baixa disse- cação	Forte	Argilosa e Muito argi- Iosa	-	837	Savânico
10	1	-47,57	-19,83	Aplanamento ou baixa disse- cação	Forte	Argilosa e Muito argi- Iosa	-	851	Savânico
11	1	-47,43	-19,89	Média a forte dissecação	Fraca	Argilosa	Basalto	976	Savânico
12	1	-47,39	-19,94	Média a forte dissecação	-	Média	-	734	Savânico
13	1	-47,43	-19,99	Média a forte dissecação	-	Média/Argi- Iosa	-	537	Savânico
14	1	-47,61	-19,96	Média a forte dissecação	Forte	Argilosa e Muito argi- Iosa	Basalto	555	Florestal
15	1	-47,64	-20,03	Média a forte dissecação	-	Argilosa e Muito argi- losa	Arenito	597	Florestal
									continua

Np	Ne	х	Y	Forma de re- levo	Atração magnética	Textura	Litologia	Altitude (m)	Ambiente
16	1	-47,72	-19,87	Média a forte dissecação	Forte	Argilosa e Muito argi- Iosa	-	669	Florestal
17	1	-47,71	-19,86	Média a forte dissecação	-	Argilosa e Muito argi- losa	-	579	Florestal
18	1	-47,47	-19,95	Média a forte dissecação	-	Média	Arenito	645	Florestal
19	1	-47,52	-19,95	Aplanamento ou baixa disse- cação	-	Argilosa	Basalto	620	Contato
20	1	-48,03	-19,82	Aplanamento ou baixa disse- cação	-	Média	Arenito	729	-
21	1	-48,22	-19,71	Aplanamento ou baixa disse- cação	Forte	Argilosa	Arenito	673	-
22	1	-48,32	-19,83	Aplanamento ou baixa disse- cação	-	Argilosa	Arenito	577	-
23	1	-48,32	-19,87	Aplanamento ou baixa disse- cação	-	Média	-	562	Savânico
24	1	-48,04	-20,21	Aplanamento ou baixa disse- cação	Forte	Argilosa e Muito argi- Iosa	Basalto	519	Florestal
25	1	-48,03	-20,27	Aplanamento ou baixa disse- cação	-	Argilosa e Muito argi- Iosa	Basalto	543	Florestal
26	1	-47,94	-20,41	Aplanamento ou baixa disse- cação	Forte	Argilosa e Muito argi- Iosa	Basalto	550	Florestal
27	1	-48,47	-20,49	Aplanamento ou baixa disse- cação	Forte	Argilosa e Muito argi- Iosa	-	502	Florestal
28	1	-48,49	-20,52	Aplanamento ou baixa dissecação	Fraca	Média	-	563	-
29	1	-48,67	-20,40	Aplanamento ou baixa disse- cação	-	Média	-	529	Savânico
30	1	-48,71	-20,32	Aplanamento ou baixa disse- cação	-	Média	-	545	Savânico
31	1	-48,72	-20,60	Aplanamento ou baixa disse- cação	-	Are- nosa/Média	-	532	-

continua...



Np	Ne	Х	Y	Forma de re- levo	Atração magnética	Textura	Litologia	Altitude (m)	Ambiente
32	1	-48,69	-19,98	Aplanamento ou baixa disse- cação	Fraca	Argilosa e Muito argi- Iosa	-	505	Savânico
33	1	-48,71	-19,95	Aplanamento ou baixa disse- cação	Forte	Argilosa e Muito argi- Iosa	-	528	Savânico
34	1	-48,63	-20,08	Aplanamento ou baixa disse- cação	Forte	Argilosa e Muito argi- Iosa	-	468	Florestal
35	1	-48,52	-19,98	Aplanamento ou baixa disse- cação	Forte	Argilosa	-	505	-
36	1	-48,48	-20,01	Aplanamento ou baixa disse- cação	-	Média/Argi- losa	-	549	Savânico
37	1	-48,37	-20,07	Aplanamento ou baixa disse- cação	Forte	Argilosa	-	527	Savânico
38	1	-48,29	-20,07	Aplanamento ou baixa disse- cação	Fraca	Argilosa	-	511	Savânico
39	1	-48,26	-20,00	Aplanamento ou baixa disse-cação	Fraca	Argilosa	Basalto	530	Savânico
40	1	-48,18	-19,88	Aplanamento ou baixa disse- cação	Fraca	Média	-	616	Savânico
41	1	-48,12	-19,91	Aplanamento ou baixa disse- cação	Forte	média	-	581	Florestal
42	1	-48,09	-19,90	Aplanamento ou baixa disse- cação	Forte	Média/Argi- losa	-	623	Savânico
43	1	-48,12	-20,02	Aplanamento ou baixa disse-cação	Forte	Argilosa	-	558	Contato
44	1	-47,87	-20,14	Aplanamento ou baixa disse- cação	-	Muito argi- losa	-	540	Savânico
45	1	-47,64	-20,07	Média a forte dissecação	-	Média	Basalto	600	Florestal
46	1	-47,57	-20,01	Média a forte dissecação	Fraca	Argilosa	Arenito	572	Florestal
47	1	-47,44	-20,02	Aplanamento ou baixa disse-cação	-	Argilosa	-	574	Savânico
48	1	-47,52	-20,13	Média a forte dissecação	Forte	Argilosa	-	605	Contato
									continua

Np	Ne	х	Υ	Forma de re- levo	Atração magnética	Textura	Litologia	Altitude (m)	Ambiente
49	1	-47,52	-20,16	Média a forte dissecação	-	Arenosa	-	654	Contato
50	1	-47,51	-20,17	Média a forte dissecação	-	Argilosa	-	837	Florestal
51	1	-47,50	-20,20	Média a forte dissecação	-	Arenosa	-	976	Savânico
52	1	-47,70	-20,23	Aplanamento ou baixa disse- cação	Forte	Argilosa	-	813	Savânico
53	1	-47,67	-20,32	Aplanamento ou baixa disse- cação	Fraca	Média	-	840	Savânico
54	2	-47,69	-21,04	Aplanamento ou baixa disse- cação	Forte	Muito argi- losa	-	808	Florestal
55	2	-47,53	-20,87	Média a forte dissecação	Forte	Muito argi- Iosa	-	758	Savânico
56	2	-47,45	-20,86	Média a forte dissecação	Forte	Argilosa	-	856	Florestal
57	2	-47,37	-20,84	Aplanamento ou baixa disse- cação	Fraca	Média	-	737	Savânico
58	2	-47,34	-20,82	Aplanamento ou baixa disse- cação	-	Arenosa	-	787	Savânico
59	2	-46,99	-21,06	Média a forte dissecação	-	Arenosa	-	1111	Savânico
60	2	-47,00	-21,07	Média a forte dissecação	-	Arenosa	-	1108	Savânico
61	2	-47,07	-21,05	Média a forte dissecação	Forte	Argilosa	-	1020	Savânico
62	2	-47,09	-21,01	Média a forte dissecação	Forte	Argilosa e Muito argi- Iosa	-	901	Florestal
63	2	-47,16	-20,89	Média a forte dissecação	Forte	Argilosa e Muito argi- Iosa	-	835	Contato
64	2	-47,02	-20,72	Média a forte dissecação	Fraca	Argilosa	-	1118	Florestal
65	2	-47,00	-20,69	Média a forte dissecação	-	Média	-	860	Savânico
66	2	-46,85	-20,33	Aplanamento ou baixa disse- cação	-	Argilosa	-	713	Savânico
67	2	-46,94	-20,29	Aplanamento ou baixa disse- cação	-	Argilosa	-	731	Savânico



Np	Ne	х	Υ	Forma de re- levo	Atração magnética	Textura	Litologia	Altitude (m)	Ambiente
68	2	-47,09	-20,25	Aplanamento ou baixa disse- cação	-	Arenosa	-	853	Savânico
69	2	-46,97	-20,43	Média a forte dissecação	-	Média	-	719	Contato
70	2	-47,06	-20,38	Média a forte dissecação	-	Argilosa	-	1065	Florestal
71	2	-47,19	-20,30	Aplanamento ou baixa disse- cação	-	Média	-	761	Savânico
72	2	-47,32	-20,24	Média a forte dissecação	Forte	Argilosa e Muito argi- losa	-	712	Florestal
73	2	-47,52	-20,16	Média a forte dissecação	-	Média	-	652	Savânico
74	2	-47,55	-20,09	Média a forte dissecação	Forte	Argilosa e Muito argi- Iosa	-	611	Florestal
75	2	-47,83	-20,18	Aplanamento ou baixa disse- cação	Fraca	Argilosa	-	576	Savânico
76	2	-47,86	-20,15	Aplanamento ou baixa disse- cação	-	Média	-	553	Savânico
77	2	-47,75	-20,42	Média a forte dissecação	-	Argilosa	-	707	Florestal
78	2	-47,68	-20,62	Aplanamento ou baixa disse- cação	-	Argilosa	-	656	Contato
79	2	-47,76	-20,69	Aplanamento ou baixa disse- cação	-	Argilosa	-	759	Florestal
80	2	-47,92	-20,74	Aplanamento ou baixa disse- cação	Fraca	Argilosa	-	700	Savânico
81	2	-48,13	-20,79	Aplanamento ou baixa disse- cação	-	Média	-	555	Savânico
82	2	-48,35	-20,80	Aplanamento ou baixa disse- cação	Fraca	Argilosa	-	570	Florestal
83	2	-48,04	-20,64	Aplanamento ou baixa dissecação	Forte	Argilosa	-	700	Florestal
84	2	-47,95	-20,48	Aplanamento ou baixa disse-cação	Fraca	Argilosa	-	564	Savânico
85	2	-47,37	-20,41	Média a forte dissecação	Forte	Muito argi- losa	Basalto	924	Florestal
									continua

Np	Ne	Х	Υ	Forma de re- levo	Atração magnética	Textura	Litologia	Altitude (m)	Ambiente
86	2	-47,35	-20,41	Média a forte dissecação	Fraca	Muito argi- losa	-	852	Contato
87	2	-47,33	-20,42	Média a forte dissecação	-	Média	Arenito	803	Savânico
88	2	-47,29	-20,48	Média a forte dissecação	-	Média	-	865	Contato
89	2	-47,18	-20,57	Média a forte dissecação	-	Média	Arenito	923	Florestal
90	2	-47,42	-20,92	Média a forte dissecação	Forte	Muito argi- Iosa	-	825	Florestal
91	2	-47,28	-21,03	Média a forte dissecação	Forte	Muito argi- Iosa	-	830	Savânico
92	2	-46,93	-21,20	Média a forte dissecação	-	Média/argi- losa	-	975	Florestal
93	2	-46,91	-21,16	Média a forte dissecação	-	Média/argi- losa	-	1007	Savânico
94	2	-46,89	-21,13	Média a forte dissecação	-	Média	-	960	Savânico
95	2	-46,91	-21,08	Média a forte dissecação	-	Média	-	1167	Florestal
96	2	-47,05	-21,64	Média a forte dissecação	-	Média/argi- losa	-	584	Savânico
97	2	-47,09	-21,71	Média a forte dissecação	-	Argilosa	-	679	Savânico
98	2	-47,04	-21,19	Média a forte dissecação	Forte	Muito argi- losa	-	1124	Savânico
99	2	-47,18	-21,21	Média a forte dissecação	Forte	Argilosa	-	1029	Florestal
100	2	-47,20	-21,25	Média a forte dissecação	Forte	Argilosa	-	1016	Florestal
101	2	-47,36	-21,28	Média a forte dissecação	-	Arenosa	-	751	Savânico
102	2	-47,63	-21,25	Aplanamento ou baixa disse- cação	Forte	Muito argi- losa	-	575	Florestal
103	2	-47,65	-21,31	Aplanamento ou baixa disse- cação	-	Média	-	569	Savânico
104	2	-47,28	-21,42	Aplanamento ou baixa disse- cação	-	Média	-	629	Florestal
105	2	-47,25	-21,38	Aplanamento ou baixa disse- cação	Forte	Argilosa	-	704	Florestal
106	2	-47,26	-21,36	Aplanamento ou baixa disse-cação	Forte	Muito argi- Iosa	-	736	Florestal



Np	Ne	Х	Υ	Forma de re- levo	Atração magnética	Textura	Litologia	Altitude (m)	Ambiente
107	2	-47,16	-21,82	Média a forte dissecação	Fraca	Argilosa	-	658	Savânico
108	2	-47,41	-21,84	Média a forte dissecação	-	Média	-	600	Savânico
109	2	-47,42	-21,85	Média a forte dissecação	-	Argilosa	-	583	Florestal
110	2	-47,40	-21,76	Média a forte dissecação	Forte	Argilosa	-	768	Florestal
111	2	-47,40	-21,78	Aplanamento ou baixa dissecação	-	Média	-	779	Florestal
112	2	-47,51	-21,69	Aplanamento ou baixa disse- cação	-	Média	-	750	Savânico
113	2	-47,86	-21,08	Aplanamento ou baixa disse- cação	Forte	Argilosa	-	529	Florestal
114	2	-47,89	-21,07	Aplanamento ou baixa disse- cação	Forte	Muito argi- losa	-	567	Florestal
115	2	-48,04	-21,03	Aplanamento ou baixa disse- cação	Forte	Muito argi- losa	-	533	Florestal
116	2	-48,03	-21,05	Aplanamento ou baixa disse- cação	Forte	Muito argi- losa	-	519	Florestal
117	2	-47,90	-21,18	Aplanamento ou baixa disse- cação	Forte	Muito argi- losa	-	687	Florestal
118	3	-44,03	-20,06	Média a forte dissecação	-	Média	Quartzito	1382	Savânico
119	3	-44,08	-20,05	Média a forte dissecação	-	Média	Quartzito	929	Florestal
120	3	-43,71	-19,64	Média a forte dissecação	-	Média/argi- losa	Gnaisse	603	Savânico
121	3	-43,60	-19,29	Rampa	-	Média	Quartzito	1095	Contato
122	3	-43,60	-19,21	Aplanamento ou baixa disse- cação	-	Média	Quartzito	1216	Refúgio
123	3	-43,58	-19,22	Aplanamento ou baixa disse- cação	-	Média	Quartzito	1182	Refúgio
124	3	-43,61	-19,35	Planície	-	Arenosa	Arenito	796	Contato
125	3	-43,66	-19,40	Aplanamento ou baixa disse- cação	-	Argilosa	Arenito	872	Contato
126	3	-43,72	-19,46	Média a forte dissecação	-	Média/argi- losa	Arenito	740	Florestal
									continua

★ IBGE 75

Np	Ne	х	Υ	Forma de re- levo	Atração magnética	Textura	Litologia	Altitude (m)	Ambiente
127	3	-43,60	-19,66	Média a forte dissecação	-	Média/argi- losa	Gnaisse	995	Florestal
128	3	-43,45	-19,68	Média a forte dissecação	-	Média/argi- losa	Gnaisse	739	Florestal
129	3	-43,35	-19,49	Média a forte dissecação	-	Média/argi- losa	Gnaisse	670	Florestal
130	3	-43,33	-19,40	Aplanamento ou baixa disse- cação	-	Are- nosa/Média	Basalto	808	Refúgio
131	3	-43,42	-19,26	Média a forte dissecação	-	-	-	794	Florestal
132	3	-43,51	-19,23	Média a forte dissecação	-	-	-	1329	Refúgio
133	3	-43,52	-18,98	Média a forte dissecação	-	Média	Granito	687	Florestal
134	3	-43,62	-18,89	Média a forte dissecação	-	Argilosa	Granito	944	Florestal
135	3	-43,73	-18,78	Média a forte dissecação	-	Argilosa	Granito	1055	Savânico
136	3	-43,77	-18,59	Aplanamento ou baixa disse- cação	-	Argilosa	Granito	1037	Savânico
137	3	-43,83	-18,56	Média a forte dissecação	-	-	Quartzito	1045	Savânico
138	3	-43,50	-18,17	Média a forte dissecação	-	Argilosa	-	987	Refúgio
139	3	-43,56	-18,04	Aplanamento ou baixa disse- cação	-	Média/argi- losa	-	674	Florestal
140	3	-43,59	-17,85	Média a forte dissecação	-	-	Quartzito	696	Savânico
141	3	-43,59	-17,91	Rampa	-	Arenosa	Quartzito	699	Savânico
142	3	-43,64	-17,94	Média a forte dissecação	-	-	-	942	Contato
143	3	-43,77	-17,93	Rampa	-	Arenosa	-	1322	Refúgio
144	3	-43,82	-17,91	Média a forte dissecação	-	Arenosa	Quartzito	1292	Refúgio
145	3	-43,81	-17,91	Aplanamento ou baixa disse- cação	-	Arenosa	Arenito	1290	Refúgio
146	3	-43,79	-17,92	Aplanamento ou baixa disse- cação	-	-	-	1317	Refúgio
147	3	-43,76	-17,89	Aplanamento ou baixa disse- cação	-	Arenosa	Quartzito	1260	Refúgio



Np	Ne	Х	Υ	Forma de re- levo	Atração magnética	Textura	Litologia	Altitude (m)	Ambiente
148	3	-43,84	-18,30	Média a forte dissecação	-	Média	Quartzito	1229	Refúgio
149	3	-43,97	-18,27	Aplanamento ou baixa disse- cação	-	-	Quartzito	972	Savânico
150	3	-44,01	-18,30	Aplanamento ou baixa disse- cação	-	Média	Quartzito	959	Savânico
151	3	-44,34	-18,39	Aplanamento ou baixa disse- cação	-	Média/argi- losa	-	614	Savânico
152	3	-44,28	-19,13	Média a forte dissecação	-	Média	Arenito	759	Savânico
153	3	-43,99	-19,29	Média a forte dissecação	-	Média	-	688	Savânico
154	4	-47,75	-22,60	Média a forte dissecação	-	Média/argi- losa	Arenito	568	Florestal
155	4	-47,84	-22,49	Média a forte dissecação	-	Are- nosa/Média	Arenito	555	Contato
156	4	-47,73	-22,47	Aplanamento ou baixa disse- cação	-	Are- nosa/Média	Arenito	687	Contato
157	4	-48,01	-22,42	Média a forte dissecação	-	Argilosa	-	869	Florestal
158	4	-48,31	-22,31	Média a forte dissecação	-	Média	-	768	Contato
159	4	-48,43	-22,29	Média a forte dissecação	-	Média	-	666	Contato
160	4	-48,56	-22,22	Média a forte dissecação	Forte	Argilosa	-	571	Florestal
161	4	-48,49	-22,08	Média a forte dissecação	Fraca	Argilosa	-	458	Florestal
162	4	-48,46	-22,05	Média a forte dissecação	-	Média	-	485	Florestal
163	4	-48,62	-21,79	Média a forte dissecação	-	Média	-	513	Florestal
164	4	-48,71	-21,73	Aplanamento ou baixa disse- cação	-	Are- nosa/Média	-	525	Contato
165	4	-48,54	-21,59	Média a forte dissecação	-	Are- nosa/Média	-	594	Florestal
166	4	-48,88	-21,47	Média a forte dissecação	-	Are- nosa/Média	-	489	Florestal
167	4	-48,86	-21,54	Média a forte dissecação	-	Are- nosa/Média	-	498	Florestal



Np	Ne	Х	Υ	Forma de re- levo	Atração magnética	Textura	Litologia	Altitude (m)	Ambiente
168	4	-49,52	-21,28	Aplanamento ou baixa disse- cação	-	Média	-	419	Florestal
169	4	-49,27	-20,43	Média a forte dissecação	-	Média	-	471	Savânico
170	4	-49,25	-20,41	Média a forte dissecação	-	Média	-	477	Florestal
171	4	-49,36	-20,23	Média a forte dissecação	-	Média	-	496	Florestal
172	4	-49,47	-20,26	Aplanamento ou baixa disse- cação	-	Média	-	498	Florestal
173	4	-49,50	-20,29	Média a forte dissecação	Fraca	Média	-	471	Savânico
174	4	-49,75	-20,16	Aplanamento ou baixa disse- cação	-	Média	-	448	Savânico
175	4	-49,86	-20,11	Aplanamento ou baixa disse- cação	-	Média	-	435	Florestal
176	4	-50,03	-20,00	Aplanamento ou baixa dissecação	-	Média	-	418	Savânico
177	4	-49,96	-20,07	Média a forte dissecação	-	Média	-	487	Contato
178	4	-49,22	-20,29	Aplanamento ou baixa disse-cação	-	Média	-	484	Savânico
179	4	-49,25	-20,28	Planície	Forte	Argilosa	-	415	Florestal
180	4	-49,25	-20,28	Planície	=	Média	-	386	Florestal
181	4	-49,60	-20,27	Média a forte dissecação	-	Média	-	488	Savânico
182	4	-49,86	-20,35	Aplanamento ou baixa disse- cação	-	Média	-	551	Florestal
183	4	-49,64	-20,11	Média a forte dissecação	-	Média	-	499	Savânico
184	4	-49,32	-20,21	Aplanamento ou baixa disse-cação	-	Média	-	469	Contato
185	4	-49,37	-20,15	Média a forte dissecação	-	Média	-	464	Savânico
186	4	-49,40	-20,11	Aplanamento ou baixa disse- cação	-	Média	-	537	Savânico



Np	Ne	Х	Y	Forma de re- levo	Atração magnética	Textura	Litologia	Altitude (m)	Ambiente
187	4	-49,44	-20,02	Aplanamento ou baixa disse- cação	-	Argilosa e Muito argi- losa	-	434	Florestal
188	4	-49,53	-19,95	Aplanamento ou baixa disse- cação	-	Média	-	481	Florestal
189	4	-49,75	-19,98	Média a forte dissecação	-	Média	-	486	Savânico
190	4	-49,02	-20,47	Aplanamento ou baixa disse- cação	-	Média	-	521	Florestal
191	4	-48,98	-20,46	Média a forte dissecação	-	Média	-	505	Contato
192	4	-48,83	-20,54	Aplanamento ou baixa disse- cação	-	Média	-	504	Savânico
193	4	-48,84	-20,49	Aplanamento ou baixa disse- cação	-	Média	-	492	Savânico
194	4	-48,57	-20,70	Aplanamento ou baixa disse- cação	-	Média	-	596	Florestal
195	4	-48,53	-20,81	Aplanamento ou baixa disse- cação	-	Média	-	551	Florestal
196	4	-48,52	-20,86	Aplanamento ou baixa disse- cação	-	Média	-	567	Savânico
197	4	-48,29	-21,29	Aplanamento ou baixa disse- cação	-	Argilosa	-	617	Savânico
198	4	-48,29	-21,30	Aplanamento ou baixa dissecação	Forte	Argilosa	-	607	Savânico
199	4	-48,22	-21,33	Aplanamento ou baixa dissecação	-	Média	-	659	Florestal
200	4	-48,12	-21,47	Aplanamento ou baixa disse- cação	Forte	Argilosa	-	621	Florestal
201	4	-47,53	-21,93	Aplanamento ou baixa disse- cação	-	Média	-	670	Savânico
202	4	-47,02	-22,27	Média a forte dissecação	-	Média/argi- losa	-	625	Contato
203	4	-47,13	-22,63	Média a forte dissecação	-	Média	-	608	Florestal



Np	Ne	Х	Y	Forma de re- levo	Atração magnética	Textura	Litologia	Altitude (m)	Ambiente
204	5	-43,70	-20,49	Aplanamento ou baixa disse- cação	-	Média	-	1433	Savânico
205	5	-43,69	-20,50	Aplanamento ou baixa disse- cação	-	-	-	1418	Refúgio
206	5	-43,47	-20,34	Média a forte dissecação	-	Média	-	1079	Savânico
207	5	-43,68	-19,82	Média a forte dissecação	-	-	-	1736	Refúgio
208	5	-43,84	-19,44	Média a forte dissecação	-	Média	Arenito	766	Savânico
209	5	-43,72	-19,19	Média a forte dissecação	-	Média/argi- losa	Arenito	765	Savânico
210	5	-43,70	-19,12	Rampa	-	Are- nosa/Média	-	1172	Savânico
211	5	-43,67	-19,12	Planície	-	Are- nosa/Média	-	1099	Florestal
212	5	-43,55	-19,26	Rampa	-	-	-	1323	Savânico
213	5	-43,49	-19,10	Média a forte dissecação	-	Argilosa e Muito argi- Iosa	-	705	Contato
214	5	-43,40	-18,94	Média a forte dissecação	-	Média/argi- losa	-	684	Florestal
215	5	-43,39	-18,60	Média a forte dissecação	Forte	Argilosa	-	833	Florestal
216	5	-43,47	-18,57	Média a forte dissecação	Forte	Argilosa	Basalto	1143	Florestal
217	5	-43,49	-18,58	Média a forte dissecação	-	Média	-	1107	Refúgio
218	5	-43,62	-18,56	Aplanamento ou baixa disse- cação	-	Média	-	1124	Savânico
219	5	-43,62	-18,18	Média a forte dissecação	-	Média	-	1081	Refúgio
220	5	-43,63	-18,06	Aplanamento ou baixa dissecação	-	Média	-	1159	Contato
221	5	-43,90	-18,59	Aplanamento ou baixa disse-cação	-	-	-	1275	Savânico
222	5	-44,53	-18,78	Aplanamento ou baixa dissecação	-	Argilosa	-	708	Savânico
223	5	-44,82	-18,66	Média a forte dissecação	-	Média	Arenito	941	Savânico
224	5	-44,67	-19,00	Média a forte dissecação	-	Siltosa	Arenito	787	Savânico
225	5	-44,35	-19,13	Média a forte dissecação	-	Argilosa	Arenito	783	Florestal
									continua

₩ IBGE 80

Np	Ne	Х	Y	Forma de re- levo	Atração magnética	Textura	Litologia	Altitude (m)	Ambiente
226	5	-44,22	-19,52	Média a forte dissecação	-	Média	-	878	Florestal
227	5	-44,21	-19,62	Média a forte dissecação	-	Média/argi- losa	-	948	Florestal
228	5	-44,21	-19,89	Média a forte dissecação	-	Média	-	854	Florestal
229	5	-44,42	-19,89	Aplanamento ou baixa disse- cação	-	Argilosa	-	758	Florestal
230	5	-43,98	-20,19	Aplanamento ou baixa disse- cação	-	-	-	1465	Refúgio

Nota: Em relação às formas de relevo, ressalta-se que o termo "baixa dissecação" se refere a uma densidade de drenagem 'grosseira' ou 'muito grosseira', enquanto o termo 'média a forte dissecação' se refere a uma densidade de drenagem 'média', 'fina' ou 'muito fina', conforme IBGE (2009).

Lista das espécies vegetais identificadas nas expedições de campo realizadas.

ld	Família	Nome Científico
1	Amaranthaceae	Gomphrena agrestis Mart.
2	Amaranthaceae	Pfaffia gnaphaloides (L.f.) Mart.
3	Anacardiaceae	Astronium urundeuva (M.Allemão) Engl.
4	Anacardiaceae	Schinus terebinthifolia Raddi
5	Anacardiaceae	Spondias mombin L.
6	Anacardiaceae	Tapirira guianensis Aubl.
7	Anemiaceae	Anemia villosa Humb. & Bonpl. ex Willd.
8	Annonaceae	Annona coriacea Mart.
9	Annonaceae	Annona crassiflora Mart.
10	Annonaceae	Xylopia aromatica (Lam.) Mart.
11	Annonaceae	Xylopia sericea A.StHil.
12	Apocynaceae	Aspidosperma australe Müll.Arg.
13	Apocynaceae	Aspidosperma macrocarpon Mart. & Zucc.
14	Apocynaceae	Aspidosperma subincanum Mart.
15	Apocynaceae	Aspidosperma tomentosum Mart. & Zucc.
16	Apocynaceae	Aspidosperma verbascifolium Müll.Arg.
17	Apocynaceae	Hancornia speciosa Gomes
18	Apocynaceae	Himatanthus obovatus (Müll. Arg.) Woodson
19	Araliaceae	Didymopanax macrocarpus (Cham. & Schltdl.) Seem.
20	Araliaceae	Didymopanax morototoni (Aubl.) Decne. & Planch.
21	Araliaceae	Didymopanax vinosus (Cham. & Schltdl.) Marchal
22	Arecaceae	Acrocomia aculeata (Jacq.) Lodd. ex Mart.
23	Arecaceae	Syagrus romanzoffiana (Cham.) Glassman
24	Asteraceae	Achyrocline alata (Kunth) DC.
25	Asteraceae	Acilepidopsis echitifolia (Mart. ex DC.) H.Rob.
26	Asteraceae	Ageratum fastigiatum (Gardner) R.M.King & H.Rob.
27	Asteraceae	Ambrosia polystachya DC.
28	Asteraceae	Baccharis calvescens DC.
29	Asteraceae	Baccharis dracunculifolia DC.
30	Asteraceae	Baccharis simplex G.Heiden
31	Asteraceae	Calea rotundifolia (Less.) Baker
32	Asteraceae	Chromolaena laevigata (Lam.) R.M.King & H.Rob.
33	Asteraceae	Chromolaena multiflosculosa (DC.) R.M.King & H.Rob.
34	Asteraceae	Eremanthus elaeagnus (Mart. ex DC.) Sch.Bip.
35	Asteraceae	Eremanthus erythropappus (DC.) MacLeish
36	Asteraceae	Eremanthus glomerulatus Less.
37	Asteraceae	Eremanthus goyazensis (Gardner) Sch.Bip.
38	Asteraceae	Lychnophora diamantinana Coile & Jones
39	Asteraceae	Lychnophora haplopappa Loeuille, Semir & Pirani
40	Asteraceae	Piptocarpha macropoda (DC.) Baker
41	Asteraceae	Pterocaulon rugosum (Vahl) Malme
42	Asteraceae	Stevia crenulata Baker
43	Asteraceae	Stevia urticaefolia Thunb.
44	Asteraceae	Vernonanthura ferruginea (Less.) H.Rob.
45	Bignoniaceae	Amphilophium crucigerum (L.) L.G.Lohmann



ld	Família	Nome Científico
46	Bignoniaceae	Anemopaegma arvense (Vell.) Stellfeld ex de Souza
47	Bignoniaceae	Dolichandra quadrivalvis (Jacq.) L.G.Lohmann
48	Bignoniaceae	Handroanthus chrysotrichus (Mart. ex DC.) Mattos
49	Bignoniaceae	Handroanthus chrysotrichus (Mart. ex DC.) Mattos
50	Bignoniaceae	Handroanthus heptaphyllus (Vell.) Mattos
51	Bignoniaceae	Handroanthus ochraceus (Cham.) Mattos
52	Bignoniaceae	Handroanthus serratifolius (Vahl) S.Grose
53	Bignoniaceae	Jacaranda cuspidifolia Mart.
54	Bignoniaceae	Pyrostegia venusta (Ker Gawl.) Miers
55	Bignoniaceae	Tabebuia rosea (Bertol.) Bertero ex A.DC.
56	Bignoniaceae	Zeyheria montana Mart.
57	Bignoniaceae	Zeyheria tuberculosa (Vell.) Bureau ex Verl.
58	Bromeliaceae	Ananas ananassoides (Baker) L.B.Sm.
59	Bromeliaceae	Dyckia saxatilis Mez
60	Burseraceae	Protium heptaphyllum (Aubl.) Marchand
61	Burseraceae	Protium spruceanum (Benth.) Engl.
62	Cactaceae	Arthrocereus glaziovii (K.Schum.) N.P.Taylor & Zappi
63	Cactaceae	Cereus jamacaru DC.
64	Callophyllaceae	Kielmeyera appariciana Saddi
65	Callophyllaceae	Kielmeyera coriacea Mart. & Zucc.
66	Cannabaceae	Trema micranthum (L.) Blume
67	Caryocaraceae	Caryocar brasiliense Cambess.
68	Chrysobalanaceae	Hirtella glandulosa Spreng.
69	Chrysobalanaceae	Hirtella gracilipes (Hook.f.) Prance
70	Combretaceae	Laguncularia racemosa (L.) C.F.Gaertn.
71	Combretaceae	Terminalia argentea Mart. & Zucc.
72	Combretaceae	Terminalia fagifolia Mart.
73	Combretaceae	Terminalia glabrescens Mart.
74	Combretaceae	Terminalia phaeocarpa Eichler
75	Convolvulaceae	Distimake tomentosus (Choisy) Petrongari & SimBianch.
76	Cordiaceae	Cordia sellowiana Cham.
77	Cyperaceae	Bulbostylis paradoxa (Spreng.) Lindm.
78	Dilleniaceae	Curatella americana L.
79	Dilleniaceae	Davilla elliptica A.StHil.
80	Ebenaceae	Diospyros sericea A.DC.
81	Ericaceae	Agarista oleifolia (Cham.) G.Don
82	Eriocaulaceae	Actinocephalus bongardii (A.StHil.) Sano
83	Eriocaulaceae	Actinocephalus polyanthus (Bong.) Sano
84	Eriocaulaceae	Paepalanthus albiceps Silveira
85	Eriocaulaceae	Paepalanthus serrinhensis Silveira
86	Erythroxylaceae	Erythroxylum campestre A.StHil.
87	Erythroxylaceae	Erythroxylum suberosum A.StHil.
88	Erythroxylaceae	Erythroxylum tortuosum Mart.
89	Euphorbiaceae	Croton campestris A.StHil.
90	Euphorbiaceae	Croton floribundus Spreng.
91	Euphorbiaceae	Croton urucurana Baill.
92	Euphorbiaceae	Euphorbia milii Des Moul
93	Euphorbiaceae	Hevea brasiliensis (Willd. ex A.Juss.) Müll.Arg.
94	Euphorbiaceae	Mabea fistulifera Mart.
95	Euphorbiaceae	Microstachys bidentata (Mart.) F.Dietr.
		continua



ld	Família	Nome Científico
96	Euphorbiaceae	Ricinus communis L.
97	Fabaceae	Albizia niopoides (Spruce ex Benth.) Burkart
98	Fabaceae	Anadenanthera colubrina (Vell.) Brenan
99	Fabaceae	Anadenanthera peregrina (L.) Speg.
100	Fabaceae	Apuleia leiocarpa (Vogel) J.F.Macbr.
101	Fabaceae	Bionia tomentosa (Benth.) L.P.Queiroz
102	Fabaceae	Chamaecrista olesiphylla (Vogel) H.S.Irwin & Barneby
103	Fabaceae	Chamaecrista potentilla (Mart. ex Benth.) H.S.Irwin & Barneby Chamaecrista ramosa var. erythrocalyx (Benth.) H.S.Irwin &
104	Fabaceae	Barneby
105	Fabaceae	Chamaecrista rotundifolia (Pers.) Greene
106	Fabaceae	Copaifera langsdorffii Desf.
107	Fabaceae	Crotalaria martiana Benth.
108	Fabaceae	Crotalaria maypurensis Kunth
109	Fabaceae	Dalbergia miscolobium Benth.
110	Fabaceae	Dimorphandra mollis Benth.
111	Fabaceae	Dipteryx alata Vogel
112	Fabaceae	Enterolobium contortisiliquum (Vell.) Morong
113	Fabaceae	Enterolobium gummiferum (Mart.) J.F.Macbr.
114	Fabaceae	Erythrina verna Vell.
115	Fabaceae	Hymenaea courbaril L.
116	Fabaceae	Hymenaea martiana Hayne
117	Fabaceae	Hymenaea stigonocarpa Mart. ex Hayne
118	Fabaceae	Inga laurina (Sw.) Willd.
119	Fabaceae	Inga striata Benth.
120	Fabaceae	Inga vera subsp. affinis (DC.) T.D.Penn.
121	Fabaceae	Inga vera Willd.
122	Fabaceae	Leptolobium dasycarpum Vogel
123	Fabaceae	Leptolobium elegans Vogel
124	Fabaceae	Leucaena leucocephala (Lam.) de Wit
125	Fabaceae	Machaerium acutifolium Vogel
126	Fabaceae	Machaerium hirtum (Vell.) Stellfeld
127	Fabaceae	Machaerium opacum Vogel
128	Fabaceae	Machaerium scleroxylon Tul.
129	Fabaceae	Machaerium villosum Vogel
130	Fabaceae	Parkia platycephala Benth.
131	Fabaceae	Peltogyne confertiflora (Mart. ex Hayne) Benth.
132	Fabaceae	Peltophorum dubium (Spreng.) Taub.
133	Fabaceae	Periandra mediterranea (Vell.) Taub.
134	Fabaceae	Piptadenia gonoacantha (Mart.) J.F.Macbr.
135	Fabaceae	Plathymenia reticulata Benth.
136	Fabaceae	Platycyamus regnellii Benth
137	Fabaceae	Platypodium elegans Vogel
138	Fabaceae	Pterodon emarginatus Vogel
139	Fabaceae	Pterodon pubescens (Benth.) Benth.
140	Fabaceae	Pterogyne nitens Tul.
141	Fabaceae	Schizolobium parahyba (Vell.) Blake
142	Fabaceae	Schnella coronata (Benth.) Pittier
143	Fabaceae	Senegalia polyphylla (DC.) Britton & Rose
144	Fabaceae	Senegalia tenuifolia (L.) Britton & Rose
145	Fabaceae	Senna rugosa (G.Don) H.S.Irwin & Barneby
		continua



146 Fabaceae Senna silvestris (Vell.) H.S. Irwin & Barneby 147 Fabaceae Stryphnodendron adstringens (Mart.) Coville 148 Fabaceae Tachigali rubiginosa (Mart. ex Tul.) Oliveira-Filho 150 Fabaceae Vatairea macrocarpa (Benth.) Ducke 151 Gentianaceae Schultesia gradilis Mart. 152 Gesneriaceae Paliavana sericiflora Benth. 153 Gesneriaceae Sinningia allagophylla (Mart.) Wiehler 154 Gesneriaceae Sinningia magnifica (Otto & A. Dietr.) Wiehler 155 Gleicheniaceae Sinningia magnifica (Otto & A. Dietr.) Wiehler 156 Gleicheniaceae Sitcherus larusginosus (Feb) Nakai 157 Hypericaceae Vismia brasiliensis Choisy 158 Iridaceae Pseudotrimezia juncifolia (Klatt) Lovo & A. Gil 159 Lacistemataceae Lacistema hasslerianum Chodat 160 Lamiaceae Medusantha eriophylla (Pohl ex Benth.) Harley & J.F.B.Pastore 161 Lauraceaae Ocotea minarum (Nees & Mart) Mez 162 Lauraceaae Ocotea spixiana (Nees) Mez 163 Lauraceaae Ocotea spixiana (Nees) Mez 164 Lecythidaceae Cariniana estrellensis (Raddi) Kuntze 165 Lecythidaceae Banisteriopsis carpophylla (A. Juss.) B. Gates 166 Lythraceae Banisteriopsis cipoensis B. Gates 167 Malpighiaceae Banisteriopsis cipoensis B. Gates 168 Malpighiaceae Banisteriopsis cipoensis Mamede 170 Malpighiaceae Byrsonima basiloba A. Juss. 171 Malpighiaceae Byrsonima basiloba A. Juss. 172 Malpighiaceae Byrsonima hasilora Griseb. 173 Malpighiaceae Byrsonima laxiflora Griseb. 174 Malpighiaceae Byrsonima macrophylla (Pers.) W.R.Anderson 175 Malpighiaceae Byrsonima macrophylla (Pers.) W.R.Anderson 176 Malpighiaceae Byrsonima macrophylla (Pers.) W.R.Anderson 177 Malpighiaceae Byrsonima macrophylla (Pers.) W.R.Anderson 178 Malpighiaceae Byrsonima macrophylla (Pers.) W.R.Anderson 179 Malpighiaceae Byrsonima macrophylla (Pers.) W.R.Anderson 180 Malvaceae Eriotheca candolleana (K. Schum.) A. Robyns 181 Malvaceae Eriotheca candolleana (K. Schum.) A. Robyns 182 Malvaceae Eriotheca candolleana (K. Schum.) A. Robyns 183 Malvaceae Luehea macrophylla Pohl 184 Malvaceae Luehea macrophylla Pohl 185 Malvaceae Luehea macrophylla Pohl 186 Malvaceae L	ld	Família	Nome Científico
Tachigali rubiginosa (Mart. ex Tul.) Oliveira-Filho Fabaceae Yatairea macrocarpa (Benth.) Ducke Schullesia gracilis Mart. Fabaceae Vatairea macrocarpa (Benth.) Ducke Schullesia gracilis Mart. Fabaceae Pallavana sericillora Benth. Gesneriaceae Sinningia allagophylla (Mart.) Wiehler Gesneriaceae Sinningia magnifica (Otto & A.Dietr.) Wiehler José Gleicheniaceae Dicranopteris flexuosa (Schrad.) Underw. Sicherus lanuginosus (Feé) Nakai Hypericaceae Pseudotrimezia juncifolia (Klatt) Lovo & A.Gil Lacistemataceae Pseudotrimezia juncifolia (Klatt) Lovo & A.Gil Lacistemataceae Medusantha eriophylla (Pohl ex Benth.) Harley & J.F.B.Pastore Coctea minarum (Nees & Mart) Mez Lauraceaae Ocotea spixiana (Nees) Mez Carniana estrellensis (Raddi) Kuntze Lecythidaceae Persea americana Mill. Lecythidaceae Carniana estrellensis (Raddi) Kuntze Letythraceae Diplusodon uninervius Koehne Malpighiaceae Banisteriopsis carpestris (A.Juss.) B.Gates Malpighiaceae Banisteriopsis cipoensis B.Gates Malpighiaceae Byrsonima balibaba A.Juss. Malpighiaceae Byrsonima balibaba A.Juss. Malpighiaceae Byrsonima laxiflora Griseb. Malpighiaceae Byrsonima laxiflora Griseb. Malpighiaceae Byrsonima macrophylla (Pers.) W.R.Anderson Malpighiaceae Byrsonima habida (K.Schum.) A.Robyns Malvaceae Eriotheca candolleana (K.Schum.) A.Robyns	146	Fabaceae	Senna silvestris (Vell.) H.S. Irwin & Barneby
149 Fabaceae Tachigali rubiginosa (Mart. ex Tul.) Oliveira-Filho 150 Fabaceae Vatairea macrocarpa (Benth.) Ducke 151 Gentianaceae Schultesia gracilis Mart. 152 Gesneriaceae Palavara sericiliora Benth. 153 Gesneriaceae Sinningia allagophylla (Mart.) Wiehler 154 Gesneriaceae Sinningia magnifica (Otto & A.Dietr.) Wiehler 155 Gleicheniaceae Dicranopteris flexuosa (Schrad.) Underw. 156 Gleicheniaceae Vismia brasiliensis Cholsy 157 Hypericaceae Vismia brasiliensis Cholsy 158 Iridaceae Pseudotrimezia Juncifolia (Klatt) Lovo & A.Gil 159 Lacistemataceae Lacistema hassierianum Chodat 160 Lamiaceae Medusantha eriophylla (Pohl ex Benth.) Harley & J.F.B.Pastore 161 Lauraceaae Ocotea minarum (Nees & Mart) Mez 162 Lauraceaae Persea americana Mill. 164 Lecythidaceae Cariniana estrellensis (Raddi) Kuntze 165 Lecythidaceae Cariniana estrellensis (Raddi) Kuntze 166 Lythraceae Diplusodon uninervius Koehne 167 Malpighiaceae Banisteriopsis argyrophylla (A.Juss.) B.Gates 168 Malpighiaceae Banisteriopsis ciopensis B.Gates 170 Malpighiaceae Byrsonima basiloba A.Juss. 171 Malpighiaceae Byrsonima basiloba A.Juss. 172 Malpighiaceae Byrsonima basiloba A.Juss. 173 Malpighiaceae Byrsonima basiloba A.Juss. 174 Malpighiaceae Byrsonima dealiste Griseb. 175 Malpighiaceae Byrsonima macrophylla (Pers.) W.R.Anderson 176 Malpighiaceae Byrsonima phylla (Pers.) W.R.Anderson 177 Malpighiaceae Byrsonima phylla (Pers.) W.R.Anderson 178 Malpighiaceae Byrsonima phylla (Pers.) W.R.Anderson 179 Malpighiaceae Heteropterys coriacea A.Juss. 180 Malvaceae Luehea divaricata Mart. 181 Malvaceae Luehea divaricata Mart. 182 Malvaceae Luehea divaricata Mart. 183 Malvaceae Luehea divaricata Mart. 184 Malvaceae Luehea pariculata AStHill.	147	Fabaceae	Stryphnodendron adstringens (Mart.) Coville
150 Fabaceae Vatairea macrocarpa (Benth.) Ducke 151 Gentianaceae Schultesia gracilis Mart. 152 Gesneriaceae Paliavana sericiflora Benth. 153 Gesneriaceae Sinningia allagophylia (Mart.) Wiehler 154 Gesneriaceae Sinningia magnifica (Otto & A.Dietr.) Wiehler 155 Gleicheniaceae Sicherus lanuginosus (Fée) Nakai 157 Hypericaceae Vismia brasiliensis Choisy 158 Iridaceae Pseudotrimacia juncifolia (Natt) Lovo & A.Gil 159 Lacistemataceae Lacistema hasslerianum Chodat 160 Lamiaceae Medusantha eriophylia (Pohl ex Benth.) Harley & J.F.B.Pastore 161 Lauraceaae Ocotea minarum (Nees & Mart) Mez 162 Lauraceaae Ocotea spixiana (Nees) Mez 163 Lauraceaae Persea americana Mill. 164 Lecythidaceae Cariniana estrellensis (Raddi) Kuntze 165 Lecythidaceae Cariniana estrellensis (Raddi) Kuntze 166 Lythraceae Diplusodon uninervius Koehne 167 Malpighiaceae Banisteriopsis campestris (A.Juss.) B.Gates 168 Malpighiaceae Banisteriopsis campestris (A.Juss.) Little 169 Malpighiaceae Byrsonima basiloba A.Juss. 170 Malpighiaceae Byrsonima basiloba A.Juss. 171 Malpighiaceae Byrsonima laxiflora Griseb. 172 Malpighiaceae Byrsonima laxiflora Griseb. 173 Malpighiaceae Byrsonima laxiflora Griseb. 174 Malpighiaceae Byrsonima laxiflora Griseb. 175 Malpighiaceae Byrsonima laxiflora Griseb. 176 Malpighiaceae Byrsonima laxiflora Griseb. 177 Malpighiaceae Heteropterys campestris A.Juss. 178 Malpighiaceae Heteropterys campestris A.Juss. 179 Malpighiaceae Heteropterys coriacea A.Juss. 179 Malpighiaceae Heteropterys coriacea A.Juss. 181 Malvaceae Ceiba speciosa (A.S.tIII.) Ravenna 182 Malvaceae Eriotheca candolleana (K.Schum.) A.Robyns 183 Malvaceae Luehea macrophylla Pohl 184 Malvaceae Luehea divaricata Mart. 185 Malvaceae Luehea macrophylla Pohl 189 Malvaceae Luehea divaricata Mart. 180 Malvaceae Luehea paniculata Mart. 181 Malvaceae Luehea paniculata Mart. 182 Malvaceae Luehea paniculata Mart. 183 Malvaceae Luehea paniculata Mart. 184 Malvaceae Luehea paniculata Mart. 185 Malvaceae Sterulia striata A.StHil. 186 Malvaceae Luehea paniculata Mart. 187 Malvac	148	Fabaceae	Stryphnodendron rotundifolium Mart.
151 Gentianaceae Schultesia gracilis Mart. 152 Gesneriaceae Paliavana sericiflora Benth. 153 Gesneriaceae Sinningia allagophylla (Mart.) Wiehler 154 Gesneriaceae Sinningia magnifica (Otto & A.Dietr.) Wiehler 155 Gleicheniaceae Dicranopteris flexuosa (Schrad.) Underw. 156 Gleicheniaceae Visriae Dicranopteris flexuosa (Schrad.) Underw. 157 Hypericaceae Visriae brasiliensis Choley 158 Iridaceae Pseudotrimezia juncifolia (Klatt) Lovo & A.Gil 159 Lacistemataceae Lacistema hasslerianum Chodat 160 Lamiaceae Medusantha eriophylla (Pohl ex Benth.) Harley & J.F.B.Pastore 161 Lauraceaae Ocotea minarum (Nees & Mart) Mez 162 Lauraceaae Ocotea spixiana (Nees) Mez 163 Lauraceaae Persea americana Mill. 164 Lecythidaceae Cariniana estrellerias (Raddi) Kuntze 165 Lecythidaceae Cariniana estrellerias (Raddi) Kuntze 166 Lythraceae Diplusodon uninervius Koehne 167 Malpighiaceae Banisteriopsis argyrophylla (A.Juss.) B.Gates 168 Malpighiaceae Banisteriopsis carmpestris (A.Juss.) Little 169 Malpighiaceae Banisteriopsis cipoensis B.Gates 170 Malpighiaceae Byrsonima besiloba A.Juss. 171 Malpighiaceae Byrsonima cipoensis Mamede 172 Malpighiaceae Byrsonima macrophylla (Pers.) W.R.Anderson 173 Malpighiaceae Byrsonima macrophylla (Pers.) W.R.Anderson 174 Malpighiaceae Byrsonima macrophylla (Pers.) W.R.Anderson 175 Malpighiaceae Byrsonima pachyphyla A.Juss. 176 Malpighiaceae Byrsonima pachyphyla A.Juss. 178 Malpighiaceae Byrsonima pachyphyla (A.Juss.) 179 Malpighiaceae Heteropterys corriacea A.Juss. 180 Malpighiaceae Persandra pyroidea A.Juss. 181 Malvaceae Celba speciosa (A.StHil.) Ravenna 182 Malvaceae Helicteres sacarolha A.StHil., Juss. & Cambess. 183 Malvaceae Helicteres sacarolha A.StHil., Juss. & Cambess. 184 Malvaceae Helicteres acarolha Mart. 185 Malvaceae Helicteres acarolha Mart. 186 Malvaceae Luehea marcophylla Pohl 187 Malvaceae H	149	Fabaceae	Tachigali rubiginosa (Mart. ex Tul.) Oliveira-Filho
152 Gesneriaceae Paliavana sericiflora Benth. 153 Gesneriaceae Sinningia allagophylla (Mart.) Wiehler 154 Gesneriaceae Sinningia magnifica (Otto & A. Dietr.) Wiehler 155 Gleicheniaceae Dicranoptenis flexuosa (Schrad.) Underw. 156 Gleicheniaceae Vismia brasiliensis Choisy 157 Hypericaceae Vismia brasiliensis Choisy 158 Iridaceae Pesudortimezia Juncifolia (Klatt) Lovo & A.Gil 159 Lacistemataceae Aedusantha eriophylla (Pohl ex Benth.) Harley & J.F.B.Pastore 160 Lamiaceae Medusantha eriophylla (Pohl ex Benth.) Harley & J.F.B.Pastore 161 Lauraceaae Ocotea minarum (Nees & Mart) Mez 162 Lauraceaae Ocotea spixiana (Nees) Mez 163 Lauraceaae Cariniana estrellensis (Raddi) Kuntze 164 Lecythidaceae Cariniana estrellensis (Raddi) Kuntze 165 Lecythidaceae Cariniana estrellensis (Raddi) Kuntze 166 Lythraceae Diplusodon uninervius Koehne 167 Malpighiaceae Banisteriopsis argyrophylla (A. Juss.) B.Gates 168 Malpighiaceae Banisteriopsis corpoestris (A. Juss.) Little 169 Malpighiaceae Banisteriopsis si corpoestris (A. Juss.) Little 169 Malpighiaceae Byrsonima basiloba A. Juss. 171 Malpighiaceae Byrsonima basiloba A. Juss. 172 Malpighiaceae Byrsonima laxiflora Griseb. 173 Malpighiaceae Byrsonima laxiflora Griseb. 174 Malpighiaceae Byrsonima haxiflora Griseb. 175 Malpighiaceae Byrsonima pachyphylla (Pers.) W.R.Anderson 176 Malpighiaceae Byrsonima werbasoliolia (L.) D.C. 177 Malpighiaceae Heteropterys corracea A. Juss. 178 Malpighiaceae Heteropterys corracea A. Juss. 179 Malpighiaceae Heteropterys corracea A. Juss. 180 Malpighiaceae Forthoca candoleana (K. Schum.) A. Robyns 181 Malvaceae Eriotheca pubescers (Mart.) Schott & Endl. 182 Malvaceae Eriotheca pubescers (Mart.) Schott & Endl. 183 Malvaceae Luehea marcophylla Pohl 184 Malvaceae Luehea pariiculata Mart. 185 Malvaceae Luehea pariiculata Mart. 186 Malvaceae Luehea pariiculata Mart. 187 Malvaceae Luehea pariiculata Mart. 188 Malvaceae Luehea pariiculata AStHill. 189 Malvaceae Sterculia striata A.StHill. 190 Malvaceae Sterculia striata A.StHill. 191 Malvaceae Sterculia stri	150	Fabaceae	Vatairea macrocarpa (Benth.) Ducke
153 Gesneriaceae Sinningia allagophylla (Mart.) Wiehler 154 Gesneriaceae Sinningia magnifica (Otto & A Dietr.) Wiehler 155 Gleicheniaceae Dicranopteris flexuosa (Schrad.) Underw. 156 Gleicheniaceae Sicherus lanuginosus (Fée) Nakai 157 Hypericaceae Vismia brasiliensis Choisy 158 Indaceae Pseudotrimezia juncifolia (Klatt) Lovo & A.Gil 159 Lacistemataceae Lacistema hasslerianum Chodat 160 Lamiaceae Medusantha eriophylla (Pohl ex Benth.) Harley & J.F.B.Pastore 161 Lauraceaae Ocotea minarum (Nees & Mart) Mez 162 Lauraceaae Persea americana Mill. 164 Lecythidaceae Cariniana estrellensis (Raddi) Kuntze 165 Lecythidaceae Cariniana estrellensis (Raddi) Kuntze 166 Lythraceae Diplusodon uninervius Koehne 167 Malpighiaceae Banisteriopsis argyrophylla (A.Juss.) B.Gates 168 Malpighiaceae Banisteriopsis cipoensis B.Gates 170 Malpighiaceae Banisteriopsis cipoensis B.Gates 171 Malpighiaceae Byrsonima basiloba A.Juss. 172 Malpighiaceae Byrsonima basiloba A.Juss. 173 Malpighiaceae Byrsonima laxiflora Griseb. 174 Malpighiaceae Byrsonima laxiflora Griseb. 175 Malpighiaceae Byrsonima merbophylla (Pers.) W.R.Anderson 176 Malpighiaceae Byrsonima merbophylla (Pers.) W.R.Anderson 177 Malpighiaceae Byrsonima werbascifolia (L.) DC. 177 Malpighiaceae Byrsonima werbascifolia (L.) DC. 178 Malpighiaceae Heteropterys campestris A.Juss. 179 Malpighiaceae Heteropterys campestris A.Juss. 179 Malpighiaceae Heteropterys coriacea A.Juss. 179 Malpighiaceae Heteropterys coriacea A.Juss. 180 Malpighiaceae Premardra pyroidea A.Juss. 181 Malvaceae Firotheca candolleana (K.Schum.) A.Robyns 183 Malvaceae Firotheca Candolleana (K.Schum.) A.Robyns 184 Malvaceae Firotheca Candolleana (K.Schum.) A.Robyns 185 Malvaceae Luehea divaricata Mart. 186 Malvaceae Luehea divaricata Mart. 187 Malvaceae Luehea divaricata Mart. 188 Malvaceae Luehea divaricata Mart. 189 Malvaceae Luehea divaricata Mart. 190 Malvaceae Luehea divaricata Mart. 191 Malvaceae Luehea divaricata Mart. 192 Malvaceae Fieulia Striata A.StHill. & Naudin 193 Malvaceae Triumfetta altheacides Lam. 194	151	Gentianaceae	Schultesia gracilis Mart.
154 Gesneriaceae Sinningia magnifica (Otto & A.Dietr.) Wiehler 156 Gleicheniaceae Dicranopteris flexuosa (Schrad.) Underw. 157 Hypericaceae Vismia brasiliensis Choisy 158 Iridaceae Pseudotrimezia juncifolia (Klatt) Lovo & A.Gil 159 Lacistemataceae Lacistema hasslerianum Chodat 160 Lamiaceae Medusantha eriophylla (Pohl ex Benth.) Harley & J.F.B.Pastore 161 Lauraceaae Ocotea minarum (Nees & Mart) Mez 162 Lauraceaae Persea americana Mill. 164 Lecythidaceae Cariniana estrellensis (Raddi) Kuntze 165 Lecythidaceae Cariniana estrellensis (Raddi) Kuntze 166 Lythraceae Diplusodon uninervius Koehne 167 Malpighiaceae Banisteriopsis cryprophylla (A.Juss.) B.Gates 168 Malpighiaceae Banisteriopsis cipoensis B.Gates 170 Malpighiaceae Byrsonima basiloba A.Juss. 171 Malpighiaceae Byrsonima dealbata Griseb. 172 Malpighiaceae Byrsonima dealbata Griseb. 173 Malpighiaceae Byrsonima hasifora Griseb. 174 Malpighiaceae Byrsonima macrophylla (Pers.) W.R.Anderson 175 Malpighiaceae Byrsonima pachyphylla A.Juss. 176 Malpighiaceae Byrsonima pachyphylla A.Juss. 177 Malpighiaceae Byrsonima pachyphylla (Pers.) W.R.Anderson 178 Malpighiaceae Byrsonima pachyphylla (Pers.) W.R.Anderson 179 Malpighiaceae Heteropterys coriacea A.Juss. 179 Malpighiaceae Heteropterys coriacea A.Juss. 180 Malpighiaceae Heteropterys coriacea A.Juss. 181 Malvaceae Ceiba speciosa (A.StHil.) Ravenna 182 Malvaceae Eriotheca candolleana (K.Schum.) A.Robyns 183 Malvaceae Eriotheca pubescens (Mart.) Schott & Endl. 184 Malvaceae Luehea divaricata Mart. 185 Malvaceae Luehea divaricata Mart. 186 Malvaceae Luehea divaricata Mart. 187 Malvaceae Luehea paniculata Mart. 188 Malvaceae Luehea paniculata Mart. 189 Malvaceae Luehea paniculata Mart. 180 Malvaceae Luehea paniculata Mart. 181 Malvaceae Luehea paniculata Mart. 182 Malvaceae Luehea paniculata Mart. 183 Malvaceae Luehea paniculata Mart. 184 Malvaceae Luehea paniculata Mart. 185 Malvaceae Luehea paniculata Mart. 186 Malvaceae Luehea paniculata Mart. 187 Malvaceae Luehea paniculata Mart. 188 Malvaceae Luehea paniculata Mart.	152	Gesneriaceae	Paliavana sericiflora Benth.
155 Gleicheniaceae Dicranopteris flexuosa (Schrad.) Underw. 156 Gleicheniaceae Sticherus lanuginosus (Fée) Nakai 157 Hypericaceae Vismia brasiliensis Choisy 158 Inidaceae Pseudotrimezia juncifolia (Klatt) Lovo & A.Gil 159 Lacistemataceae Lacistema hasslerianum Chodat 160 Lamiaceae Medusantha eriophylla (Pohl ex Benth.) Harley & J.F.B.Pastore 161 Lauraceaae Ocotea minarum (Nees & Mart) Mez 162 Lauraceaae Persea americana Mill. 164 Lecythidaceae Cariniana estrellensis (Raddi) Kuntze 165 Lecythidaceae Cariniana legalis (Mart.) Kuntze 166 Lythraceae Diplusodon uninervius Koehne 167 Malpighiaceae Banisteriopsis campestris (A.Juss.) B.Gates 168 Malpighiaceae Banisteriopsis campestris (A.Juss.) Little 169 Malpighiaceae Byrsonima basiloba A.Juss. 170 Malpighiaceae Byrsonima dealbata Griseb. 171 Malpighiaceae Byrsonima dealbata Griseb. 172 Malpighiaceae Byrsonima macrophylla (Pers.) W.R.Anderson 173 Malpighiaceae Byrsonima macrophylla (Pers.) W.R.Anderson 174 Malpighiaceae Byrsonima macrophylla (L.) DC. 175 Malpighiaceae Byrsonima macrophylla (L.) DC. 176 Malpighiaceae Heteropterys campestris A.Juss. 177 Malpighiaceae Byrsonima macrophylla (Pers.) W.R.Anderson 178 Malpighiaceae Byrsonima pachyphylla A.Juss. 179 Malpighiaceae Heteropterys coriacea A.Juss. 180 Malpighiaceae Firotheca puposcosa (A.StHil.) Ravenna 181 Malvaceae Ceiba speciosa (A.StHil.) Ravenna 182 Malvaceae Eriotheca pubescens (Mart.) Schott & Endl. 183 Malvaceae Eriotheca pubescens (Mart.) Schott & Endl. 184 Malvaceae Luehea divaricata Mart. 185 Malvaceae Luehea paniculata Mart. 186 Malvaceae Luehea paniculata Mart. 187 Malvaceae Luehea paniculata Mart. 188 Malvaceae Luehea paniculata Mart. 189 Malvaceae Luehea paniculata Mart. 190 Malvaceae Firitheca Secolosia hilariana (Kunth) DC 171 Firitzschiia sertularia (Schrank & Mart. ex DC.) M.J.R.Rocha & P.J.F.Guim. 191 Melastomataceae	153	Gesneriaceae	Sinningia allagophylla (Mart.) Wiehler
156 Gleicheniaceae Sticherus lanuginosus (Fée) Nakai 157 Hypericaceae Vismia brasiliensis Choisy 158 Iridaceae Pseudotrimezia juncifolia (Klatt) Lovo & A.Gil 159 Lacistemataceae Lacistema hasslerianum Chodat 160 Lamiaceae Medusantha eriophylla (Pohl ex Benth.) Harley & J.F.B.Pastore 161 Lauraceaae Ocotea minarum (Nees & Mart) Mez 162 Lauraceaae Persea americana Mill. 164 Lecythidaceae Cariniana estrellensis (Raddi) Kuntze 165 Lecythidaceae Cariniana legalis (Mart). Kuntze 166 Lythraceae Diplusodon uninervius Koehne 167 Malpighiaceae Banisteriopsis argyrophylla (A.Juss.) B.Gates 168 Malpighiaceae Banisteriopsis campestris (A.Juss.) Little 169 Malpighiaceae Banisteriopsis compensis B.Gates 170 Malpighiaceae Byrsonima basiloba A.Juss. 171 Malpighiaceae Byrsonima dealbata Griseb. 172 Malpighiaceae Byrsonima dealbata Griseb. 173 Malpighiaceae Byrsonima macrophylla (Pers.) W.R.Anderson 175 Malpighiaceae Byrsonima macrophylla (Pers.) W.R.Anderson 176 Malpighiaceae Byrsonima pachyphylla A.Juss. 177 Malpighiaceae Heteropterys campestris A.Juss. 178 Malpighiaceae Heteropterys campestris A.Juss. 179 Malpighiaceae Heteropterys campestris A.Juss. 179 Malpighiaceae Heteropterys campestris A.Juss. 179 Malpighiaceae Heteropterys campestris A.Juss. 180 Malpighiaceae Heteropterys campestris A.Juss. 181 Malvaceae Caiba speciosa (A.StHil.) Ravenna 182 Malvaceae Eriotheca candolleana (K.Schum.) A.Robyns 183 Malvaceae Eriotheca candolleana (K.Schum.) A.Robyns 184 Malvaceae Luehea draricata Mart. 185 Malvaceae Luehea grandiflora Mart. 186 Malvaceae Luehea grandiflora Mart. 187 Malvaceae Luehea grandiflora Mart. 188 Malvaceae Luehea paniculata Mart. 189 Malvaceae Magonia pubescens A.StHill. 180 Malvaceae Luehea paniculata Mart. 181 Malvaceae Serucila striata A.StHill. & Naudin 182 Malvaceae Luehea paniculata Mart. 183 Malvaceae Serucila striata A.StHill. & Naudin 184 Malvaceae Serucila striata A.StHill. & Naudin 185 Malvaceae Serucila striata A.StHill. & Naudin 189 Malvaceae Serucila striata A.StHill. & Naudin 190 Malvac	154	Gesneriaceae	Sinningia magnifica (Otto & A.Dietr.) Wiehler
157 Hypericaceae Vismia brasiliensis Choisy 158 Iridaceae Pseudotrimezia juncifolia (Klatt) Lovo & A.Gil 159 Lacistemataceae Lacistema hassierianum Chodat 160 Lamiaceae Medusantha eriophylla (Pohl ex Benth.) Harley & J.F.B.Pastore 161 Lauraceaae Ocotea minarum (Nees & Mart) Mez 162 Lauraceaae Persea americana Mill. 164 Lecythidaceae Cariniana estrellensis (Raddi) Kuntze 165 Lecythidaceae Diplusodon uninervius Koehne 166 Lythraceae Diplusodon uninervius Koehne 167 Malpighiaceae Banisteriopsis argyrophylla (A.Juss.) B.Gates 168 Malpighiaceae Banisteriopsis campestris (A.Juss.) Little 169 Malpighiaceae Byrsonima basiloba A.Juss. 170 Malpighiaceae Byrsonima dealbata Griseb. 171 Malpighiaceae Byrsonima laxilfora Griseb. 172 Malpighiaceae Byrsonima laxilfora Griseb. 173 Malpighiaceae Byrsonima macrophylla (Pers.) W.R.Anderson 174 Malpighiaceae Byrsonima pachyphylla A.Juss. 175 Malpighiaceae Byrsonima macrophylla (Pers.) W.R.Anderson 176 Malpighiaceae Byrsonima perhypsicilia (L.) DC. 177 Malpighiaceae Byrsonima verbascifolia (L.) DC. 178 Malpighiaceae Heteropterys cariacea A.Juss. 179 Malpighiaceae Heteropterys cariacea A.Juss. 179 Malpighiaceae Pterandra pyroidea A.Juss. 180 Malpighiaceae Pterandra pyroidea A.Juss. 181 Malvaceae Celiba speciosa (A.StHil.) Ravenna 182 Malvaceae Eriotheca candolleana (K.Schum.) A.Robyns 183 Malvaceae Helicteres sacarolina A.StHil., Juss. & Cambess. 184 Malvaceae Luehea divaricata Mart. 185 Malvaceae Luehea divaricata Mart. 186 Malvaceae Luehea macrophylla Pohl 189 Malvaceae Magonia pubescens (Mart.) Schott & Endl. 180 Malvaceae Iuehea macrophylla Pohl 181 Malvaceae Sterculia striata A.StHil. & Naudin 182 Malvaceae Friotheca pubescens (Mart.) A.Robyns 183 Malvaceae Iuehea macrophylla Pohl 184 Malvaceae Sterculia striata A.StHil. & Naudin 185 Malvaceae Friotheca pubescens (Mart.) A.Robyns 186 Malvaceae Friotheca pubescens (Mart.) A.Robyns 187 Malvaceae Friotheca pubescens (Mart.) A.Robyns 189 Malvaceae Friotheca estimata (Schrank & Mart. ex DC.) M.J.R.Rocha & P.J.F.Guim. 189 Mela	155	Gleicheniaceae	Dicranopteris flexuosa (Schrad.) Underw.
Iridaceae Pseudotrimezia juncifolia (Klatt) Lovo & A.Gil Lacistemataceae Lacistema hasslerianum Chodat Medusantha eriophylla (Pohl ex Benth.) Harley & J.F.B.Pastore Coctea minarum (Nees & Mart) Mez Lauraceaae Ocotea minarum (Nees & Mart) Mez Lauraceaae Persea americana Mill. Lecythidaceae Cariniana estrellensis (Raddi) Kuntze Lecythidaceae Diplusodon uninervius Koehne Lecythidaceae Banisteriopsis argyrophylla (A.Juss.) B.Gates Malpighiaceae Banisteriopsis campestris (A.Juss.) B.Gates Malpighiaceae Banisteriopsis copensis B.Gates Malpighiaceae Banisteriopsis copensis B.Gates Malpighiaceae Byrsonima basiloba A.Juss. Malpighiaceae Byrsonima dealbata Griseb. Malpighiaceae Byrsonima laxiflora Griseb. Malpighiaceae Byrsonima macrophylla (Pers.) W.R.Anderson Malpighiaceae Byrsonima macrophylla (Pers.) W.R.Anderson Malpighiaceae Byrsonima pachyphylia A.Juss. Malpighiaceae Byrsonima pachyphylia A.Juss. Malpighiaceae Byrsonima macrophylla (Pers.) W.R.Anderson Malpighiaceae Byrsonima pachyphylia (A.Juss.) Malpighiaceae Heteropterys campestris A.Juss. Malpighiaceae Heteropterys campestris A.Juss. Malpighiaceae Heteropterys campestris A.Juss. Malpighiaceae Pterandra pyroidea A.Juss. Malpighiaceae Pterandra pyroidea A.Juss. Malvaceae Celba speciosa (A.StHil.) Ravenna Malvaceae Eriotheca candolleana (K.Schum.) A.Robyns Malvaceae Eriotheca candolleana (K.Schum.) A.Robyns Malvaceae Luehea divaricata Mart. Malvaceae Luehea divaricata Mart. Malvaceae Luehea macrophylla Pohl Malvaceae Magonia pubescens (Mart.) S.A. Robyns Malvaceae Magonia pubescens A.StHil. Malvaceae Sterculia striata A.StHil. Naudin Malvaceae Sterculia striata A.StHil. & Naudin Triumfetta althaeoides Lam. Cambessedesia hilariana (Kunth) DC Fritzschia sertularia (Schrank & Mart. ex DC.) M.J.R.Rocha & P.J.F.Guim.	156	Gleicheniaceae	Sticherus lanuginosus (Fée) Nakai
Lacistemataceae Lacistema hasslerianum Chodat Medusantha eriophylla (Pohl ex Benth.) Harley & J.F.B.Pastore Ocotea minarum (Nees & Mart) Mez Lauraceaae Ocotea minarum (Nees & Mart) Mez Lauraceaae Persea americana Mill. Lecythidaceae Cariniana estrellensis (Raddi) Kuntze Lecythidaceae Cariniana estrellensis (Raddi) Kuntze Lecythidaceae Diplusodon uninervius Koehne Malpighiaceae Banisteriopsis argyrophylla (A.Juss.) B.Gates Malpighiaceae Banisteriopsis campestris (A.Juss.) Little Malpighiaceae Banisteriopsis cipoensis B.Gates Malpighiaceae Byrsonima basiloba A.Juss. Malpighiaceae Byrsonima dealbata Griseb. Malpighiaceae Byrsonima dealbata Griseb. Malpighiaceae Byrsonima macrophylla (Pers.) W.R.Anderson Malpighiaceae Byrsonima macrophylla (Pers.) W.R.Anderson Malpighiaceae Byrsonima pachyphylla A.Juss. Malpighiaceae Byrsonima verbascifolia (L.) DC. Malpighiaceae Heteropterys campestris A.Juss. Malpighiaceae Heteropterys coriacea A.Juss. Malpighiaceae Pterandra pyrroidea A.Juss. Malpighiaceae Pterandra pyrroidea A.Juss. Malpighiaceae Pterandra pyrroidea A.Juss. Malvaceae Ceiba speciosa (A.StHil.) Ravenna Eriotheca candolleana (K. Schum.) A. Robyns Malvaceae Eriotheca pubescens (Mart.) Schott & Endl. Malvaceae Eriotheca pubescens (Mart.) Schott & Endl. Malvaceae Luehea grandiflora Mart. Malvaceae Luehea macrophylla Pohl Malvaceae Luehea paniculata Mart. Malvaceae Magonia pubescens A.StHil. Malvaceae Pseudobombax longiflorum (Mart.) A. Robyns Malvaceae Triumfetta althaeoides Lam. Cambessedesia hilariana (Kunth) DC Fritzschia sertularia (Schrank & Mart. ex DC.) M.J.R.Rocha & P.J.F.Guim.	157	Hypericaceae	Vismia brasiliensis Choisy
160LamiaceaeMedusantha eriophylla (Pohl ex Benth.) Harley & J.F.B.Pastore161LauraceaaeOcotea minarum (Nees & Mart) Mez162LauraceaaeOcotea spixiana (Nees) Mez163LauraceaaePersea americana Mill.164LecythidaceaeCariniana estrellensis (Raddi) Kuntze165LecythidaceaeDiplusodon uninervius Koehne166LythraceaeDiplusodon uninervius Koehne167MalpighiaceaeBanisteriopsis argyrophylla (A.Juss.) B.Gates168MalpighiaceaeBanisteriopsis cipoensis B.Gates170MalpighiaceaeByrsonima basiloba A.Juss.171MalpighiaceaeByrsonima dealbata Griseb.172MalpighiaceaeByrsonima dealbata Griseb.173MalpighiaceaeByrsonima macrophylla (Pers.) W.R.Anderson175MalpighiaceaeByrsonima pachyphylla A.Juss.176MalpighiaceaeByrsonima verbascifolia (L.) DC.177MalpighiaceaeHeteropterys coriacea A.Juss.178MalpighiaceaeHeteropterys coriacea A.Juss.179MalpighiaceaeHeteropterys coriacea A.Juss.180MalpighiaceaeHeteropterys coriacea A.Juss.181MalvaceaeEriotheca pubescens (Mart.) Schott & Endl.182MalvaceaeEriotheca pubescens (Mart.) Schott & Endl.183MalvaceaeEriotheca pubescens (Mart.) Schott & Endl.184MalvaceaeLuehea divaricata Mart.185MalvaceaeLuehea grandiilora Mart.186MalvaceaeLuehea	158	Iridaceae	Pseudotrimezia juncifolia (Klatt) Lovo & A.Gil
161 Lauraceaae Ocotea minarum (Nees & Mart) Mez 162 Lauraceaae Ocotea spixiana (Nees) Mez 163 Lauraceaae Persea americana Mill. 164 Lecythidaceae Cariniana estrellensis (Raddi) Kuntze 165 Lecythidaceae Cariniana legalis (Mart.) Kuntze 166 Lythraceae Diplusodon uninervius Koehne 167 Malpighiaceae Banisteriopsis argyrophylla (A.Juss.) B.Gates 168 Malpighiaceae Banisteriopsis cipoensis (A.Juss.) Little 169 Malpighiaceae Byrsonima basiloba A.Juss. 170 Malpighiaceae Byrsonima basiloba A.Juss. 171 Malpighiaceae Byrsonima oipoensis Mamede 172 Malpighiaceae Byrsonima dealbata Griseb. 173 Malpighiaceae Byrsonima macrophylla (Pers.) W.R.Anderson 174 Malpighiaceae Byrsonima macrophylla (Pers.) W.R.Anderson 175 Malpighiaceae Byrsonima pachyphylla A.Juss. 176 Malpighiaceae Byrsonima verbascifolia (L.) DC. 177 Malpighiaceae Heteropterys campestris A.Juss. 178 Malpighiaceae Heteropterys campestris A.Juss. 179 Malpighiaceae Heteropterys coriacea A.Juss. 179 Malpighiaceae Heteropterys coriacea A.Juss. 180 Malpighiaceae Perandra pyroidea A.Juss. 181 Malvaceae Celba speciosa (A.StHil.) Ravenna 182 Malvaceae Eriotheca candolleana (K.Schum.) A.Robyns 183 Malvaceae Eriotheca candolleana (K.Schum.) A.Robyns 184 Malvaceae Helicteres sacarolha A.StHil., Juss. & Cambess. 185 Malvaceae Luehea divaricata Mart. 186 Malvaceae Luehea divaricata Mart. 187 Malvaceae Luehea macrophylla Pohl 188 Malvaceae Luehea macrophylla Pohl 189 Malvaceae Magonia pubescens A.StHil. 180 Malvaceae Luehea macrophylla Pohl 180 Malvaceae Magonia pubescens A.StHil. 181 Malvaceae Magonia pubescens A.StHil. 182 Malvaceae Magonia pubescens A.StHil. 183 Malvaceae Luehea pariculata Mart. 184 Malvaceae Luehea pariculata Mart. 185 Malvaceae Luehea pariculata Mart. 186 Malvaceae Luehea pariculata Mart. 187 Malvaceae Luehea pariculata Mart. 188 Malvaceae Luehea pariculata Mart. 189 Malvaceae Luehea pariculata Mart. 190 Malvaceae Magonia pubescens A.StHil. 191 Malvaceae Pseudobombax longiflorum (Mart.) A.Robyns 192 Malvaceae Frictula (Schrank & Mart. ex DC.) M	159	Lacistemataceae	Lacistema hasslerianum Chodat
162 Lauraceaae Ocotea spixiana (Nees) Mez 163 Lauraceaae Persea americana Mill. 164 Lecythidaceae Cariniana estrellensis (Raddi) Kuntze 165 Lecythidaceae Diplusodon uninervius Koehne 166 Lythraceae Diplusodon uninervius Koehne 167 Malpighiaceae Banisteriopsis argyrophyla (A.Juss.) B.Gates 168 Malpighiaceae Banisteriopsis campestris (A.Juss.) Little 169 Malpighiaceae Byrsonima basiloba A.Juss. 170 Malpighiaceae Byrsonima basiloba A.Juss. 171 Malpighiaceae Byrsonima dealbata Griseb. 172 Malpighiaceae Byrsonima laxiflora Griseb. 173 Malpighiaceae Byrsonima laxiflora Griseb. 174 Malpighiaceae Byrsonima macrophylla (Pers.) W.R.Anderson 175 Malpighiaceae Byrsonima verbascifolia (L.) DC. 176 Malpighiaceae Byrsonima verbascifolia (L.) DC. 177 Malpighiaceae Heteropterys coriacea A.Juss. 178 Malpighiaceae Heteropterys coriacea A.Juss. 179 Malpighiaceae Heteropterys coriacea A.Juss. 179 Malpighiaceae Pterandra pyroidea A.Juss. 180 Malpighiaceae Pterandra pyroidea A.Juss. 181 Malvaceae Ceiba speciosa (A.StHil.) Ravenna 182 Malvaceae Eriotheca candolleana (K.Schum.) A.Robyns 183 Malvaceae Eriotheca pubescens (Mart.) Schott & Endl. 184 Malvaceae Luehea divaricata Mart. 185 Malvaceae Luehea grandiflora Mart. 186 Malvaceae Luehea grandiflora Mart. 187 Malvaceae Luehea macrophylla Pohl 189 Malvaceae Magonia pubescens A.StHil. 190 Malvaceae Friumfetta althaeoides Lam. 191 Malvaceae Sterculia striata A.StHil. & Naudin 192 Malvaceae Triumfetta althaeoides Lam. 193 Malvaceae Triumfetta althaeoides Lam. 194 Melastomataceae Frizotheca Cambessedesia hiliariana (Kunth) DC 195 Melastomataceae F.J.F.Guim.	160	Lamiaceae	Medusantha eriophylla (Pohl ex Benth.) Harley & J.F.B.Pastore
163 Lauraceaae Persea americana Mill. 164 Lecythidaceae Cariniana estrellensis (Raddi) Kuntze 165 Lecythidaceae Diplusodon uninervius Koehne 167 Malpighiaceae Banisteriopsis argyrophylla (A.Juss.) B.Gates 168 Malpighiaceae Banisteriopsis campestris (A.Juss.) Little 169 Malpighiaceae Banisteriopsis campestris (A.Juss.) Little 169 Malpighiaceae Byrsonima basiloba A.Juss. 170 Malpighiaceae Byrsonima basiloba A.Juss. 171 Malpighiaceae Byrsonima dealbata Griseb. 172 Malpighiaceae Byrsonima laxiflora Griseb. 173 Malpighiaceae Byrsonima laxiflora Griseb. 174 Malpighiaceae Byrsonima macrophylla (Pers.) W.R.Anderson 175 Malpighiaceae Byrsonima pachyphylla A.Juss. 176 Malpighiaceae Byrsonima verbascifolia (L.) DC. 177 Malpighiaceae Heteropterys campestris A.Juss. 178 Malpighiaceae Heteropterys campestris A.Juss. 179 Malpighiaceae Heteropterys coriacea A.Juss. 180 Malpighiaceae Heteropterys coriacea A.Juss. 181 Malvaceae Ceiba speciosa (A.StHil.) Ravenna 182 Malvaceae Eriotheca candolleana (K.Schum.) A.Robyns 183 Malvaceae Eriotheca pubescens (Mart.) Schott & Endl. 184 Malvaceae Guazuma ulmifolia Lam. 185 Malvaceae Luehea divaricata Mart. 186 Malvaceae Luehea divaricata Mart. 187 Malvaceae Luehea paniculata Mart. 188 Malvaceae Luehea paniculata Mart. 189 Malvaceae Magonia pubescens A.StHil. 190 Malvaceae Pseudobombax longiflorum (Mart.) A.Robyns 191 Malvaceae Sterculia striata A.StHil. & Naudin 193 Malvaceae Triumfetta althaeoides Lam. 194 Melastomataceae F.J.F.Guim. 195 Melastomataceae P.J.F.Guim.	161	Lauraceaae	Ocotea minarum (Nees & Mart) Mez
164 Lecythidaceae Cariniana estrellensis (Raddi) Kuntze 165 Lecythidaceae Cariniana legalis (Mart.) Kuntze 166 Lythraceae Diplusodon uninervius Koehne 167 Malpighiaceae Banisteriopsis argyrophylla (A.Juss.) B.Gates 168 Malpighiaceae Banisteriopsis cipoensis (A.Juss.) Little 169 Malpighiaceae Byrsonima basiloba A.Juss. 170 Malpighiaceae Byrsonima basiloba A.Juss. 171 Malpighiaceae Byrsonima cipoensis Mamede 172 Malpighiaceae Byrsonima dealbata Griseb. 173 Malpighiaceae Byrsonima laxiilora Griseb. 174 Malpighiaceae Byrsonima macrophylla (Pers.) W.R.Anderson 175 Malpighiaceae Byrsonima pachyphylla A.Juss. 176 Malpighiaceae Byrsonima verbascifolia (L.) DC. 177 Malpighiaceae Heteropterys campestris A.Juss. 178 Malpighiaceae Heteropterys campestris A.Juss. 179 Malpighiaceae Heteropterys coriacea A.Juss. 179 Malpighiaceae Mascagnia cordifolia (A.Juss.) Griseb. 180 Malpighiaceae Pterandra pyroidea A.Juss. 181 Malvaceae Ceiba speciosa (A.StHil.) Ravenna 182 Malvaceae Eriotheca candolleana (K.Schum.) A.Robyns 183 Malvaceae Eriotheca pubescens (Mart.) Schott & Endl. 184 Malvaceae Guazuma ulmifolia Lam. 185 Malvaceae Luehea divaricata Mart. 186 Malvaceae Luehea divaricata Mart. 187 Malvaceae Luehea paniculata Mart. 188 Malvaceae Luehea paniculata Mart. 189 Malvaceae Magonia pubescens A.StHil. 180 Malvaceae Pseudobombax longiflorum (Mart.) A.Robyns 191 Malvaceae Triumfetta althaeoides Lam. 192 Malvaceae Triumfetta althaeoides Lam. 193 Malvaceae Triumfetta althaeoides Lam. 194 Melastomataceae P.J.F.Guim.	162	Lauraceaae	Ocotea spixiana (Nees) Mez
165 Leythidaceae Cariniana legalis (Mart.) Kuntze 166 Lythraceae Diplusodon uninervius Koehne 167 Malpighiaceae Banisteriopsis argyrophylla (A.Juss.) B.Gates 168 Malpighiaceae Banisteriopsis campestris (A.Juss.) Little 169 Malpighiaceae Byrsonima basiloba A.Juss. 170 Malpighiaceae Byrsonima basiloba A.Juss. 171 Malpighiaceae Byrsonima cipoensis Mamede 172 Malpighiaceae Byrsonima dealbata Griseb. 173 Malpighiaceae Byrsonima laxiflora Griseb. 174 Malpighiaceae Byrsonima macrophylla (Pers.) W.R.Anderson 175 Malpighiaceae Byrsonima pachyphylla A.Juss. 176 Malpighiaceae Byrsonima verbascifolia (L.) DC. 177 Malpighiaceae Byrsonima verbascifolia (L.) DC. 177 Malpighiaceae Heteropterys campestris A.Juss. 178 Malpighiaceae Heteropterys coriacea A.Juss. 179 Malpighiaceae Mascagnia cordifolia (A.Juss.) Griseb. 180 Malpighiaceae Prerandra pyroidea A.Juss. 181 Malvaceae Ceiba speciosa (A.StHil.) Ravenna 182 Malvaceae Eriotheca candolleana (K.Schum.) A.Robyns 183 Malvaceae Eriotheca pubescens (Mart.) Schott & Endl. 184 Malvaceae Guazuma ulmifolia Lam. 185 Malvaceae Helicteres sacarolha A.StHil., Juss. & Cambess. 186 Malvaceae Luehea divaricata Mart. 187 Malvaceae Luehea grandiflora Mart. 188 Malvaceae Luehea macrophylla Pohl 189 Malvaceae Magonia pubescens A.StHil. 190 Malvaceae Pseudobombax longiflorum (Mart.) A.Robyns 191 Malvaceae Triumfetta althaeoides Lam. 192 Malvaceae Triumfetta althaeoides Lam. 193 Malvaceae Triumfetta althaeoides Lam. 194 Melastomataceae P.J.F.Guim.	163	Lauraceaae	Persea americana Mill.
166 Lythraceae Diplusodon uninervius Koehne 167 Malpighiaceae Banisteriopsis argyrophylla (A.Juss.) B.Gates 168 Malpighiaceae Banisteriopsis campestris (A.Juss.) Little 169 Malpighiaceae Banisteriopsis cipoensis B.Gates 170 Malpighiaceae Byrsonima basiloba A.Juss. 171 Malpighiaceae Byrsonima dealbata Griseb. 172 Malpighiaceae Byrsonima laxiflora Griseb. 173 Malpighiaceae Byrsonima laxiflora Griseb. 174 Malpighiaceae Byrsonima macrophylla (Pers.) W.R.Anderson 175 Malpighiaceae Byrsonima pachyphylla A.Juss. 176 Malpighiaceae Byrsonima verbascifolia (L.) DC. 177 Malpighiaceae Byrsonima verbascifolia (L.) DC. 177 Malpighiaceae Heteropterys campestris A.Juss. 178 Malpighiaceae Heteropterys coriacea A.Juss. 179 Malpighiaceae Heteropterys coriacea A.Juss. 180 Malpighiaceae Prerandra pyroidea A.Juss.) Griseb. 181 Malvaceae Ceiba speciosa (A.StHil.) Ravenna 182 Malvaceae Eriotheca candolleana (K.Schum.) A.Robyns 183 Malvaceae Eriotheca candolleana (K.Schum.) A.Robyns 184 Malvaceae Guazuma ulmifolia Lam. 185 Malvaceae Helicteres sacarolha A.StHil., Juss. & Cambess. 186 Malvaceae Helicteres sacarolha A.StHil., Juss. & Cambess. 187 Malvaceae Luehea divaricata Mart. 188 Malvaceae Luehea macrophylla Pohl 189 Malvaceae Luehea paniculata Mart. 189 Malvaceae Luehea paniculata Mart. 180 Malvaceae Feeudobombax longiflorum (Mart.) A.Robyns 181 Malvaceae Sterculia striata A.StHil. & Naudin 182 Malvaceae Triumfetta althaeoides Lam. 183 Malvaceae Triumfetta althaeoides Lam. 184 Malvaceae Triumfetta althaeoides Lam. 185 Malvaceae Triumfetta althaeoides Lam. 186 Malvaceae Triumfetta althaeoides Lam. 187 Malvaceae Triumfetta althaeoides Lam. 188 Malvaceae Triumfetta althaeoides Lam. 189 Malvaceae Triumfetta althaeoides Lam. 180 Malvaceae Triumfetta althaeoides Lam. 181 Malvaceae Triumfetta althaeoides Lam.	164	Lecythidaceae	Cariniana estrellensis (Raddi) Kuntze
167MalpighiaceaeBanisteriopsis argyrophylla (A.Juss.) B.Gates168MalpighiaceaeBanisteriopsis campestris (A.Juss.) Little169MalpighiaceaeBanisteriopsis cipoensis B.Gates170MalpighiaceaeByrsonima basiloba A.Juss.171MalpighiaceaeByrsonima cipoensis Mamede172MalpighiaceaeByrsonima dealbata Griseb.173MalpighiaceaeByrsonima laxiflora Griseb.174MalpighiaceaeByrsonima macrophylla (Pers.) W.R.Anderson175MalpighiaceaeByrsonima verbascifolia (L.) DC.177MalpighiaceaeHeteropterys campestris A.Juss.178MalpighiaceaeHeteropterys coriacea A.Juss.179MalpighiaceaeHeteropterys coriacea A.Juss.180MalpighiaceaePterandra pyroidea A.Juss.181MalvaceaeCeiba speciosa (A.StHil.) Ravenna182MalvaceaeEriotheca candolleana (K.Schum.) A.Robyns183MalvaceaeEriotheca candolleana (K.Schum.) A.Robyns184MalvaceaeEriotheca pubescens (Mart.) Schott & Endl.185MalvaceaeLuehea divaricata Mart.186MalvaceaeLuehea divaricata Mart.187MalvaceaeLuehea grandiflora Mart.188MalvaceaeLuehea paniculata Mart.190MalvaceaeLuehea paniculata Mart.191MalvaceaePseudobombax longiflorum (Mart.) A.Robyns192MalvaceaeSterculia striata A.StHil. & Naudin193MalvaceaeTriumfetta althaeoides Lam. <td>165</td> <td>Lecythidaceae</td> <td>Cariniana legalis (Mart.) Kuntze</td>	165	Lecythidaceae	Cariniana legalis (Mart.) Kuntze
168MalpighiaceaeBanisteriopsis campestris (A.Juss.) Little169MalpighiaceaeBanisteriopsis cipoensis B.Gates170MalpighiaceaeByrsonima basiloba A.Juss.171MalpighiaceaeByrsonima cipoensis Mamede172MalpighiaceaeByrsonima dealbata Griseb.173MalpighiaceaeByrsonima laxiflora Griseb.174MalpighiaceaeByrsonima macrophylla (Pers.) W.R.Anderson175MalpighiaceaeByrsonima verbascifolia (L.) DC.176MalpighiaceaeHeteropterys campestris A.Juss.178MalpighiaceaeHeteropterys coriacea A.Juss.179MalpighiaceaeHeteropterys coriacea A.Juss.180MalpighiaceaePterandra pyroidea A.Juss.181MalvaceaeEriotheca candolleana (K.Schum.) A.Robyns183MalvaceaeEriotheca candolleana (K.Schum.) A.Robyns184MalvaceaeEriotheca pubescens (Mart.) Schott & Endl.185MalvaceaeHelicteres sacarolha A.StHil., Juss. & Cambess.186MalvaceaeLuehea divaricata Mart.187MalvaceaeLuehea grandiflora Mart.188MalvaceaeLuehea paniculata Mart.189MalvaceaeLuehea paniculata Mart.190MalvaceaeLuehea paniculata A.StHil. & Naudin191MalvaceaePseudobombax longiflorum (Mart.) A.Robyns192MalvaceaeSterculia striata A.StHil. & Naudin193MalvaceaeTriumfetta althaeoides Lam.194MelastomataceaeCambessedesia hila	166	Lythraceae	Diplusodon uninervius Koehne
169MalpighiaceaeBanisteriopsis cipoensis B.Gates170MalpighiaceaeByrsonima basiloba A.Juss.171MalpighiaceaeByrsonima cipoensis Mamede172MalpighiaceaeByrsonima dealbata Griseb.173MalpighiaceaeByrsonima laxiflora Griseb.174MalpighiaceaeByrsonima macrophylla (Pers.) W.R.Anderson175MalpighiaceaeByrsonima pachyphylla A.Juss.176MalpighiaceaeByrsonima verbascifolia (L.) DC.177MalpighiaceaeHeteropterys campestris A.Juss.178MalpighiaceaeHeteropterys coriacea A.Juss.179MalpighiaceaeHeteropterys coriacea A.Juss.180MalpighiaceaePterandra pyroidea A.Juss.) Griseb.181MalvaceaePterandra pyroidea A.Juss.182MalvaceaeEriotheca candolleana (K.Schum.) A.Robyns183MalvaceaeEriotheca candolleana (K.Schum.) A.Robyns184MalvaceaeGuazuma ulmifolia Lam.185MalvaceaeHelicteres sacarolha A.StHil., Juss. & Cambess.186MalvaceaeLuehea divaricata Mart.187MalvaceaeLuehea grandiflora Mart.188MalvaceaeLuehea paniculata Mart.190MalvaceaeLuehea paniculata Mart.191MalvaceaePseudobombax longiflorum (Mart.) A.Robyns192MalvaceaeSterculia striata A.StHil. & Naudin193MalvaceaeTriumfetta althaeoides Lam.194MelastomataceaeCambessedesia hilariana (Kunth) DCF	167	Malpighiaceae	Banisteriopsis argyrophylla (A.Juss.) B.Gates
170 Malpighiaceae Byrsonima basiloba A.Juss. 171 Malpighiaceae Byrsonima cipoensis Mamede 172 Malpighiaceae Byrsonima dealbata Griseb. 173 Malpighiaceae Byrsonima laxiflora Griseb. 174 Malpighiaceae Byrsonima macrophylla (Pers.) W.R.Anderson 175 Malpighiaceae Byrsonima pachyphylla A.Juss. 176 Malpighiaceae Byrsonima verbascifolia (L.) DC. 177 Malpighiaceae Heteropterys campestris A.Juss. 178 Malpighiaceae Heteropterys coriacea A.Juss. 179 Malpighiaceae Heteropterys coriacea A.Juss. 179 Malpighiaceae Heteropterys coriacea A.Juss. 180 Malpighiaceae Pterandra pyroidea A.Juss.) Griseb. 181 Malvaceae Ceiba speciosa (A.StHil.) Ravenna 182 Malvaceae Eriotheca candolleana (K.Schum.) A.Robyns 183 Malvaceae Eriotheca pubescens (Mart.) Schott & Endl. 184 Malvaceae Guazuma ulmifolia Lam. 185 Malvaceae Helicteres sacarolha A.StHil., Juss. & Cambess. 186 Malvaceae Luehea divaricata Mart. 187 Malvaceae Luehea grandiflora Mart. 188 Malvaceae Luehea macrophylla Pohl 189 Malvaceae Luehea paniculata Mart. 190 Malvaceae Magonia pubescens A.StHil. 191 Malvaceae Sterculia striata A.StHil. & Naudin 192 Malvaceae Sterculia striata A.StHil. & Naudin 193 Malvaceae Sterculia striata A.StHil. & Naudin 194 Melastomataceae Cambessedesia hilariana (Kunth) DC 195 Fritzschia sertularia (Schrank & Mart. ex DC.) M.J.R.Rocha & P.J.F.Guim.	168	Malpighiaceae	Banisteriopsis campestris (A.Juss.) Little
171 Malpighiaceae Byrsonima cipoensis Mamede 172 Malpighiaceae Byrsonima dealbata Griseb. 173 Malpighiaceae Byrsonima laxiflora Griseb. 174 Malpighiaceae Byrsonima macrophylla (Pers.) W.R. Anderson 175 Malpighiaceae Byrsonima pachyphylla A.Juss. 176 Malpighiaceae Byrsonima verbascifolia (L.) DC. 177 Malpighiaceae Heteropterys campestris A.Juss. 178 Malpighiaceae Heteropterys coriacea A.Juss. 179 Malpighiaceae Heteropterys coriacea A.Juss. 179 Malpighiaceae Mascagnia cordifolia (A.Juss.) Griseb. 180 Malpighiaceae Pterandra pyroidea A.Juss. 181 Malvaceae Ceiba speciosa (A.StHil.) Ravenna 182 Malvaceae Eriotheca candolleana (K.Schum.) A.Robyns 183 Malvaceae Eriotheca pubescens (Mart.) Schott & Endl. 184 Malvaceae Guazuma ulmifolia Lam. 185 Malvaceae Helicteres sacarolha A.StHil., Juss. & Cambess. 186 Malvaceae Helicteres sacarolha Mart. 187 Malvaceae Luehea divaricata Mart. 188 Malvaceae Luehea macrophylla Pohl 189 Malvaceae Luehea paniculata Mart. 190 Malvaceae Magonia pubescens A.StHil. 191 Malvaceae Pseudobombax longiflorum (Mart.) A.Robyns 192 Malvaceae Triumfetta althaeoides Lam. 193 Malvaceae Triumfetta althaeoides Lam. 194 Melastomataceae Cambessedesia hilariana (Kunth) DC 195 Fritzschia sertularia (Schrank & Mart. ex DC.) M.J.R.Rocha & P.J.F.Guim.	169	Malpighiaceae	Banisteriopsis cipoensis B.Gates
172 Malpighiaceae Byrsonima dealbata Griseb. 173 Malpighiaceae Byrsonima laxiflora Griseb. 174 Malpighiaceae Byrsonima macrophylla (Pers.) W.R. Anderson 175 Malpighiaceae Byrsonima pachyphylla A.Juss. 176 Malpighiaceae Byrsonima verbascifolia (L.) DC. 177 Malpighiaceae Heteropterys campestris A.Juss. 178 Malpighiaceae Heteropterys coriacea A.Juss. 179 Malpighiaceae Mascagnia cordifolia (A.Juss.) Griseb. 180 Malpighiaceae Pterandra pyroidea A.Juss. 181 Malvaceae Ceiba speciosa (A.StHil.) Ravenna 182 Malvaceae Eriotheca candolleana (K.Schum.) A.Robyns 183 Malvaceae Eriotheca pubescens (Mart.) Schott & Endl. 184 Malvaceae Guazuma ulmifolia Lam. 185 Malvaceae Helicteres sacarolha A.StHil., Juss. & Cambess. 186 Malvaceae Luehea divaricata Mart. 187 Malvaceae Luehea grandiflora Mart. 188 Malvaceae Luehea macrophylla Pohl 189 Malvaceae Luehea paniculata Mart. 190 Malvaceae Magonia pubescens A.StHil. 191 Malvaceae Pseudobombax longiflorum (Mart.) A.Robyns 192 Malvaceae Triumfetta althaeoides Lam. 193 Malvaceae Triumfetta althaeoides Lam. 194 Melastomataceae Cambessedesia hilariana (Kunth) DC 195 Fritzschia sertularia (Schrank & Mart. ex DC.) M.J.R.Rocha & P.J.F.Guim.	170	Malpighiaceae	Byrsonima basiloba A.Juss.
173 Malpighiaceae Byrsonima laxiflora Griseb. 174 Malpighiaceae Byrsonima macrophylla (Pers.) W.R.Anderson 175 Malpighiaceae Byrsonima pachyphylla A.Juss. 176 Malpighiaceae Byrsonima verbascifolia (L.) DC. 177 Malpighiaceae Heteropterys campestris A.Juss. 178 Malpighiaceae Heteropterys coriacea A.Juss. 179 Malpighiaceae Mascagnia cordifolia (A.Juss.) Griseb. 180 Malpighiaceae Pterandra pyroidea A.Juss. 181 Malvaceae Ceiba speciosa (A.StHil.) Ravenna 182 Malvaceae Eriotheca candolleana (K.Schum.) A.Robyns 183 Malvaceae Eriotheca pubescens (Mart.) Schott & Endl. 184 Malvaceae Guazuma ulmifolia Lam. 185 Malvaceae Helicteres sacarolha A.StHil., Juss. & Cambess. 186 Malvaceae Luehea divaricata Mart. 187 Malvaceae Luehea grandiflora Mart. 188 Malvaceae Luehea paniculata Mart. 189 Malvaceae Luehea paniculata Mart. 190 Malvaceae Luehea paniculata Mart. 191 Malvaceae Fseudobombax longiflorum (Mart.) A.Robyns 192 Malvaceae Sterculia striata A.StHil. & Naudin 193 Malvaceae Triumfetta althaeoides Lam. 194 Melastomataceae Cambessedesia hilariana (Kunth) DC 195 Fritzschia sertularia (Schrank & Mart. ex DC.) M.J.R.Rocha & P.J.F.Guim.	171	Malpighiaceae	Byrsonima cipoensis Mamede
174 Malpighiaceae Byrsonima macrophylla (Pers.) W.R.Anderson 175 Malpighiaceae Byrsonima pachyphylla A.Juss. 176 Malpighiaceae Byrsonima verbascifolia (L.) DC. 177 Malpighiaceae Heteropterys campestris A.Juss. 178 Malpighiaceae Heteropterys coriacea A.Juss. 179 Malpighiaceae Mascagnia cordifolia (A.Juss.) Griseb. 180 Malpighiaceae Pterandra pyroidea A.Juss. 181 Malvaceae Ceiba speciosa (A.StHil.) Ravenna 182 Malvaceae Eriotheca candolleana (K.Schum.) A.Robyns 183 Malvaceae Eriotheca pubescens (Mart.) Schott & Endl. 184 Malvaceae Guazuma ulmifolia Lam. 185 Malvaceae Helicteres sacarolha A.StHil., Juss. & Cambess. 186 Malvaceae Luehea divaricata Mart. 187 Malvaceae Luehea grandiflora Mart. 188 Malvaceae Luehea macrophylla Pohl 189 Malvaceae Luehea paniculata Mart. 190 Malvaceae Magonia pubescens A.StHil. 191 Malvaceae Pseudobombax longiflorum (Mart.) A.Robyns 192 Malvaceae Sterculia striata A.StHil. & Naudin 193 Malvaceae Triumfetta althaeoides Lam. 194 Melastomataceae Cambessedesia hilariana (Kunth) DC 195 Melastomataceae P.J.F.Guim.	172	Malpighiaceae	Byrsonima dealbata Griseb.
175 Malpighiaceae Byrsonima pachyphylla A.Juss. 176 Malpighiaceae Byrsonima verbascifolia (L.) DC. 177 Malpighiaceae Heteropterys campestris A.Juss. 178 Malpighiaceae Heteropterys coriacea A.Juss. 179 Malpighiaceae Mascagnia cordifolia (A.Juss.) Griseb. 180 Malpighiaceae Pterandra pyroidea A.Juss. 181 Malvaceae Ceiba speciosa (A.StHil.) Ravenna 182 Malvaceae Eriotheca candolleana (K.Schum.) A.Robyns 183 Malvaceae Eriotheca pubescens (Mart.) Schott & Endl. 184 Malvaceae Guazuma ulmifolia Lam. 185 Malvaceae Helicteres sacarolha A.StHil., Juss. & Cambess. 186 Malvaceae Luehea divaricata Mart. 187 Malvaceae Luehea grandiflora Mart. 188 Malvaceae Luehea macrophylla Pohl 189 Malvaceae Luehea paniculata Mart. 190 Malvaceae Magonia pubescens A.StHil. 191 Malvaceae Pseudobombax longiflorum (Mart.) A.Robyns 192 Malvaceae Sterculia striata A.StHil. & Naudin 193 Malvaceae Triumfetta althaeoides Lam. 194 Melastomataceae Cambessedesia hilariana (Kunth) DC 195 Melastomataceae P.J.F.Guim.	173	Malpighiaceae	Byrsonima laxiflora Griseb.
176 Malpighiaceae Byrsonima verbascifolia (L.) DC. 177 Malpighiaceae Heteropterys campestris A.Juss. 178 Malpighiaceae Heteropterys coriacea A.Juss. 179 Malpighiaceae Mascagnia cordifolia (A.Juss.) Griseb. 180 Malpighiaceae Pterandra pyroidea A.Juss. 181 Malvaceae Ceiba speciosa (A.StHil.) Ravenna 182 Malvaceae Eriotheca candolleana (K.Schum.) A.Robyns 183 Malvaceae Eriotheca pubescens (Mart.) Schott & Endl. 184 Malvaceae Guazuma ulmifolia Lam. 185 Malvaceae Helicteres sacarolha A.StHil., Juss. & Cambess. 186 Malvaceae Luehea divaricata Mart. 187 Malvaceae Luehea grandiflora Mart. 188 Malvaceae Luehea macrophylla Pohl 189 Malvaceae Luehea paniculata Mart. 190 Malvaceae Magonia pubescens A.StHil. 191 Malvaceae Pseudobombax longiflorum (Mart.) A.Robyns 192 Malvaceae Sterculia striata A.StHil. & Naudin 193 Malvaceae Triumfetta althaeoides Lam. 194 Melastomataceae Cambessedesia hilariana (Kunth) DC 195 Fritzschia sertularia (Schrank & Mart. ex DC.) M.J.R.Rocha & P.J.F.Guim.	174	Malpighiaceae	Byrsonima macrophylla (Pers.) W.R.Anderson
177 Malpighiaceae Heteropterys campestris A.Juss. 178 Malpighiaceae Heteropterys coriacea A.Juss. 179 Malpighiaceae Mascagnia cordifolia (A.Juss.) Griseb. 180 Malpighiaceae Pterandra pyroidea A.Juss. 181 Malvaceae Ceiba speciosa (A.StHil.) Ravenna 182 Malvaceae Eriotheca candolleana (K.Schum.) A.Robyns 183 Malvaceae Eriotheca pubescens (Mart.) Schott & Endl. 184 Malvaceae Guazuma ulmifolia Lam. 185 Malvaceae Helicteres sacarolha A.StHil., Juss. & Cambess. 186 Malvaceae Luehea divaricata Mart. 187 Malvaceae Luehea grandiflora Mart. 188 Malvaceae Luehea macrophylla Pohl 189 Malvaceae Luehea paniculata Mart. 190 Malvaceae Magonia pubescens A.StHil. 191 Malvaceae Pseudobombax longiflorum (Mart.) A.Robyns 192 Malvaceae Sterculia striata A.StHil. & Naudin 193 Malvaceae Triumfetta althaeoides Lam. 194 Melastomataceae Cambessedesia hilariana (Kunth) DC 195 Fritzschia sertularia (Schrank & Mart. ex DC.) M.J.R.Rocha & P.J.F.Guim.	175	Malpighiaceae	Byrsonima pachyphylla A.Juss.
178 Malpighiaceae Heteropterys coriacea A.Juss. 179 Malpighiaceae Mascagnia cordifolia (A.Juss.) Griseb. 180 Malpighiaceae Pterandra pyroidea A.Juss. 181 Malvaceae Ceiba speciosa (A.StHil.) Ravenna 182 Malvaceae Eriotheca candolleana (K.Schum.) A.Robyns 183 Malvaceae Eriotheca pubescens (Mart.) Schott & Endl. 184 Malvaceae Guazuma ulmifolia Lam. 185 Malvaceae Helicteres sacarolha A.StHil., Juss. & Cambess. 186 Malvaceae Luehea divaricata Mart. 187 Malvaceae Luehea grandiflora Mart. 188 Malvaceae Luehea macrophylla Pohl 189 Malvaceae Luehea paniculata Mart. 190 Malvaceae Magonia pubescens A.StHil. 191 Malvaceae Pseudobombax longiflorum (Mart.) A.Robyns 192 Malvaceae Sterculia striata A.StHil. & Naudin 193 Malvaceae Triumfetta althaeoides Lam. 194 Melastomataceae Cambessedesia hilariana (Kunth) DC Fritzschia sertularia (Schrank & Mart. ex DC.) M.J.R.Rocha & P.J.F.Guim.	176	Malpighiaceae	Byrsonima verbascifolia (L.) DC.
179 Malpighiaceae Mascagnia cordifolia (A.Juss.) Griseb. 180 Malpighiaceae Pterandra pyroidea A.Juss. 181 Malvaceae Ceiba speciosa (A.StHil.) Ravenna 182 Malvaceae Eriotheca candolleana (K.Schum.) A.Robyns 183 Malvaceae Eriotheca pubescens (Mart.) Schott & Endl. 184 Malvaceae Guazuma ulmifolia Lam. 185 Malvaceae Helicteres sacarolha A.StHil., Juss. & Cambess. 186 Malvaceae Luehea divaricata Mart. 187 Malvaceae Luehea grandiflora Mart. 188 Malvaceae Luehea macrophylla Pohl 189 Malvaceae Luehea paniculata Mart. 190 Malvaceae Magonia pubescens A.StHil. 191 Malvaceae Pseudobombax longiflorum (Mart.) A.Robyns 192 Malvaceae Sterculia striata A.StHil. & Naudin 193 Malvaceae Triumfetta althaeoides Lam. 194 Melastomataceae Cambessedesia hilariana (Kunth) DC Fritzschia sertularia (Schrank & Mart. ex DC.) M.J.R.Rocha & P.J.F.Guim.	177	Malpighiaceae	Heteropterys campestris A.Juss.
180MalpighiaceaePterandra pyroidea A.Juss.181MalvaceaeCeiba speciosa (A.StHil.) Ravenna182MalvaceaeEriotheca candolleana (K.Schum.) A.Robyns183MalvaceaeEriotheca pubescens (Mart.) Schott & Endl.184MalvaceaeGuazuma ulmifolia Lam.185MalvaceaeHelicteres sacarolha A.StHil., Juss. & Cambess.186MalvaceaeLuehea divaricata Mart.187MalvaceaeLuehea grandiflora Mart.188MalvaceaeLuehea macrophylla Pohl189MalvaceaeLuehea paniculata Mart.190MalvaceaeMagonia pubescens A.StHil.191MalvaceaePseudobombax longiflorum (Mart.) A.Robyns192MalvaceaeSterculia striata A.StHil. & Naudin193MalvaceaeTriumfetta althaeoides Lam.194MelastomataceaeCambessedesia hilariana (Kunth) DC Fritzschia sertularia (Schrank & Mart. ex DC.) M.J.R.Rocha & P.J.F.Guim.	178	Malpighiaceae	Heteropterys coriacea A.Juss.
Malvaceae Ceiba speciosa (A.StHil.) Ravenna Eriotheca candolleana (K.Schum.) A.Robyns Malvaceae Eriotheca pubescens (Mart.) Schott & Endl. Malvaceae Guazuma ulmifolia Lam. Malvaceae Helicteres sacarolha A.StHil., Juss. & Cambess. Luehea divaricata Mart. Malvaceae Luehea grandiflora Mart. Malvaceae Luehea macrophylla Pohl Malvaceae Luehea paniculata Mart. Malvaceae Luehea paniculata Mart. Malvaceae Magonia pubescens A.StHil. Malvaceae Pseudobombax longiflorum (Mart.) A.Robyns Malvaceae Sterculia striata A.StHil. & Naudin Malvaceae Triumfetta althaeoides Lam. Melastomataceae Cambessedesia hilariana (Kunth) DC Fritzschia sertularia (Schrank & Mart. ex DC.) M.J.R.Rocha & P.J.F.Guim.	179	Malpighiaceae	Mascagnia cordifolia (A.Juss.) Griseb.
182 Malvaceae Eriotheca candolleana (K.Schum.) A.Robyns 183 Malvaceae Eriotheca pubescens (Mart.) Schott & Endl. 184 Malvaceae Guazuma ulmifolia Lam. 185 Malvaceae Helicteres sacarolha A.StHil., Juss. & Cambess. 186 Malvaceae Luehea divaricata Mart. 187 Malvaceae Luehea grandiflora Mart. 188 Malvaceae Luehea macrophylla Pohl 189 Malvaceae Luehea paniculata Mart. 190 Malvaceae Magonia pubescens A.StHil. 191 Malvaceae Pseudobombax longiflorum (Mart.) A.Robyns 192 Malvaceae Sterculia striata A.StHil. & Naudin 193 Malvaceae Triumfetta althaeoides Lam. 194 Melastomataceae Cambessedesia hilariana (Kunth) DC 195 Melastomataceae P.J.F.Guim.	180	Malpighiaceae	Pterandra pyroidea A.Juss.
183 Malvaceae Eriotheca pubescens (Mart.) Schott & Endl. 184 Malvaceae Guazuma ulmifolia Lam. 185 Malvaceae Helicteres sacarolha A.StHil., Juss. & Cambess. 186 Malvaceae Luehea divaricata Mart. 187 Malvaceae Luehea grandiflora Mart. 188 Malvaceae Luehea macrophylla Pohl 189 Malvaceae Luehea paniculata Mart. 190 Malvaceae Magonia pubescens A.StHil. 191 Malvaceae Pseudobombax longiflorum (Mart.) A.Robyns 192 Malvaceae Sterculia striata A.StHil. & Naudin 193 Malvaceae Triumfetta althaeoides Lam. 194 Melastomataceae Cambessedesia hilariana (Kunth) DC Fritzschia sertularia (Schrank & Mart. ex DC.) M.J.R.Rocha & 195 Melastomataceae P.J.F.Guim.	181	Malvaceae	Ceiba speciosa (A.StHil.) Ravenna
Malvaceae Guazuma ulmifolia Lam. Malvaceae Helicteres sacarolha A.StHil., Juss. & Cambess. Luehea divaricata Mart. Malvaceae Luehea grandiflora Mart. Malvaceae Luehea macrophylla Pohl Malvaceae Luehea paniculata Mart. Malvaceae Magonia pubescens A.StHil. Malvaceae Pseudobombax longiflorum (Mart.) A.Robyns Malvaceae Sterculia striata A.StHil. & Naudin Malvaceae Triumfetta althaeoides Lam. Melastomataceae Cambessedesia hilariana (Kunth) DC Fritzschia sertularia (Schrank & Mart. ex DC.) M.J.R.Rocha & P.J.F.Guim.	182	Malvaceae	Eriotheca candolleana (K.Schum.) A.Robyns
185 Malvaceae Helicteres sacarolha A.StHil., Juss. & Cambess. 186 Malvaceae Luehea divaricata Mart. 187 Malvaceae Luehea grandiflora Mart. 188 Malvaceae Luehea macrophylla Pohl 189 Malvaceae Luehea paniculata Mart. 190 Malvaceae Magonia pubescens A.StHil. 191 Malvaceae Pseudobombax longiflorum (Mart.) A.Robyns 192 Malvaceae Sterculia striata A.StHil. & Naudin 193 Malvaceae Triumfetta althaeoides Lam. 194 Melastomataceae Cambessedesia hilariana (Kunth) DC Fritzschia sertularia (Schrank & Mart. ex DC.) M.J.R.Rocha & 195 Melastomataceae P.J.F.Guim.	183	Malvaceae	Eriotheca pubescens (Mart.) Schott & Endl.
186 Malvaceae Luehea divaricata Mart. 187 Malvaceae Luehea grandiflora Mart. 188 Malvaceae Luehea macrophylla Pohl 189 Malvaceae Luehea paniculata Mart. 190 Malvaceae Magonia pubescens A.StHil. 191 Malvaceae Pseudobombax longiflorum (Mart.) A.Robyns 192 Malvaceae Sterculia striata A.StHil. & Naudin 193 Malvaceae Triumfetta althaeoides Lam. 194 Melastomataceae Cambessedesia hilariana (Kunth) DC Fritzschia sertularia (Schrank & Mart. ex DC.) M.J.R.Rocha & 195 Melastomataceae P.J.F.Guim.	184	Malvaceae	Guazuma ulmifolia Lam.
187 Malvaceae Luehea grandiflora Mart. 188 Malvaceae Luehea macrophylla Pohl 189 Malvaceae Luehea paniculata Mart. 190 Malvaceae Magonia pubescens A.StHil. 191 Malvaceae Pseudobombax longiflorum (Mart.) A.Robyns 192 Malvaceae Sterculia striata A.StHil. & Naudin 193 Malvaceae Triumfetta althaeoides Lam. 194 Melastomataceae Cambessedesia hilariana (Kunth) DC Fritzschia sertularia (Schrank & Mart. ex DC.) M.J.R.Rocha & P.J.F.Guim.	185	Malvaceae	Helicteres sacarolha A.StHil., Juss. & Cambess.
188MalvaceaeLuehea macrophylla Pohl189MalvaceaeLuehea paniculata Mart.190MalvaceaeMagonia pubescens A.StHil.191MalvaceaePseudobombax longiflorum (Mart.) A.Robyns192MalvaceaeSterculia striata A.StHil. & Naudin193MalvaceaeTriumfetta althaeoides Lam.194MelastomataceaeCambessedesia hilariana (Kunth) DC Fritzschia sertularia (Schrank & Mart. ex DC.) M.J.R.Rocha & P.J.F.Guim.	186	Malvaceae	Luehea divaricata Mart.
189 Malvaceae Luehea paniculata Mart. 190 Malvaceae Magonia pubescens A.StHil. 191 Malvaceae Pseudobombax longiflorum (Mart.) A.Robyns 192 Malvaceae Sterculia striata A.StHil. & Naudin 193 Malvaceae Triumfetta althaeoides Lam. 194 Melastomataceae Cambessedesia hilariana (Kunth) DC Fritzschia sertularia (Schrank & Mart. ex DC.) M.J.R.Rocha & 195 Melastomataceae P.J.F.Guim.	187	Malvaceae	Luehea grandiflora Mart.
 Malvaceae Magonia pubescens A.StHil. Malvaceae Pseudobombax longiflorum (Mart.) A.Robyns Malvaceae Sterculia striata A.StHil. & Naudin Malvaceae Triumfetta althaeoides Lam. Melastomataceae Cambessedesia hilariana (Kunth) DC Fritzschia sertularia (Schrank & Mart. ex DC.) M.J.R.Rocha & P.J.F.Guim. 	188	Malvaceae	Luehea macrophylla Pohl
191 Malvaceae Pseudobombax longiflorum (Mart.) A.Robyns 192 Malvaceae Sterculia striata A.StHil. & Naudin 193 Malvaceae Triumfetta althaeoides Lam. 194 Melastomataceae Cambessedesia hilariana (Kunth) DC Fritzschia sertularia (Schrank & Mart. ex DC.) M.J.R.Rocha & 195 Melastomataceae P.J.F.Guim.	189	Malvaceae	Luehea paniculata Mart.
 Malvaceae Sterculia striata A.StHil. & Naudin Malvaceae Triumfetta althaeoides Lam. Melastomataceae Cambessedesia hilariana (Kunth) DC Fritzschia sertularia (Schrank & Mart. ex DC.) M.J.R.Rocha & P.J.F.Guim. 	190	Malvaceae	Magonia pubescens A.StHil.
 Malvaceae Triumfetta althaeoides Lam. Melastomataceae Cambessedesia hilariana (Kunth) DC	191	Malvaceae	Pseudobombax longiflorum (Mart.) A.Robyns
 Melastomataceae Cambessedesia hilariana (Kunth) DC	192	Malvaceae	Sterculia striata A.StHil. & Naudin
Fritzschia sertularia (Schrank & Mart. ex DC.) M.J.R.Rocha & P.J.F.Guim.	193	Malvaceae	Triumfetta althaeoides Lam.
			Fritzschia sertularia (Schrank & Mart. ex DC.) M.J.R.Rocha &
continua	195	Melastomataceae	P.J.F.Guim. continua

IBGE

 ld	Família	Nome Científico
 196	Melastomataceae	Leandra rigida Cogn.
197	Melastomataceae	Miconia albicans (Sw.) Steud.
198	Melastomataceae	Miconia burchellii Triana
199	Melastomataceae	Miconia fallax DC.
200	Melastomataceae	Miconia ferruginata DC.
201	Melastomataceae	Miconia ibaguensis (Bonpl.) Triana
202	Melastomataceae	Miconia ligustroides (DC.) Naudin
203	Melastomataceae	Miconia pepericarpa DC.
204	Melastomataceae	Miconia rubiginosa (Bonpl.) DC.
205	Melastomataceae	Microlicia crassifolia (Mart. & Schrank ex DC.) Versiane & R.Romero
206	Melastomataceae	Microlicia serpyllifolia D.Don
207	Melastomataceae	Pleroma aemulum (Schrank et Mart ex DC.) Triana
208	Melastomataceae	Pleroma fissinervium Schrank et Mart. ex DC.
209	Melastomataceae	Pleroma stenocarpum (Schrank et Mart. ex DC.) Triana
210	Melastomataceae	Trembleya laniflora (D.Don) Cogn.
211	Meliaceae	Cedrela fissilis Vell.
212	Meliaceae	Cedrela odorata L.
213	Meliaceae	Guarea guidonia (L.) Sleumer
214	Menispermaceae	Cissampelos ovalifolia DC.
215	Moraceae	Brosimum gaudichadii Trécul
216	Moraceae	Brosimum gaudichaudii Trécul
217	Moraceae	Ficus gomelleira Kunth
218	Moraceae	Ficus obstusifolia Kunth
219	Myristicaceae	Virola sebifera Aubl.
220	Myrtaceae	Blepharocalyx salicifolius (Kunth) O.Berg
221	Myrtaceae	Eugenia dysenterica (Mart.) DC.
222	Myrtaceae	Psidium guajava L.
223	Nyctaginaceae	Guapira areolata (Heimerl) Lundell
224	Nyctaginaceae	Guapira graciliflora (Mart. ex Schmidt) Lundell
225	Nyctaginaceae	Guapira noxia (Netto) Lundell
226	Ochnaceae	Ouratea castaneifolia (DC.) Engl.
227	Ochnaceae	Ouratea hexasperma (A.StHil.) Baill.
228	Opiliaceae	Agonandra brasiliensis Miers ex Benth. & Hook.f.
229	Orobanchaceae	Physocalyx major Mart.
230	Peraceae	Pera glabrata (Schott) Poepp. ex Baill.
231	Piperaceae	Piper arboreum Aubl.
232	Poaceae	Actinocladum verticillatum (Nees) McClure ex Soderstr.
233	Poaceae	Axonopus aureus P.Beauv.
234	Poaceae	Bambusa vulgaris Schrad. ex J.C.Wendl.
235	Poaceae	Echinolaena inflexa (Poir.) Chase
236	Poaceae	Loudetiopsis chrysothrix (Nees) Conert
237	Polygalaceae	Senega glochidata (Kunth) J.F.B.Pastore
238	Polygalaceae	Senega timoutou (Aubl.) J.F.B.Pastore
239	Polygonaceae	Polygonum capitatum BuchHam. ex D.Don
240	Polygonaceae	Triplaris americana L.
241	Polypodiaceae	Pleopeltis hirsutissima (Raddi) de la Sota
242	Primulaceae	Myrsine guianensis (Aubl.) Kuntze
243	Primulaceae	Myrsine monticola Mart.
244	Primulaceae	Myrsine umbellata Mart.
245	Proteaceae	Roupala montana Aubl.
		continuo



ld	Família	Nome Científico
246	Rhamnaceae	Rhamnidium elaeocarpum Reissek
247	Rubiaceae	Cordiera sessilis (Vell.) Kuntze
248	Rubiaceae	Ferdinandusa speciosa (Pohl) Pohl
249	Rubiaceae	Genipa americana L.
250	Rubiaceae	Palicourea rigida Kunth
251	Rubiaceae	Rudgea viburnoides (Cham.) Benth.
252	Rubiaceae	Sabicea brasiliensis Wernham
253	Rutaceae	Metrodorea stipularis Mart.
254	Rutaceae	Zanthoxylum rhoifolium Lam.
255	Rutaceae	Zanthoxylum riedelianum Engl.
256	Salicaceae	Casearia grandiflora Cambess.
257	Salicaceae	Casearia sylvestris Sw.
258	Sapindaceae	Cupania vernalis Cambess.
259	Sapindaceae	Dilodendron bipinnatum Radlk.
260	Sapindaceae	Magonia pubescens A.StHil.
261	Sapindaceae	Matayba guianensis Aubl.
262	Sapindaceae	Serjania lethalis A.StHil
263	Sapotaceae	Pouteria ramiflora (Mart.) Radlk
264	Siparunaceae	Siparuna brasiliensis (Spreng.) A.DC.
265	Siparunaceae	Siparuna guianensis Aubl.
266	Solanaceae	Brunfelsia rupestris Plowman
267	Solanaceae	Calibrachoa elegans (Miers) Stehmann & Semir
268	Solanaceae	Solanum granulosoleprosum Dunal
269	Solanaceae	Solanum lycocarpum A.StHil.
270	Styracaceae	Styrax camporum Pohl
271	Styracaceae	Styrax ferrugineus Nees & Mart.
272	Urticaceae	Cecropia hololeuca Miq.
273	Urticaceae	Cecropia pachystachya Trécul
274	Velloziaceae	Barbacenia flava Mart. ex Schult. & Schult.f.
275	Velloziaceae	Vellozia alata L.B.Sm.
276	Velloziaceae	Vellozia compacta Mart. ex Schult. & Schult.f.
277	Velloziaceae	Vellozia intermedia Seub.
278	Velloziaceae	Vellozia squamata Poh
279	Verbenaceae	Stachytarpheta glabra Cham.
280	Vochysiaceae	Qualea dichotoma (Mart.) Warm
281	Vochysiaceae	Qualea dichotoma var. elongata (Warm.) Stafleu
282	Vochysiaceae	Qualea grandiflora Mart.
283	Vochysiaceae	Qualea multiflora Mart.
284	Vochysiaceae	Qualea parviflora Mart.
285	Vochysiaceae	Salvertia convallariodora A.StHil.
286	Vochysiaceae	Vochysia discolor Warm.
287	Vochysiaceae	Vochysia elliptica Mart.
288	Vochysiaceae	Vochysia thyrsoidea Pohl
289	Vochysiaceae	Vochysia tucanorum Mart.

Anexo



Anexo 1

Resultados das análises de solo de duas profundidades de dois pontos da Segunda Expedição, para fins de confirmação das classes de solos, realizadas pelo Laboratório de Análise de Água, Solo e Planta (LASP) da Embrapa Solos no Rio de Janeiro (RJ).

Tialise	ue	Agua, Solo e	riai	111	a (LF	S) (ua		IIL	71 6	ιμα	ر ا	-	<u> </u>	- 11	0 1	NIC		16.	ла —	-	111) (KJ,
				2,5)	рн КСІ	4,4	4,4	4,1	4,3											Classificação		distrófico	álico	distrófico	álico
				pH (1:2,5)	О²Н Нд	5,0	4,7	4,2	4,3			Valor T		2,0	6,0	7,1	3,3		Classe de	Textura		areia franca	areia franca	ıco-argilo-aren	ıco-argilo-aren
				Relação	Silte/Arg.	1,02	0,70	0,38	0,35			±		1,4	9,0	5,3	2,6			C/N		8	7	10	8
				Grau	Flocul.	100	100	82	100			Al³+		0,3	0,3	0,7	0,4			z	g/Kg	9,0	0,3	1,2	9,0
				Arg. Disp.	H ₂ O (g/Kg)	0	0	40	0		Complexo Sortivo	Valor S	cmolc/Kg	0,3	0,1	1,1	6,0			C. Org.	g/Kg	4,6	2,2	11,5	2,0
				/Kg)	Argila < 0,002 mm	09	80	222	242		Compl	Na⁺	CL	0,01	0,01	0,01	0,01			P Assim.	mg/Kg	2	0	2	0
				Granulometria - Terra Fina (g/Kg)	Silte 0,05-0,002 mm	61	99	982	82			K ⁺		60'0	0,02	0,10	0,02		100.Na+	T	%	₹	1	\ \	₹
				Granulometria	Areia F. 0,2-0,05 mm	627	453	305	262			Mg ²⁺		0,2	0,1	9,0	0,3		100.Al³+	S + Al ³⁺	%	20	75	39	25
		ш			Areia G. 2-0,2 mm	252	411	388	411			Ca⁴								Valor V	(%)	15	11	15	6
LASP		Mara - 18	읭		Profun.	0-20	80-100	0-50	08-09	٠		Horiz. Profun.		0-50	80-100	0-50	60-80	٠		Profun.		0-50	80-100	0-50	08-09
4		Luciana	as do S		Horiz.	٧	Bw	A	Bw			Horiz.		A	Bw	٧	Bw			Horiz.		V	Bw	٧	Bw
		de Lourdes / 21.004.00 23 /2023 2023	ísico-Químic		Perfil	4 1- OBS 10	4 2- OBS 10	3- Ponto 23	4- Ponto 23			Perfil		4 1- OBS 10	4 2- OBS 10	4 3- Ponto 23	4- Ponto 23			Perfil		4 1- OBS 10	4 2- OBS 10	4 3- Ponto 23	4- Ponto 23
Embrapa	Solos	Nome do Cliente: Maria de Lourdes / Luciana Mara - IBGE Nº Atividade: 16.00.21.004.00 Pedido: 45/2023 Data de entrada: 16/10/2023 Data de saída: 4/12/2023	Resultados das Análises Físico-Químicas do Solo		Nº no Laboratório	2 2921 2023 270937 1 4	2 2922 2023 270937 2 4	2 2923 2023 270937 3 4	2 2924 2023 270937 4 4			Nº no Laboratório		2 2921 2023 270937 1 4	2 2922 2023 270937 2 4	2 2923 2023 270937 3 4	2 2924 2023 270937 4 4			Nº no Laboratório		2 2921 2023 270937 1 4	2 2922 2023 270937 2 4	2 2923 2023 270937 3 4	2 2924 2023 270937 4 4

Glossário

Ácríco. O caráter ácrico indica solos altamente intemperizados com predomínio de óxidos em sua composição mineralógica, seguido por argilomineral caulinita. Como característica química, apresenta baixa carga líquida negativa, com soma de bases (Ca²⁺, Mg²⁺, K⁺, Na⁺) e Al³⁺ inferior a 1,5 cmolc dm⁻³ de argila e pH em KCl 1N superior a 5,0 e, ou, delta pH (pH KCl – pH H₂O) positivo ou nulo, conforme o SiBCS (EMBRAPA, 2018).

Água Disponível (AD). E a quantidade de água armazenada no solo que pode ser absorvida pelas plantas, localizada entre a capacidade de campo e o ponto de murcha permanente.

Argila. Partículas de minerais como menos de 0,002 mm de diâmetro, presentes no *solum*, e inclui uma série específica de minerais secundários formados pelo intemperismo de minerais primários ou de minerais secundários, podendo ser classificadas em silicatadas e oxídicas.

Argila Silicatada. Argilas em forma de lâminas (filossilicatos), caracterizadas por lâminas alternadas em que os oxigênios estão ligados ao silício e ao alumínio em sua constituição cristalográfica.

Atração Magnética. Indica solos com elevado teor de ferro, com textura argilosa e muita argilosa, normalmente férteis.

Bioma. Conjunto de vida (vegetal e animal) constituído pelo agrupamento de tipos de vegetação contíguos e identificáveis em escala regional, com condições geoclimáticas similares e história compartilhada de mudanças, resultando em uma diversidade biológica própria (IBGE, 2019b).

Biostasia. Representa um período de estabilidade ecológica e climática, associados a climas úmidos, com cobertura vegetal bem desenvolvida, solos protegidos erosão intensa e no qual o processo dominante é o intemperismo químico das rochas e solos. Os sedimentos gerados são, em geral, de caráter fino (argilas e siltes).

Capacidade de Adsorção de Nutrientes. Representa o processo físico-químico de moléculas e espécies iônicas de nutrientes essenciais para o desenvolvimento vegetal em se aderirem à superfície das partículas sólidas do solo. A capacidade de troca de cátions (CTC) é a capacidade do complexo coloidal do solo em adsorver cátions, que representa as cargas negativas das partículas do solo. A capacidade de troca de ânions (CTA) é a capacidade do complexo coloidal do solo em adsorver ânions, que representa as cargas positivas das partículas do solo.

Capacidade de Retenção de Água. Essencial para a sobrevivência das plantas, uma vez que a água é um dos principais nutrientes necessários para o seu desenvolvimento.

Cobertura deposicional. Depósitos de sedimentos recentes, geralmente quaternários, que cobrem determinada área (situados nos topos dos terrenos).

Composição do Solo. O solo é composto por minerais, matéria orgânica, água e ar e cada um desses componentes desempenha um papel importante na fertilidade e na capacidade de retenção de nutrientes do solo, ou seja, no potencial do solo.



Cuestas. Forma de relevo assimétrico com desnível abrupto resultante de recuo erosivo de camadas sedimentares homoclinais, de resistências diferentes, apresentando frente escarpada (front) e reverso com fraca declividade. Ocorre em áreas externas de bacias sedimentares e dobramentos de cobertura, apresentando às vezes falhamentos associados (IBGE, 2009).

Densidade do Solo. Refere-se à quantidade de massa de solo por unidade de volume; solos com alta densidade podem dificultar o crescimento das raízes e a absorção de nutrientes.

Distrófico. Atributo que caracteriza solos com saturação por bases e saturação por alumínio inferiores a 50%.

Drenagem do Solo. Refere-se à capacidade de o solo permitir a passagem da água.

Encrave. Vegetação que ocorre entre duas regiões fitoecológicas, a sua delimitação tornase exclusivamente cartográfica e sempre dependente da escala, pois em escalas maiores é possível separá-las.

Estrutura do Solo. A organização das partículas do solo em agregados afeta a permeabilidade do solo, ou seja, a capacidade de permitir a passagem de água e ar.

Eutrófico. Atributo que caracteriza solos com saturação por bases igual ou superior a 50%.

Fertilidade do Solo. É a capacidade do solo em fornecer todos os elementos essenciais para o desenvolvimento das plantas.

Fitofisionomia. O termo é a junção de "fito" (planta) e "fisionomia" (aparência). É o aspecto da vegetação de uma região considerando as formas de vida e os estratos vertical (arbóreo, arbustivo e herbáceo) e horizontal (distribuição espacial).

Floresta Estacional Semidecidual. Vegetação com predomínio de porte arbóreo estabelecida em ambientes de clima estacional; com chuvas de verão seguida de estiagem prolongada (4 a 6 meses secos) ou frio intenso (pelo menos três meses com temperaturas médias abaixo de 15°C), que provoca decidualidade parcial da folhagem da cobertura florestal (20 a 50% dos indivíduos).

Interflúvio. Relevo ou área elevada entre dois cursos de água ou dois vales (DICIONÁRIO..., 2025).

Matéria Orgânica do Solo. Apresenta propriedades como a geração de cargas negativas, agregação das partículas minerais, influenciando na porosidade, retenção de água e nutrientes e liberação de nutrientes.

Microagregação. Conjunto de partículas unitárias do solo que se encontram arranjadas, formando unidades estruturais com diâmetro menor que 0,25 mm.

Modelado. Padrão de formas de relevo que apresentam definição geométrica similar em função de uma gênese comum e dos processos morfogenéticos atuantes, resultando na recorrência dos materiais correlativos superficiais (IBGE, 2009).

Pedimentação. Processo erosivo-deposicional de formação de pedimentos.

Pedimento, Superfície de aplanamento, de inclinação suave, capeada por material detrítico descontínuo sobre a rocha, não apresentando dissecação marcada ou deposição



excessiva. Os pedimentos geralmente apresentam forte ângulo no contato com a vertente montanhosa íngreme (ruptura de declive), enquanto a jusante, suaviza-se com a deposição detrítica em direção aos vales ou depressões.

Pediplanização. Processo erosivo-deposicional de formação de pediplanos.

Pediplano. Superfície aplanamento de grande escala, construída através do recuo paralelo das vertentes em clima árido ou semi-árido. O pediplano pode ser considerado um conjunto de pedimentos, em um cenário de aplanamento generalizado de uma paisagem.

Petroplintita. Nódulos ou concreções ferruginosas, de vários tamanhos e formas, resultantes de sucessivos ciclos de umedecimento e ressecamento da plintita.

pH do Solo. Indica a acidez ou alcalinidade do solo, que afeta diretamente a disponibilidade de nutrientes para as plantas.

Profundidade do Solo. Representa o volume de solo disponível para o armazenamento de água e para o crescimento e desenvolvimento de raízes.

Refúgio ecológico (Sistema dos Refúgios Vegetacionais). Vegetação diferenciada nos aspectos florístico e fisionômico-ecológico da flora dominante na Região Fitoecológica do entorno. Constitui uma "vegetação relíquia", com espécies endêmicas. Condicionados por parâmetros ambientais específicos, apresentam vegetação com fisionomia campestre, também conhecida como campos de altitude ou arbustiva.

Resistasia. Representa um período de instabilidade ambiental, geralmente associada a climas áridos e semiáridos, no qual a vegetação desaparece ou severamente reduzida, os solos ficam expostos e sofrem erosão intensa, e os sedimentos gerados são mais grosseiros (areias e cascalhos). Há predomínio do intemperismo físico.

Savana. Vegetação estabelecida em ambientes de climas estacionais tropicais, com período seco entre três e sete meses. Ocorre, predominantemente, em solos profundos, ocupando especialmente as chapadas e planaltos interioranos. Caracteriza-se pela dominância de porte arbóreo e herbáceo, troncos e galhos tortuosos, folhas coriáceas e raízes profundas.

Sistema Costeiro-Marinho. Compreende a região territorial ao longo da costa brasileira que recobre a parte continental com influência marinha e fluviomarinha e a parte marítima até o limite leste vigente no País.

Sistema. Conjunto de unidades com relações entre si, no qual o estado de cada unidade controlado, condicionado ou dependente do estado das outras unidades (CHRISTOFOLETTI, 1979).

Solo. Representa a parte mais superficial da crosta terrestre, formada de material mineral e/ou orgânico inconsolidado, cujas características são decorrentes da ação combinada de fatores genéticos - material de origem, relevo, clima, seres vivos e tempo - acrescidos dos efeitos dos usos antrópicos.

Textura do Solo. Característica relacionada à composição granulométrica do horizonte ou da camada do solo (teores de argila, silte e areia). De acordo com os conteúdos dessas partículas, tem-se os grupamentos de textura do Sistema Brasileiro de Classificação de Solos - SiBCS (EMBRAPA, 2018).

Tipo de Solo. Categoria que agrupa solos com propriedades físicas, químicas e biológicas semelhantes, que influenciam retenção de água, drenagem, fertilidade e o estabelecimento vegetal, em função de atributos como textura (proporção de areia, silte e argila), estrutura, cor, teor de matéria orgânica, pH e mineralogia.

Unidade de mapeamento dos solos. São utilizadas para representar cartograficamente a distribuição espacial de diferentes tipos de solos efetivadas num levantamento, buscando-se a área mais homogênea em que se consegue individualizar (função da escala) nos diferentes tipos de solos através da interpretação de materiais básicos (sensores remotos e/ou bases topográficas) com o apoio de investigações de campo. A unidade de mapeamento dos solos pode ser simples, com um tipo de solo dominante; ou combinada, com associações de solos de vários tipos, em conjunto, dentro da área observada, em proporções diferentes (dominantes, subdominantes, ou ainda sem dominância). Também podem ocorrer inclusões, que são classes de solos ou tipos de terrenos presentes em proporções muito menores que a(s) do(s) componente(s) principal(is).

Vertente. Encosta. Lado de uma área elevada (colina, morro, montanha, etc.). Declive.

Equipe técnica

Diretoria de Geociências

Coordenação de Meio Ambiente

Maria Luisa da Fonseca Pimenta

Assistente

Manuela Mendonca de Alvarenga

Gerência de Mapeamento de Recursos Naturais

André Souza Pelech

Responsável técnica

Luciana Mara Temponi de Oliveira

Equipe Técnica

Anderson Ribeiro Santiago

Andre Souza Pelech

Daniel Ramos Pontoni

Liane Barreto Alves Pinheiro

Luciana Mara Temponi de Oliveira

Marina de Lourdes Fonseca Resende

Rosangela Garrido Machado Botelho

Sergio Hideiti Shimizu

Sidney Ribeiro Gonzalez

Revisão

Maria Luisa da Fonseca Pimenta

Therence Paoliello de Sarti